

Chemická vazba

Důvody pro vazbu = **menší energie** atomů ve vázaném stavu než energie jednotlivých oddělených atomů

Mechanismus tvorby vazby = sdílení, předávání nebo redistribuce **valenčních elektronů**

Model **lokalizovaných** elektronových párů
(Lewis, VB, VSEPR, hybridizace)

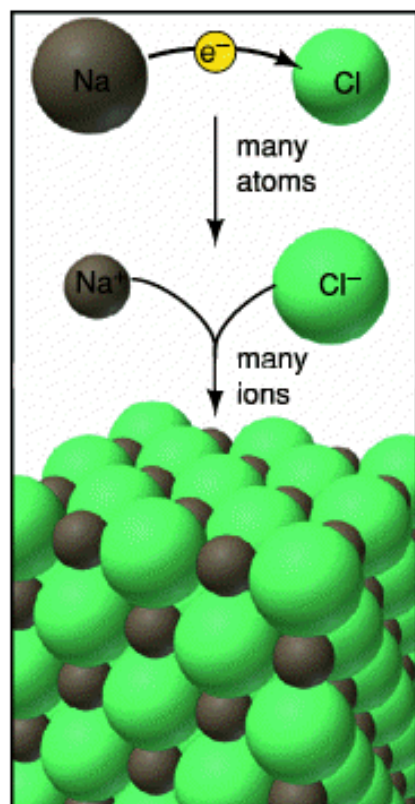
Model **delokalizovaných** elektronů (MO)

Chemická vazba

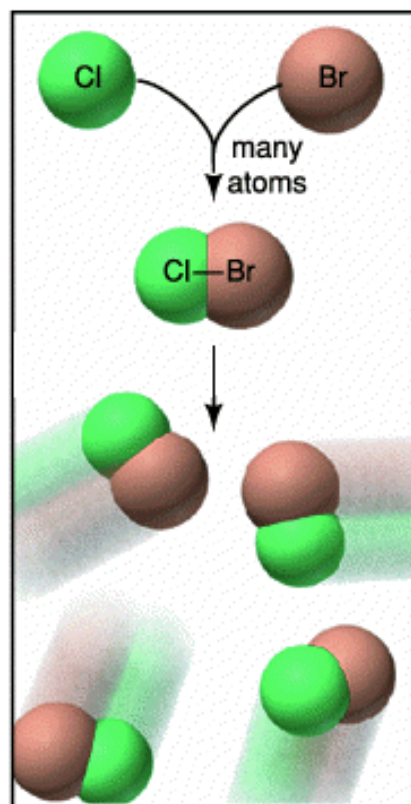
Iontová

Kovalentní

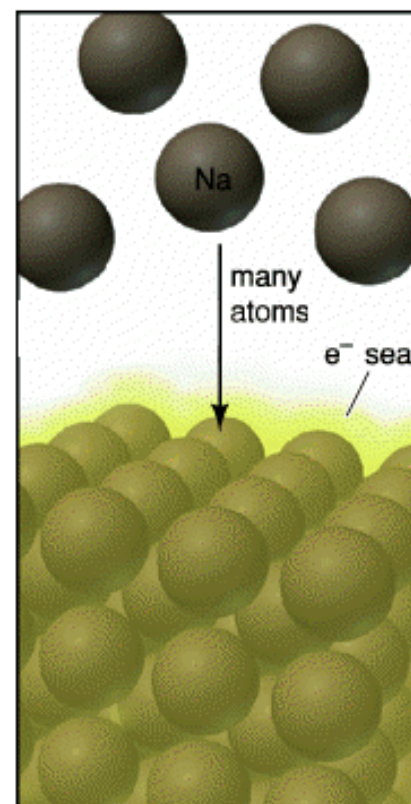
Kovová



A Ionic bonding



B Covalent bonding



C Metallic bonding

Typy chemických vazeb

Kovalentní = sdílení elektronů (e páru, 1e H₂⁺) několika atomy (2, 3, 4....), třicenterní-dvouelektronová vazba

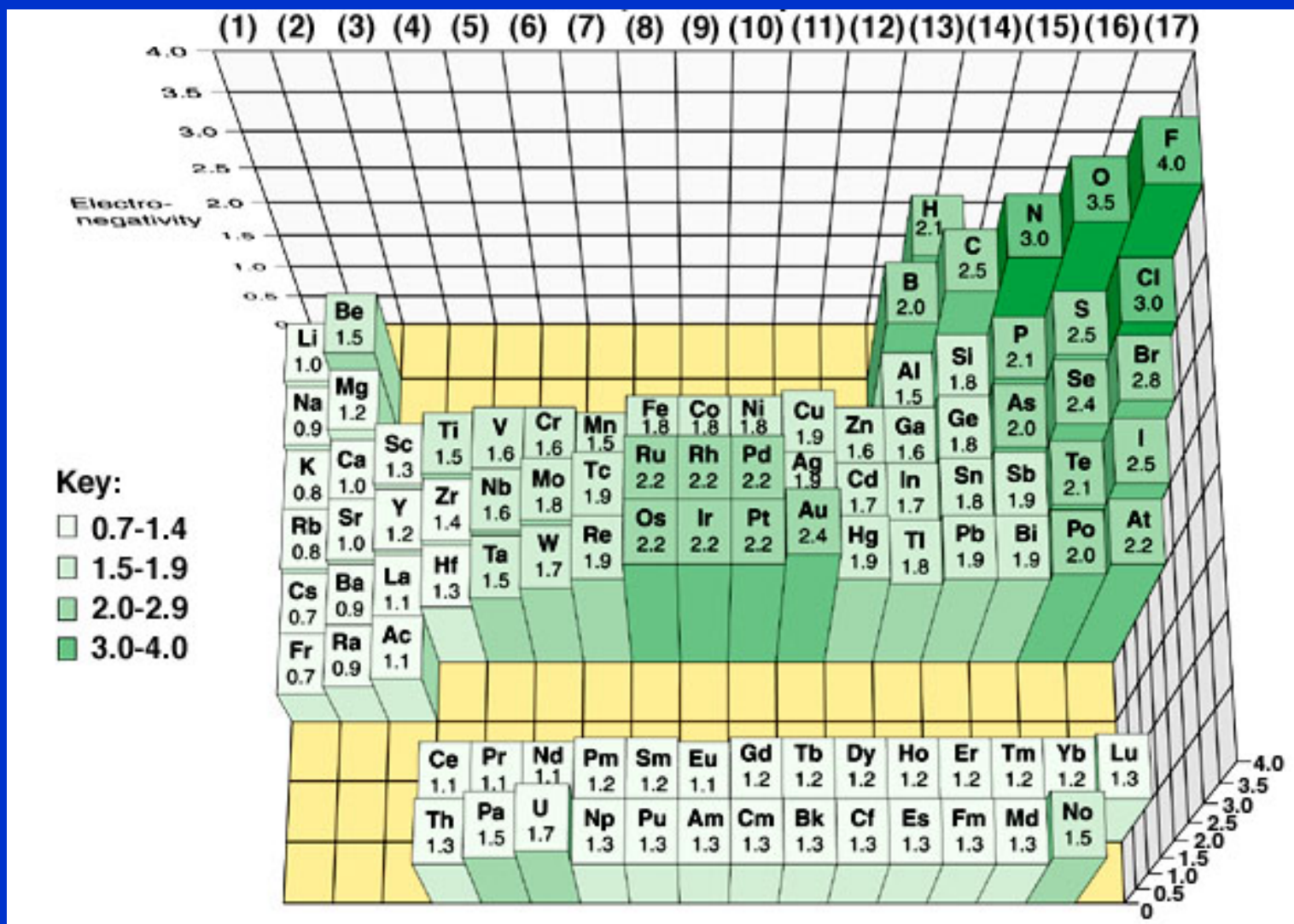
Kovová = sdílení elektronů mezi mnoha atomy, pásová teorie

Iontová = předání elektronů, tvorba iontů, Coulombovské přitažlivé síly mezi opačně nabitými ionty

Van der Waalsova = Coulombovské přitažlivé síly mezi dočasnými náboji (dipóly)

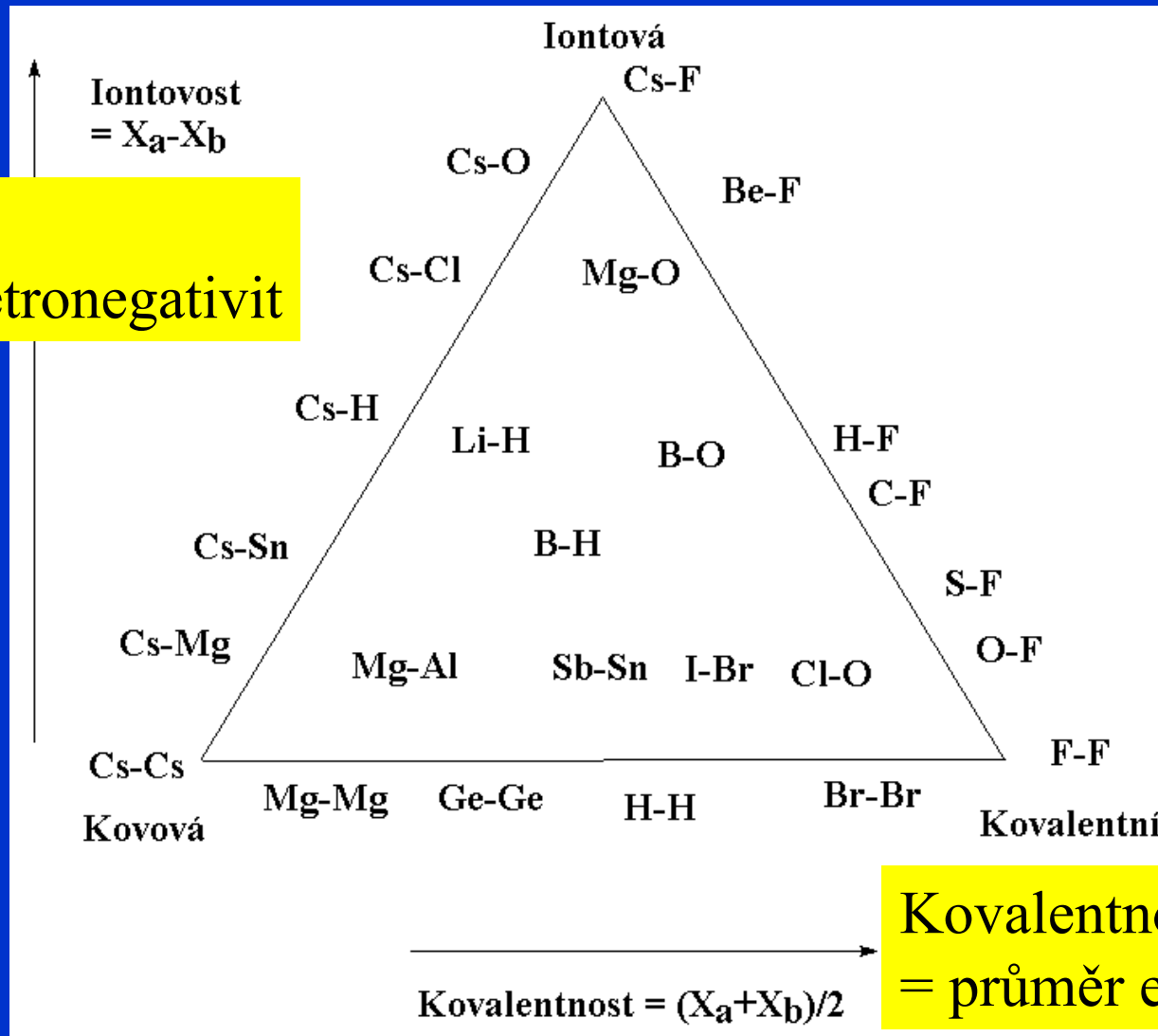
Topologická = mechanické spojení molekul (rotaxeny, katenany, karcerandy)

Elektronegativita podle Paulinga

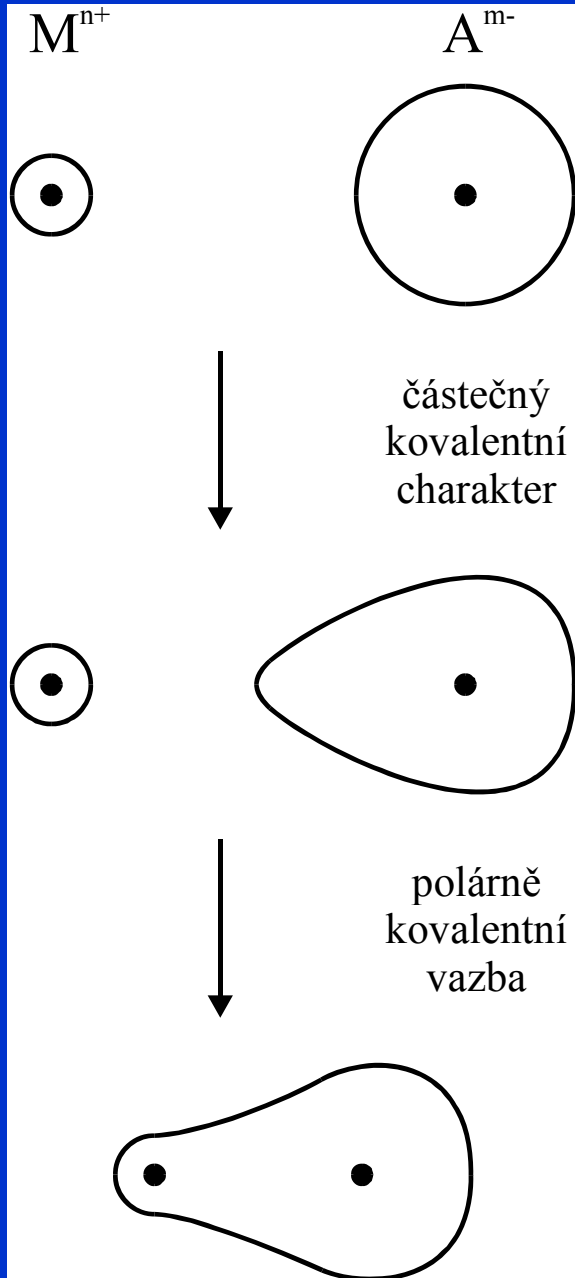


Van Arkelův trojúhelník

Iontovost
= rozdíl elektronegativit



Kovalentnost
= průměr elektronegativit

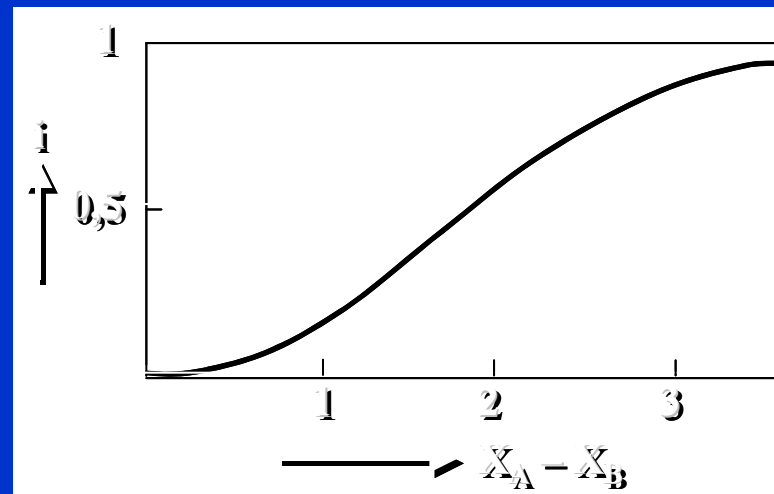


Žádná vazba není zcela iontová.
 Přechod od kovalentní k iontové vazbě
 je spojitý a většina sloučenin leží mezi
 oběma extrémny

$$\Delta\chi = (\chi_A - \chi_B)$$

Iontovost vazby

$$i = 1 - \exp[-0.21(\chi_A - \chi_B)^2]$$



Iontová a kovalentní vazba



Stoupá kovalence

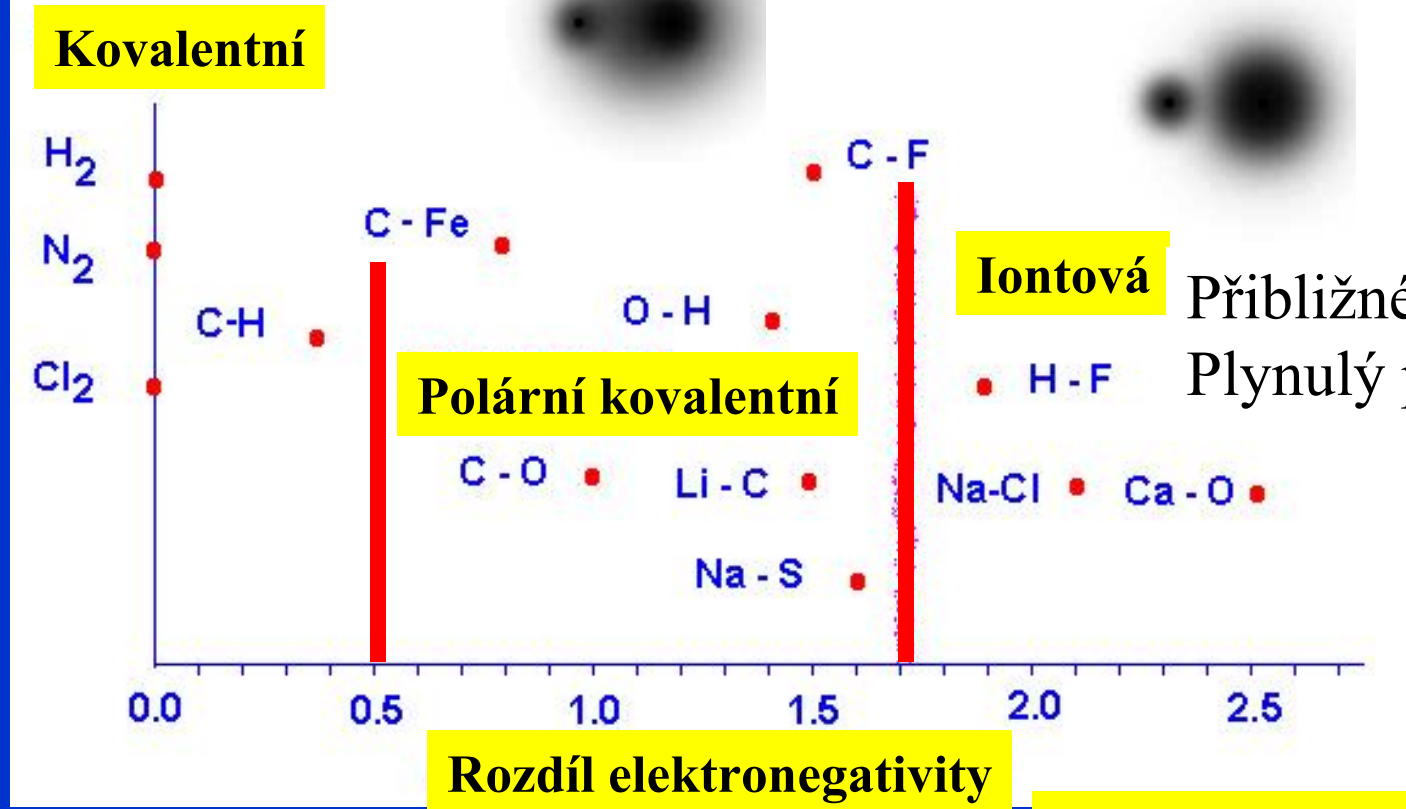


Stoupá kovalence



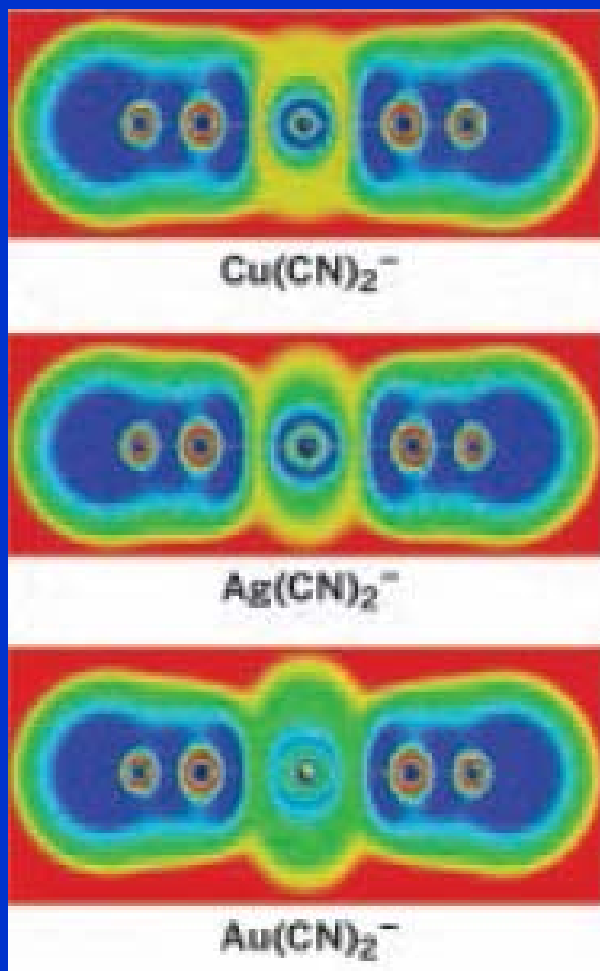
Stoupá iontovost

Iontová a kovalentní vazba



$$\Delta\chi = (\chi_A - \chi_B)$$

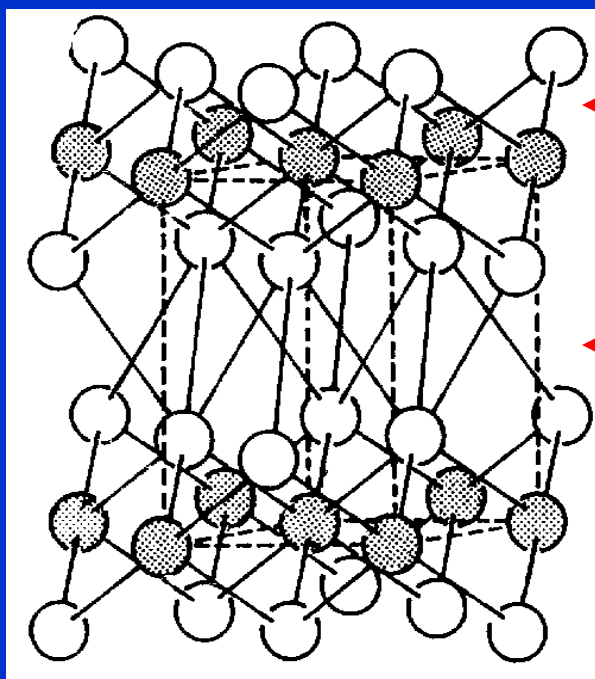
Iontová a kovalentní vazba



Stoupá kovalence

Kyanidová těžba zlata

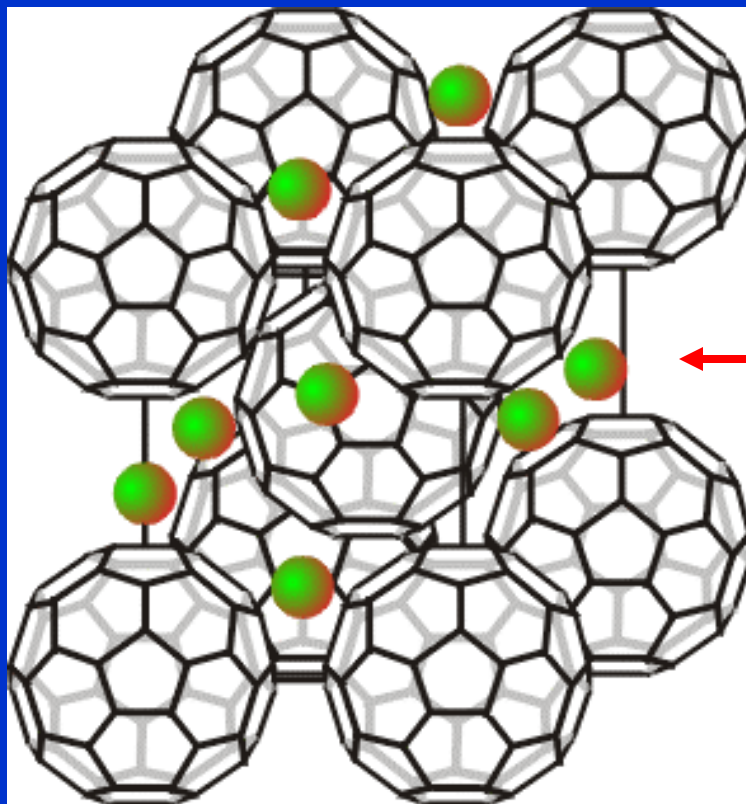
Různé typy chemické vazby v jedné sloučenině



kovalentní

Van der Waalsova

Různé typy chemické vazby v jedné sloučenině

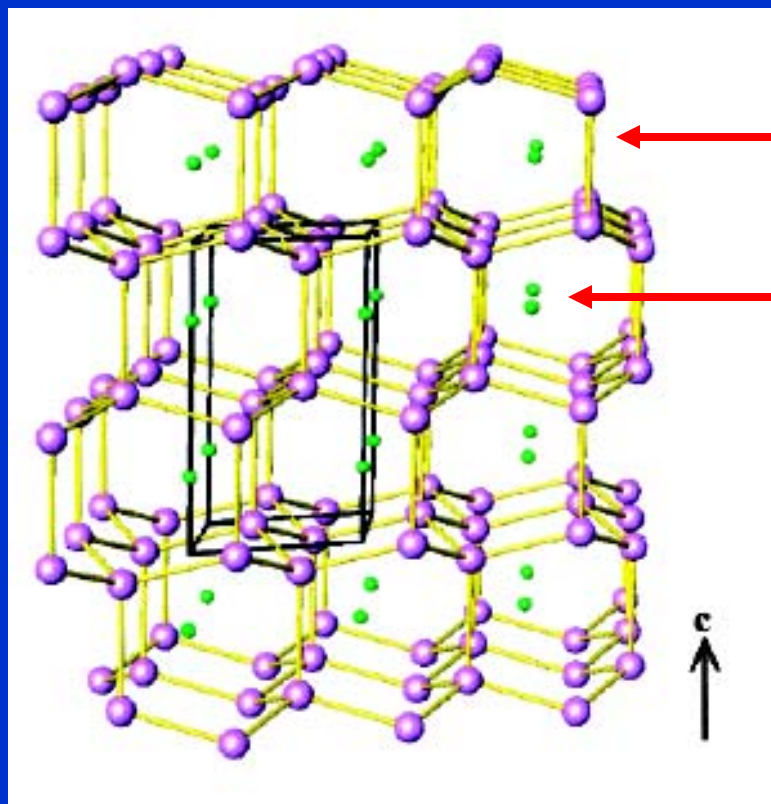


Kovalentní

Iontová

K^+ a $(C_{60})^{3-}$

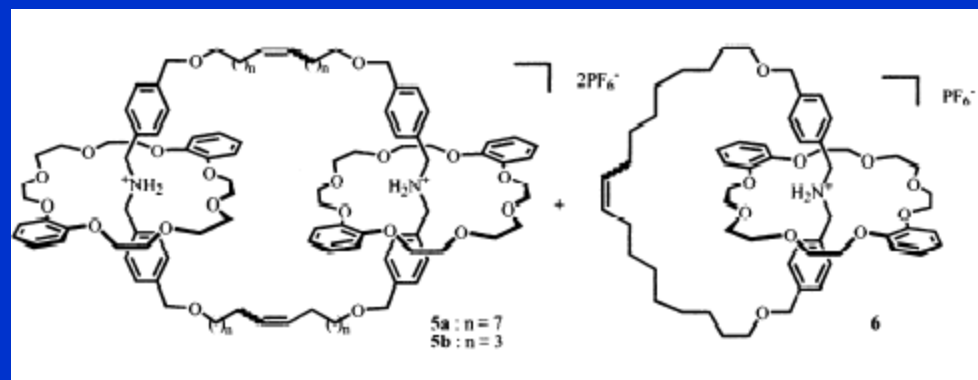
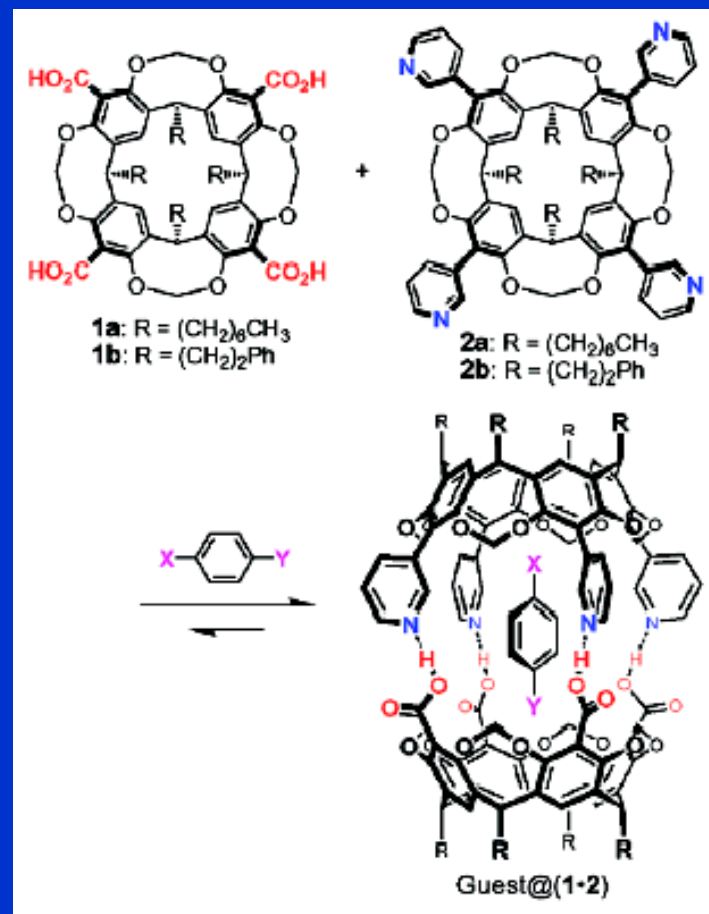
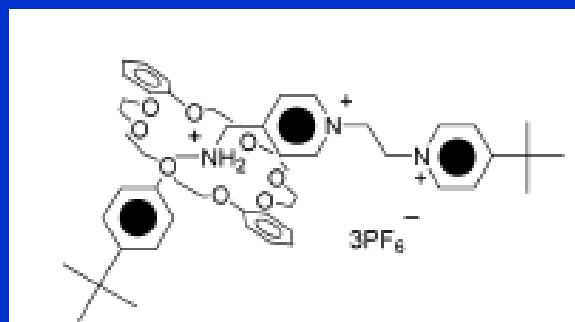
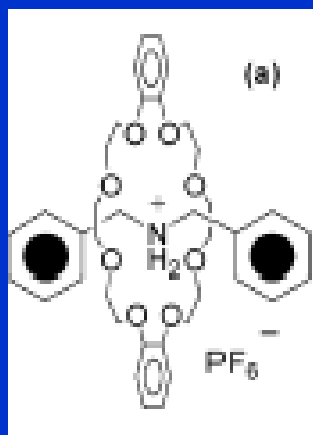
Různé typy chemické vazby v jedné sloučenině



Kovalentní mezi Tl-Tl

Iontová mezi Sr^{2+} a $(\text{Tl}_2)^{2-}$

Topologická vazba: rotaxeny, katenany, karcerandy

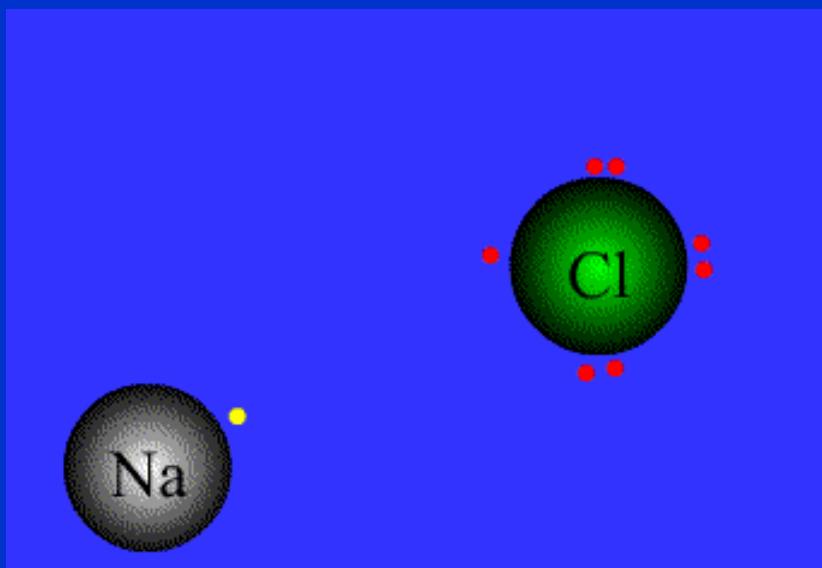


Iontová vazba



$$\Delta H_f^0 = -410.9 \text{ kJ mol}^{-1}$$

Uvolněné reakční teplo



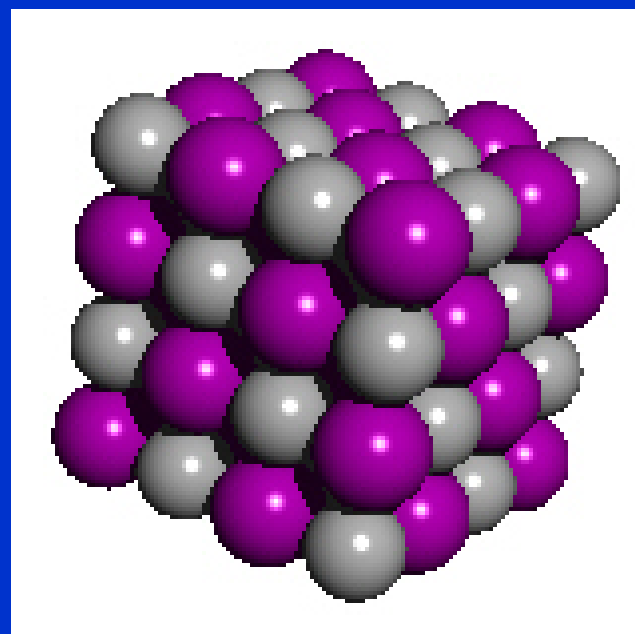
Vytvoření oktetu pro Na^+ i Cl^-

NaCl - iontová sloučenina

Neexistuje molekula NaCl

Vzorcová jednotka

Nekonečná mřížka uspořádaných
kationtů a aniontů



Mřížková energie, L

Mřížková energie je energie, která se **uvolní** při vytvoření jednoho molu pevné iontové sloučeniny z iontů v plynném stavu

Coulombovská přitažlivá síla mezi dvěma ionty

$$F = \frac{1}{4\pi\epsilon_0} \frac{Z_+ Z_- e^2}{r^2}$$

Mřížková energie L [kJ mol⁻¹]

Coulombovské přitažlivé a dopudivé síly mezi 1 molem iontů

Z = náboje iontů
r = vzdálenost iontů

$$L = N_A M \frac{Z_+ Z_- e^2}{4\pi\epsilon_0 r}$$

M = Madelungova konstanta udává geometrii krystalové mřížky (NaCl, CsCl, CaF₂, ZnS,....)

Mřížkové energie halogenidů alkalických kovů

L [kJ mol ⁻¹]	F	Cl	Br	I
Li	1037	862	785	729
Na	918	788	719	670
K	817	718	656	615
Rb	784	694	634	596
Cs	729	672	603	568

$$L = N_A M \frac{Z_+ Z_- e^2}{4\pi\epsilon_0 r} \approx k \frac{Z_+ Z_-}{r}$$

Mřížkové energie a fyzikální vlastnosti

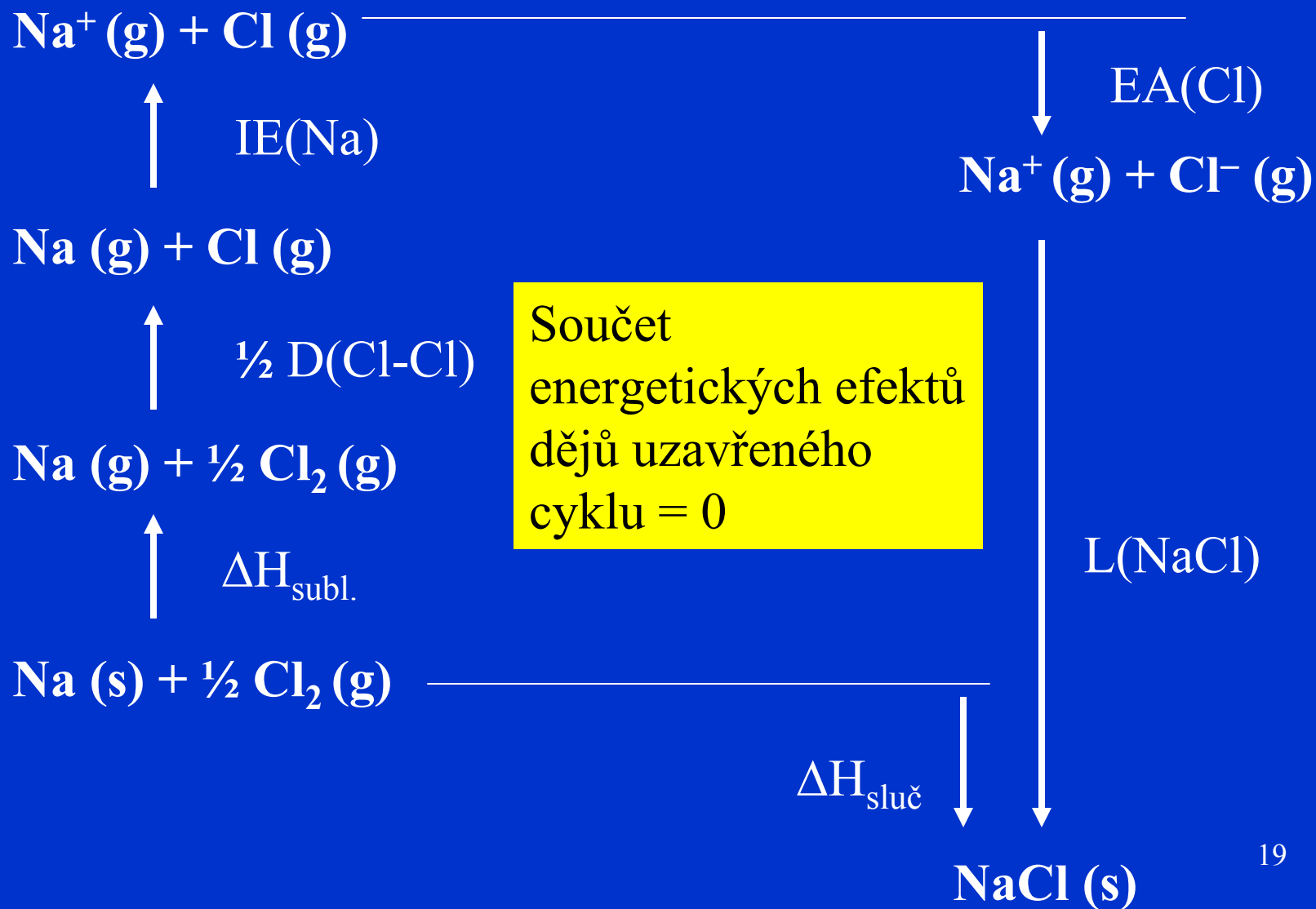
	L [kJ mol ⁻¹]	T _t [°C]		L [kJ mol ⁻¹]	T _t [°C]
NaF	913	996	KF	808	857
NaCl	778	801	KCl	703	770
NaBr	737	747	KBr	674	742
NaI	695	660	KI	636	682

$$L \approx k \frac{Z_+ Z_-}{r}$$



	L [kJ mol ⁻¹]	T _t [°C]	Mohs
MgCl ₂	2326	714	-
MgO	3920	2642	6.0
CaO	3513	2570	4.5
SrO	3283	2430	3.5
BaO	3114	1925	3.3
ScN	7547	-	-

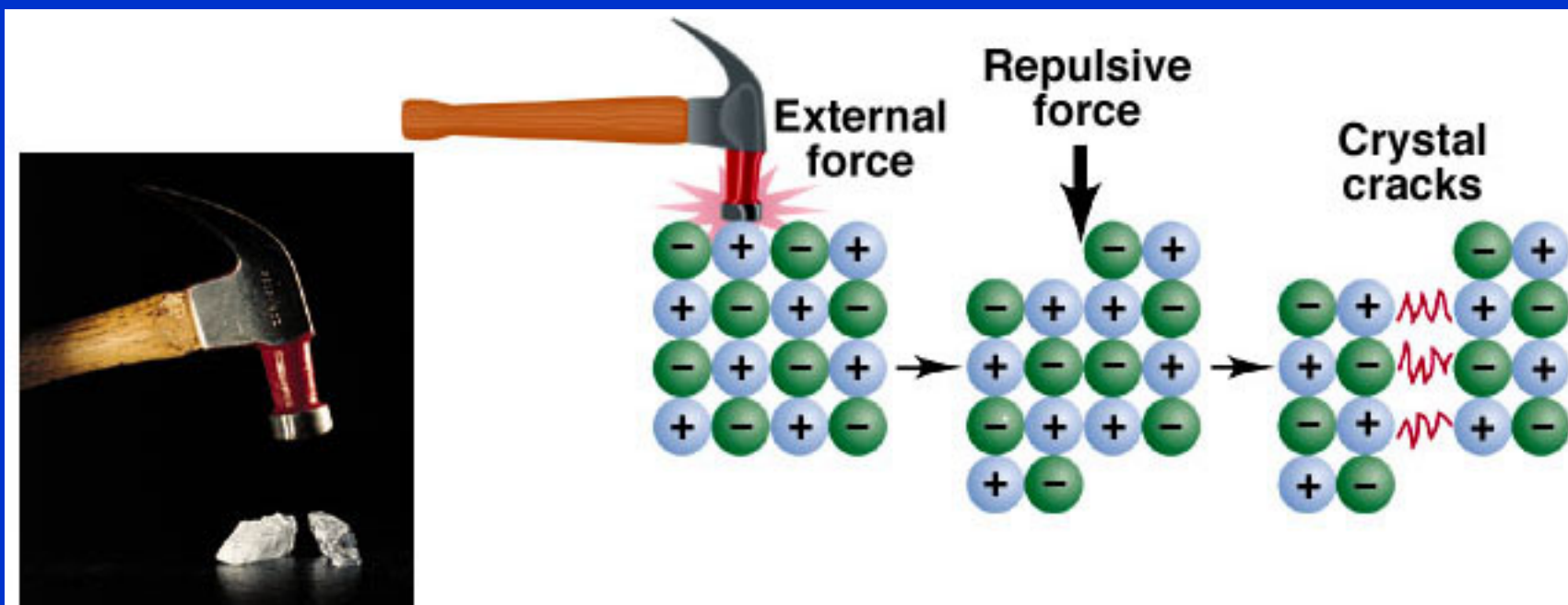
Born – Haberův cyklus



Born – Haberův cyklus



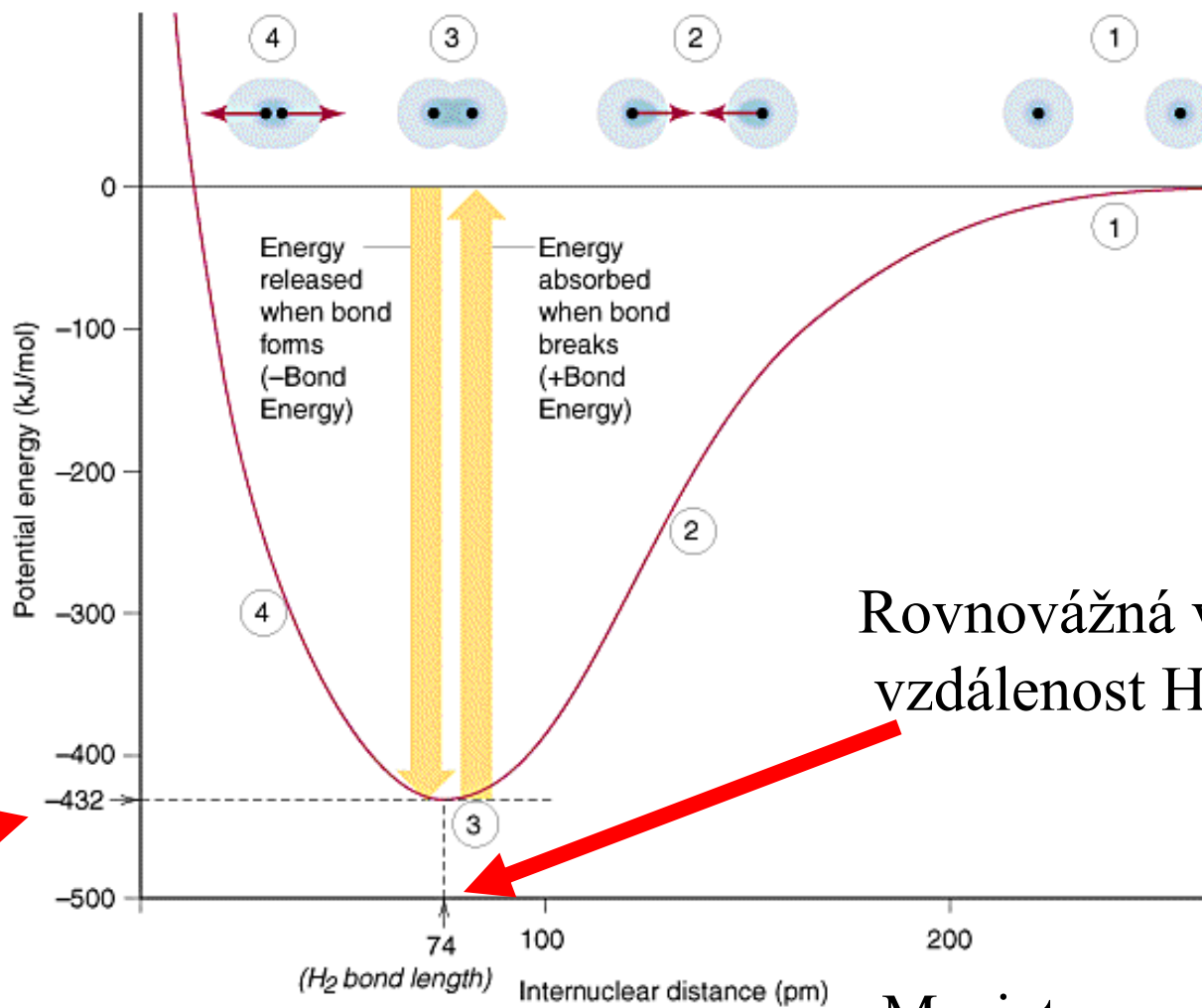
Mechanické vlastnosti iontových sloučenin



Kovalentní vazba



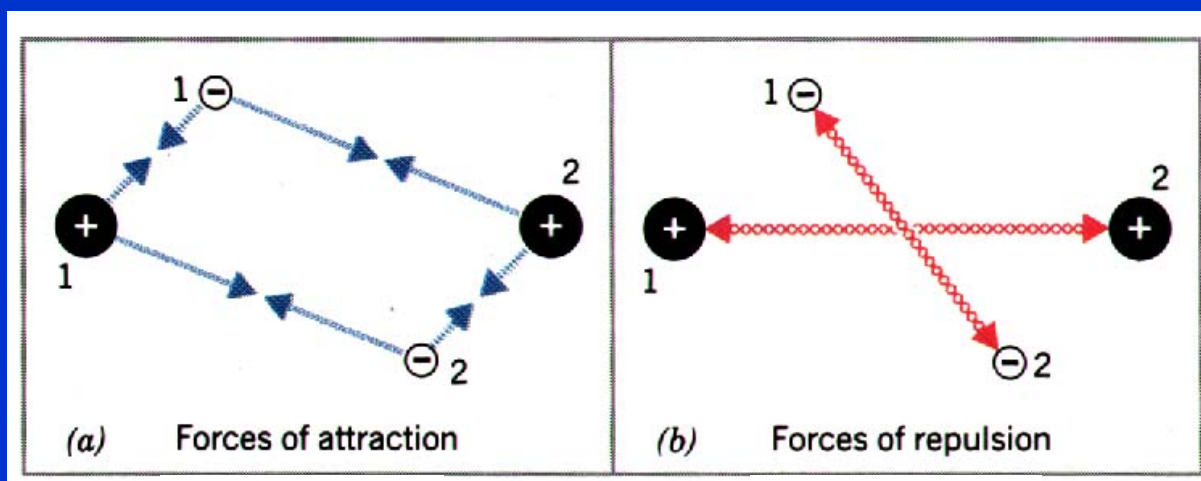
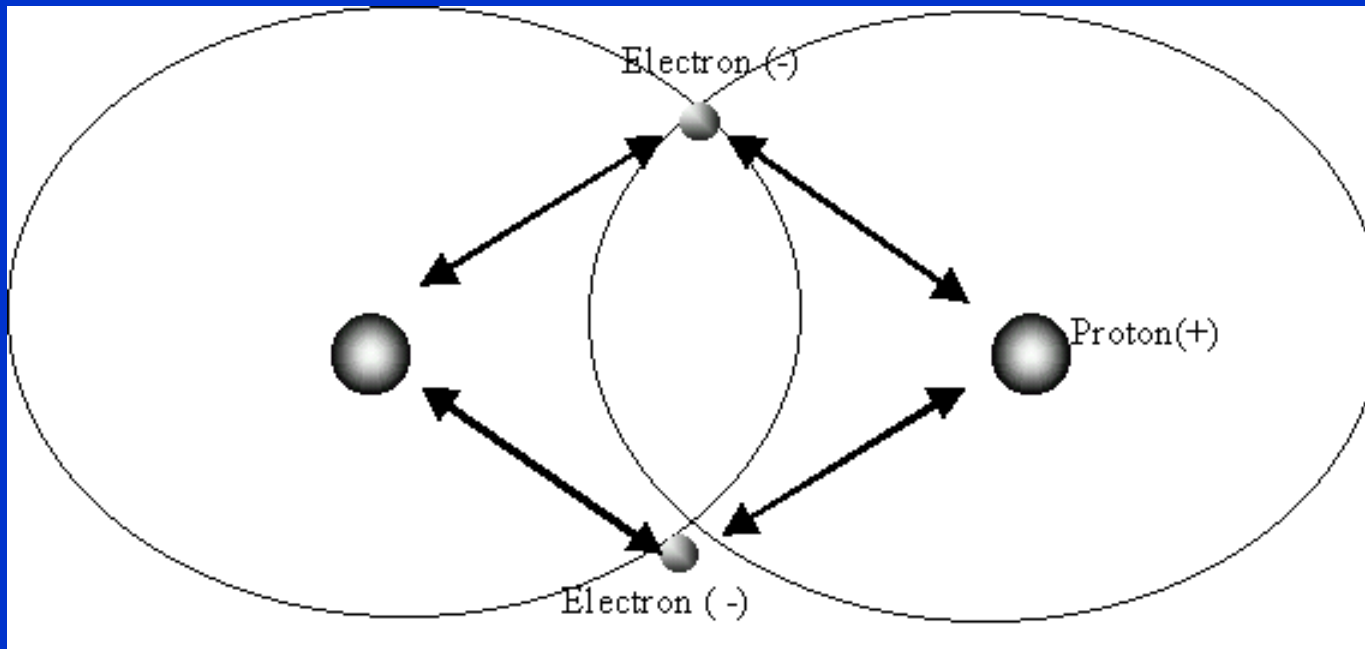
Kovalentní vazba v molekule vodíku H₂



Vazebná energie H-H

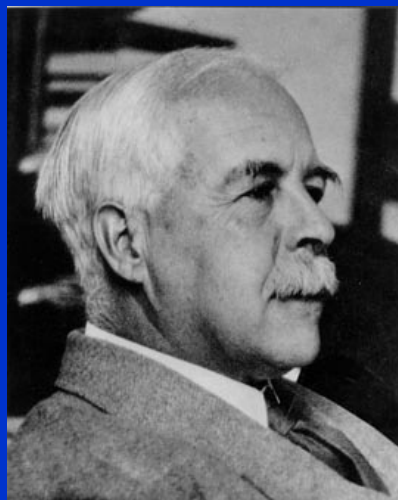
Rovnovážná vazebná vzdálenost H-H

Meziatomová vzdálenost



Přitažlivé

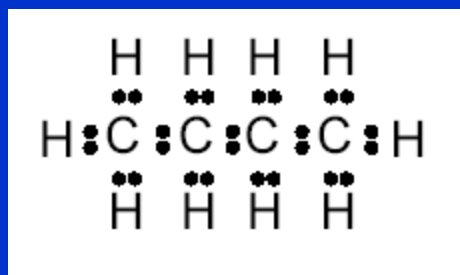
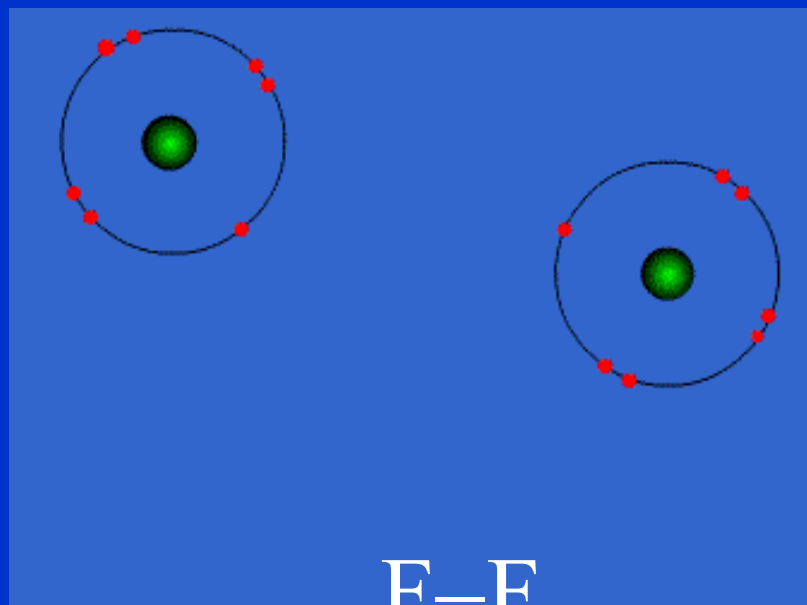
Odpudivé



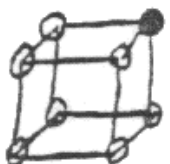
Gilbert N. Lewis
(1875-1946)

Kovalentní vazba

Atomy se sdílením elektronových párů snaží doplnit svou valenční sféru na elektronový oktet



Oktetové pravidlo

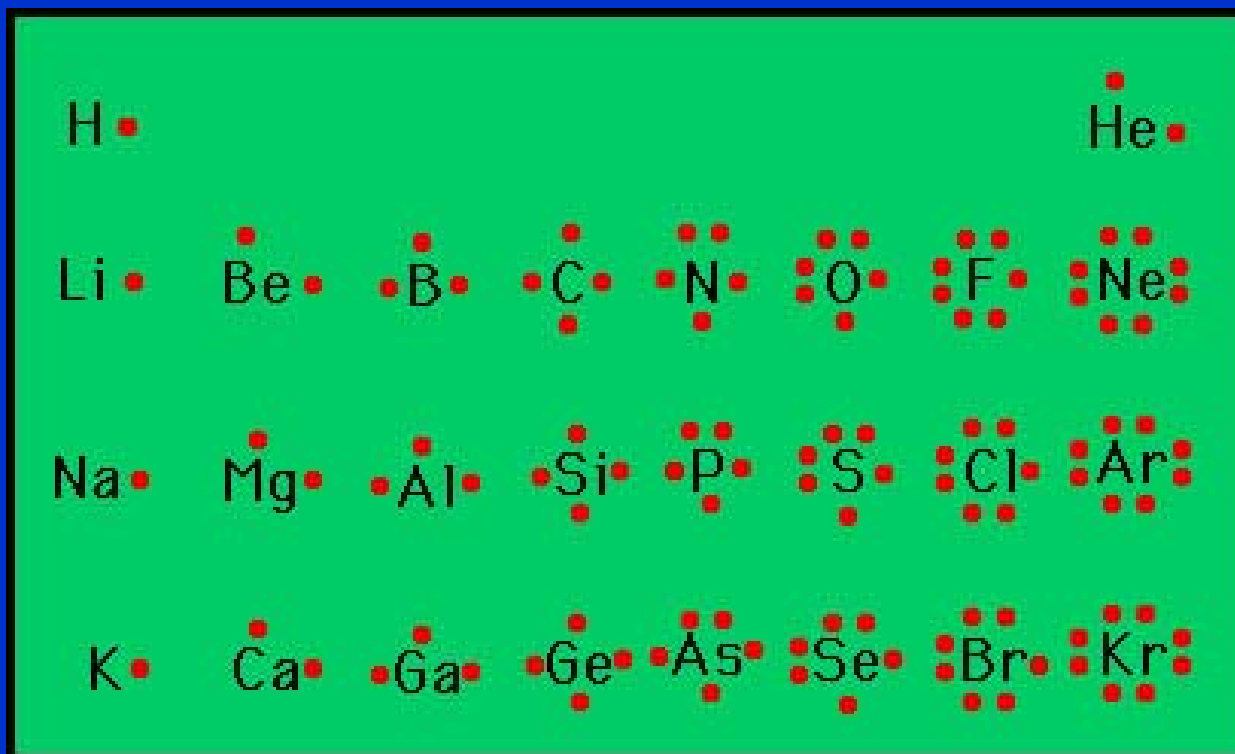
Li  *Helium* 
Be Mg  *and the*
B Al  *may be*
C Si  *parts of Na row*
N P  *Probably some kernel inside the atom thus*
O S  
F Cl 
Na Cl 

(a) $\overset{+}{\text{Na}}$ $\overset{++}{\text{Mg}}$ -- $\overset{++++}{\text{Cl}}$
 (b) $\overset{---}{\text{Na}}$ $\overset{===}{\text{Mg}}$ $\overset{\bar{c}}{\text{Cl}}$

Gilbert N. Lewis
 1902



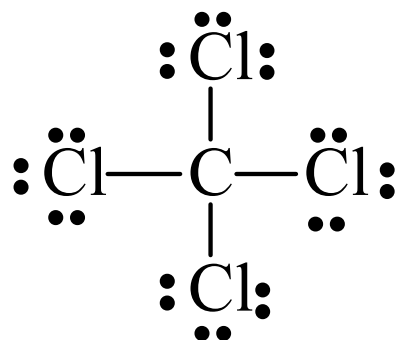
Lewisovy struktury



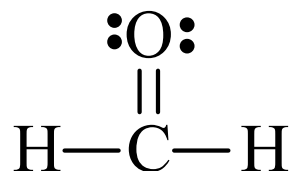
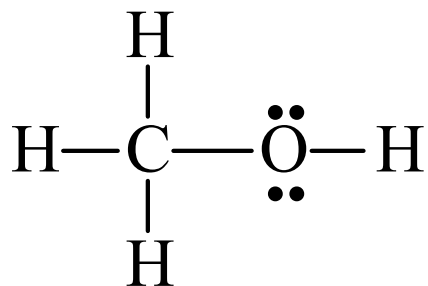
Lewisovy struktury

- Tvorba stabilní sloučeniny (n atomů) = atomy dosáhnou konfigurace vzácného plynu.
- Sečti valenční elektrony všech atomů, \pm náboj = E .
- Pro oktety potřebujeme $8n$ elektronů. $8n - E$ musí být sdíleno.
- Použij dvojice elektronů k vytvoření jednoduchých vazeb mezi atomy (= S).
- Zbývající sdílené elektrony ($P = 8n - E - S$) umísti tak, aby byl vytvořen duet pro H atomy a oktet pro C, N, O, F.
- Nesdílené elektrony rozmísti jako volné elektronové páry.
- Sloučeniny prvků skupiny Be a B mohou být elektronově deficitní.
- Prvky 3. a vyšších period mohou překročit oktet.
- Elektrony převyšující oktet umísti na centrální atom.

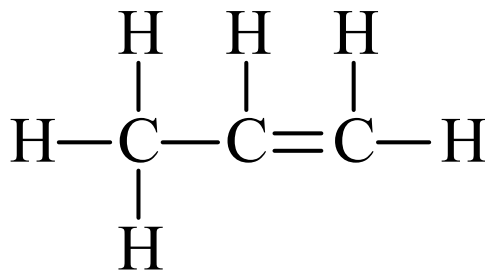
Lewisovy struktury



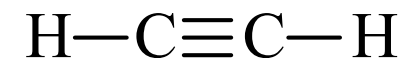
$n = 5$, $E = 32$ (počet elektronů)
 $8n - E = 40 - 32 = 8$ sdíleno
 $S = 8$ (4 jednoduché vazby)
 $P = 8n - E - S = 0$ (násobné vazby)
 $E - S - P = 24$ (volné el. páry = 12)



$n = 4$, $E = 12$ (počet elektronů)
 $2 \cdot 2 + 2 \cdot 8 - E = 20 - 12 = 8$ sdíleno
 $S = 6$ (3 jednoduché vazby)
 $P = 8n - E - S = 2$ (1 násobná vazba)
 $E - S - P = 4$ (volné el. páry = 2)



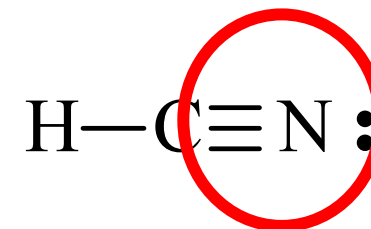
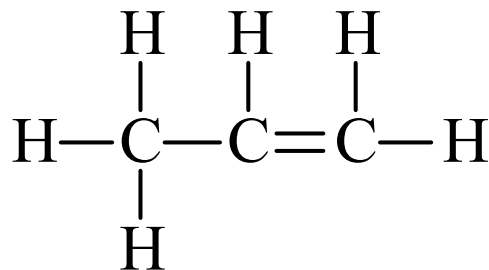
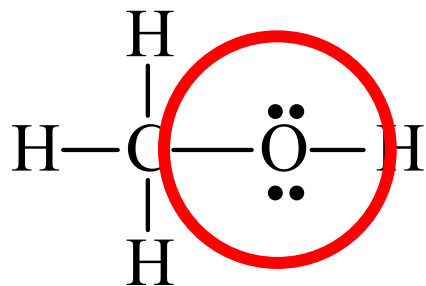
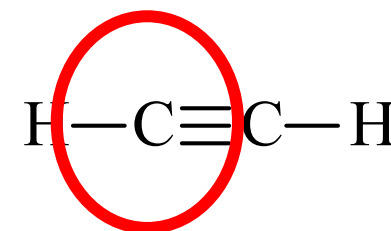
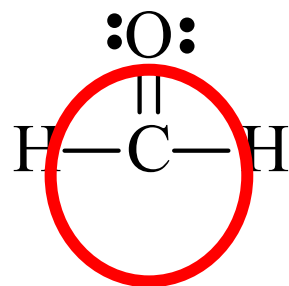
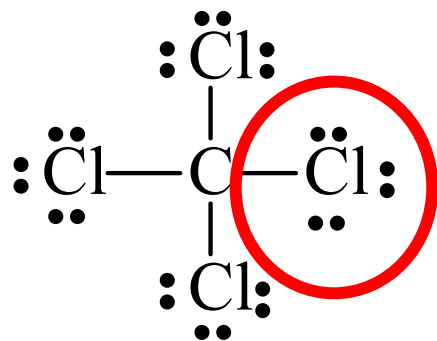
$n = 4$, $E = 10$ (počet elektronů)
 $2 \cdot 2 + 8 \cdot 2 - E = 20 - 10 = 10$ sdíleno
 $S = 6$ (3 jednoduché vazby)
 $P = 8n - E - S = 4$ (2 násobné vazby)
 $E - S - P = 0$ (volné el. páry = 0)



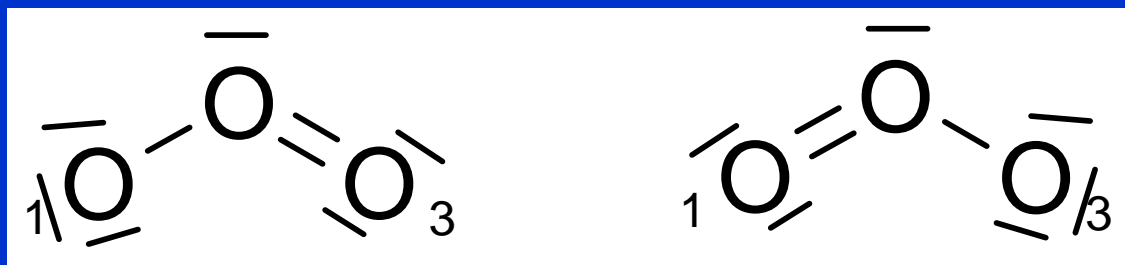
$n = 3$, $E = 10$ (počet elektronů)
 $2 \cdot 1 + 8 \cdot 2 - E = 18 - 10 = 8$ sdíleno
 $S = 4$ (2 jednoduché vazby)
 $P = 8n - E - S = 4$ (2 násobné vazby)
 $E - S - P = 2$ (volné el. páry = 1)



Lewisovy struktury - oktety



Lewisovy struktury



$n = 3$, $E = 18$ (počet elektronů)

$8n - E = 24 - 18 = 6$ sdíleno

$S = 4$ (2 jednoduché vazby)

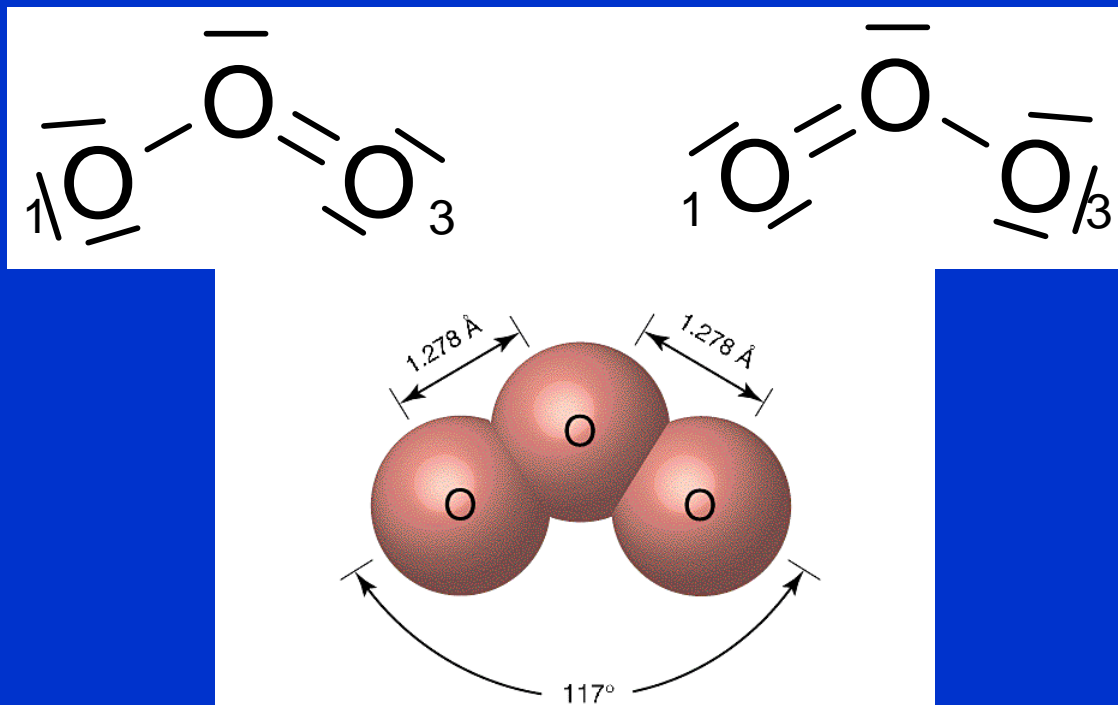
$P = 8n - E - S = 2$ (1 násobná vazba)

$E - S - P = 12$ (volné el. páry = 6)

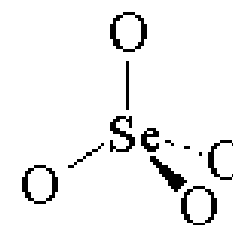
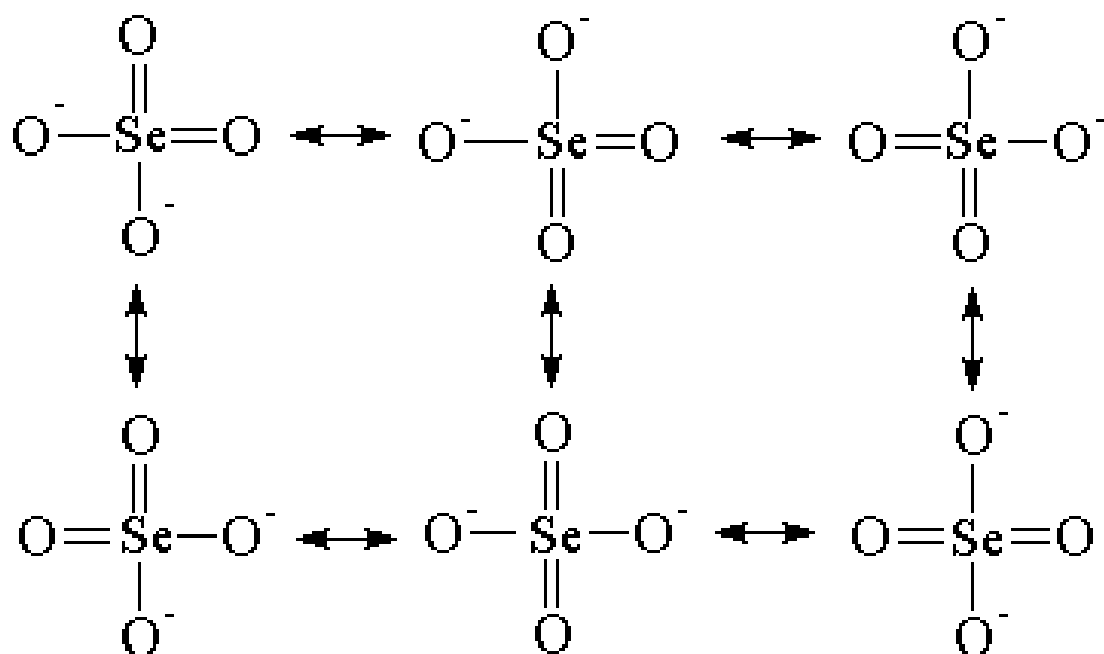
Rezonanční struktury

Poloha jader se nemění, umístění elektronů je odlišné.

Popis skutečné situace není ani jedna z možných struktur, není to ani rychlý přechod mezi jednotlivými strukturami, ale superpozice všech.



Rezonanční struktury

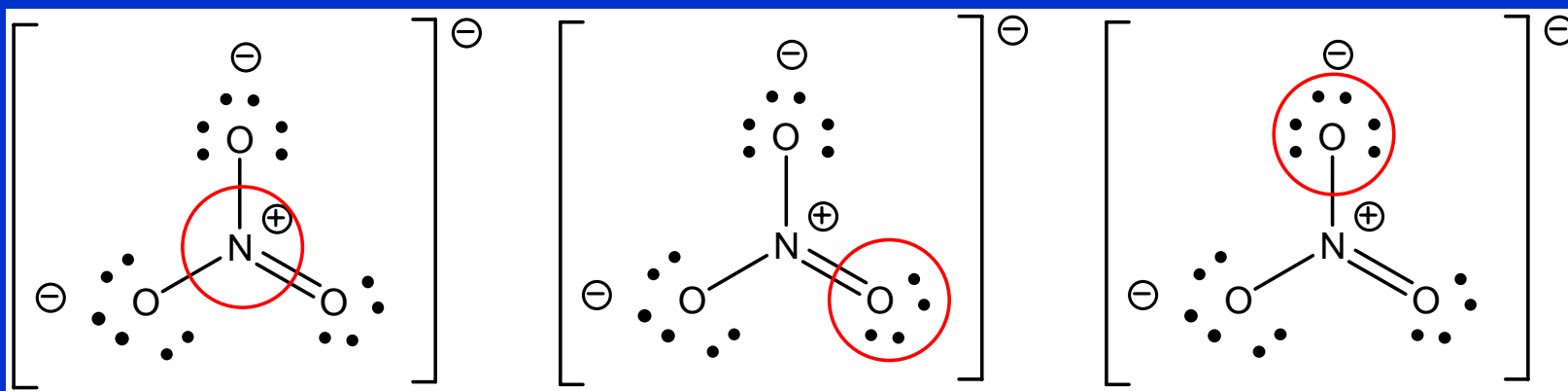


řád vazby = 1,5
náboj na O = -0,5

Formální náboj

Oxidační číslo = všechny e k elektronegativnějšimu prvku
Formální oxidační stav pro výpočet výměny e v redoxních reakcích.
Není to skutečný náboj na daném atomu.

Formální náboj = rozdíl mezi počtem valenčních elektronů na volném atomu a valenčními elektrony přiřazenými atomu v molekule: volné páry patří celé danému atomu, vazebné páry jsou rozděleny mezi partnery.



Formální náboj

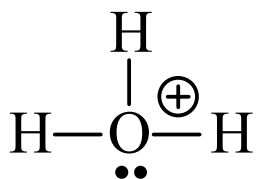
Formální náboj = rozdíl mezi počtem valenčních elektronů na volném atomu a valenčními elektrony přiřazenými atomu v molekule: volné páry patří celé danému atomu, vazebné páry jsou rozděleny mezi partnery.

Atomy se snaží dosáhnout minimálního formálního náboje, nejlépe nula.

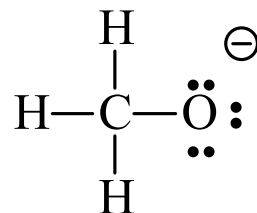
Negativní formální náboj je umístěn na **nejelektronegativnějším** atomu.

Součet formálních nábojů v molekule (iontu) musí být roven **celkovému náboji** na dané částici.

Formální náboj v H_3O^+ , CH_3O^- , CH_3^+ , CO , N_3^-

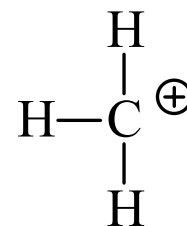


$$\text{O}: 6 - 5 = +1$$



$$\text{C}: 4 - 4 = 0$$

$$\text{O}: 6 - 7 = -1$$

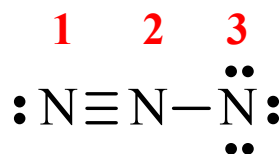


$$\text{C}: 4 - 3 = +1$$



$$\text{C}: 4 - 5 = -1$$

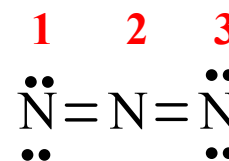
$$\text{O}: 6 - 5 = +1$$



$$\text{N}_1: 5 - 5 = 0$$

$$\text{N}_2: 5 - 4 = +1$$

$$\text{N}_3: 5 - 7 = -2$$

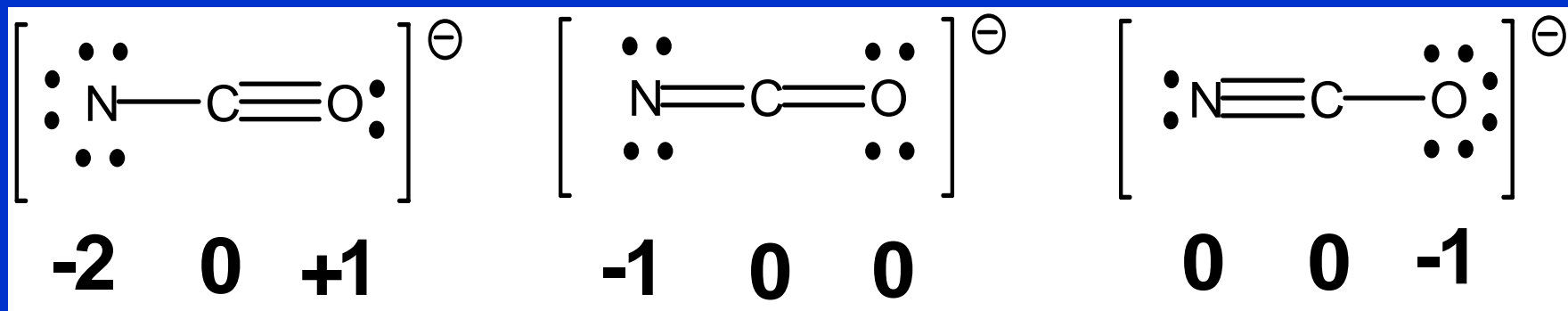


$$\text{N}_1: 5 - 6 = -1$$

$$\text{N}_2: 5 - 4 = +1$$

$$\text{N}_3: 5 - 6 = -1$$

Formální náboj

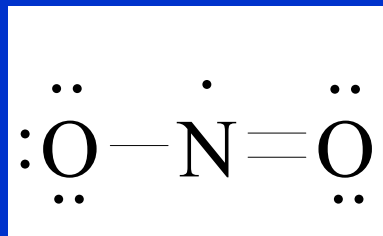
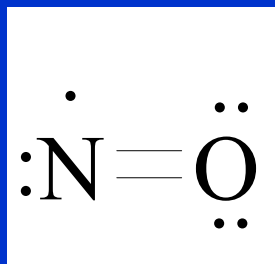


velké hodnoty
formálního náboje

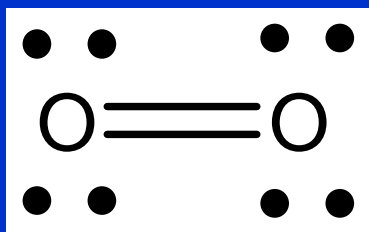
záporný náboj na méně
elektronegativním prvku

nejlepší vzorec

Molekuly s nepárovými elektrony



Dimerizace NO₂·



O₂

paramagnetická molekula = má nepárové elektrony

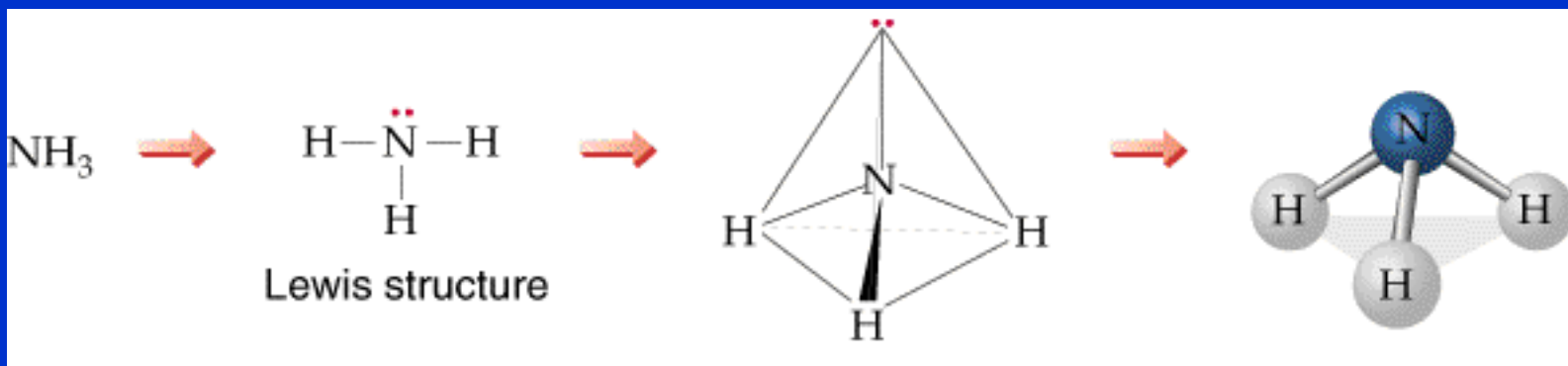
= Lewisovy struktury nevystihují
realitu zcela dokonale

VSEPR

VSEPR = valence shell electron repulsion

Odpuzování elektronových párů ve valenční vrstvě

Empirický soubor pravidel, podle kterého lze snadno určit tvar koordinační sféry atomů a tedy tvar molekul, iontů a molekulových fragmentů prvků hlavních skupin nebo přechodných kovů s elektronovou konfigurací d^0 nebo d^{10} .



VSEPR

Molekula = centrální atom + ligandy + volné elektronové páry

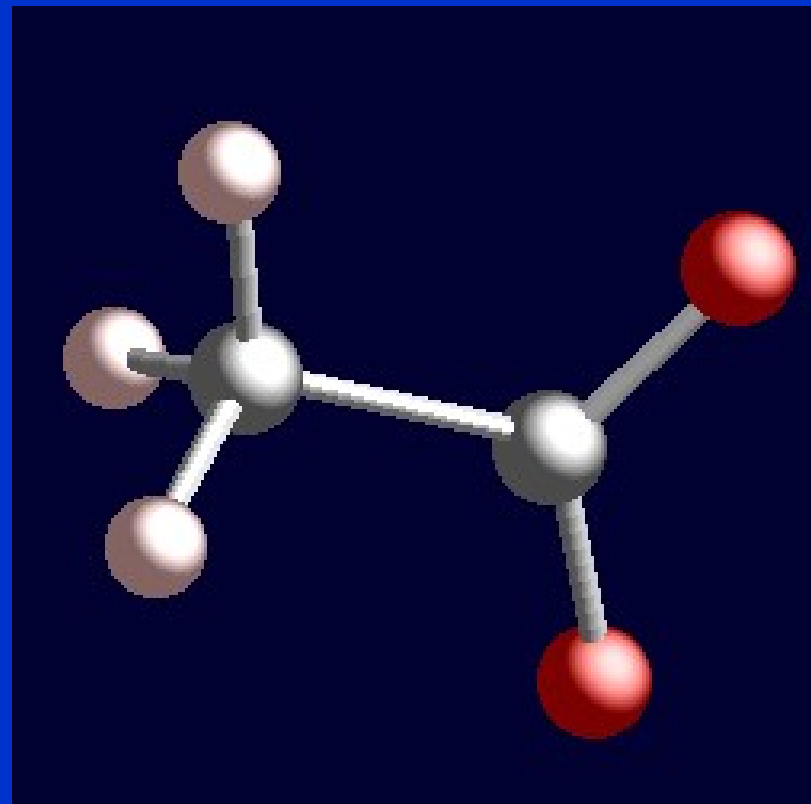
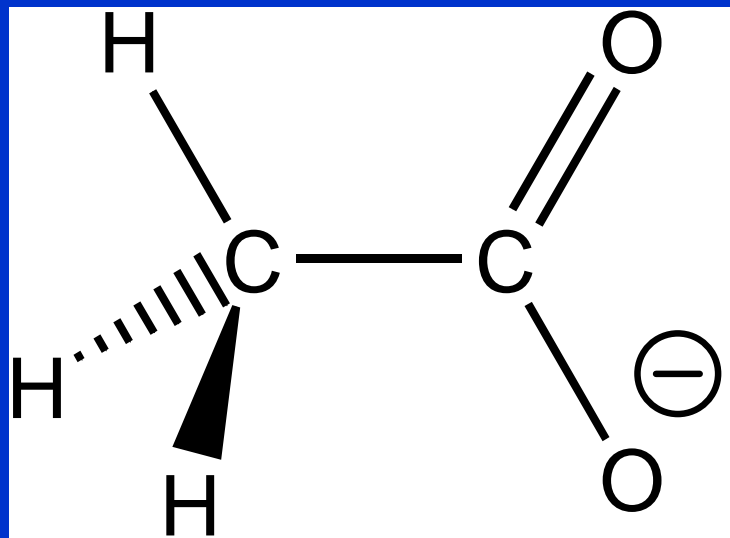
ligandy = jiné atomy nebo skupiny

Ligandy mají obvykle vyšší elektronegativitu než centrální atom
(ne H nebo kovy)

Valenční elektrony uspořádány do dvojic:

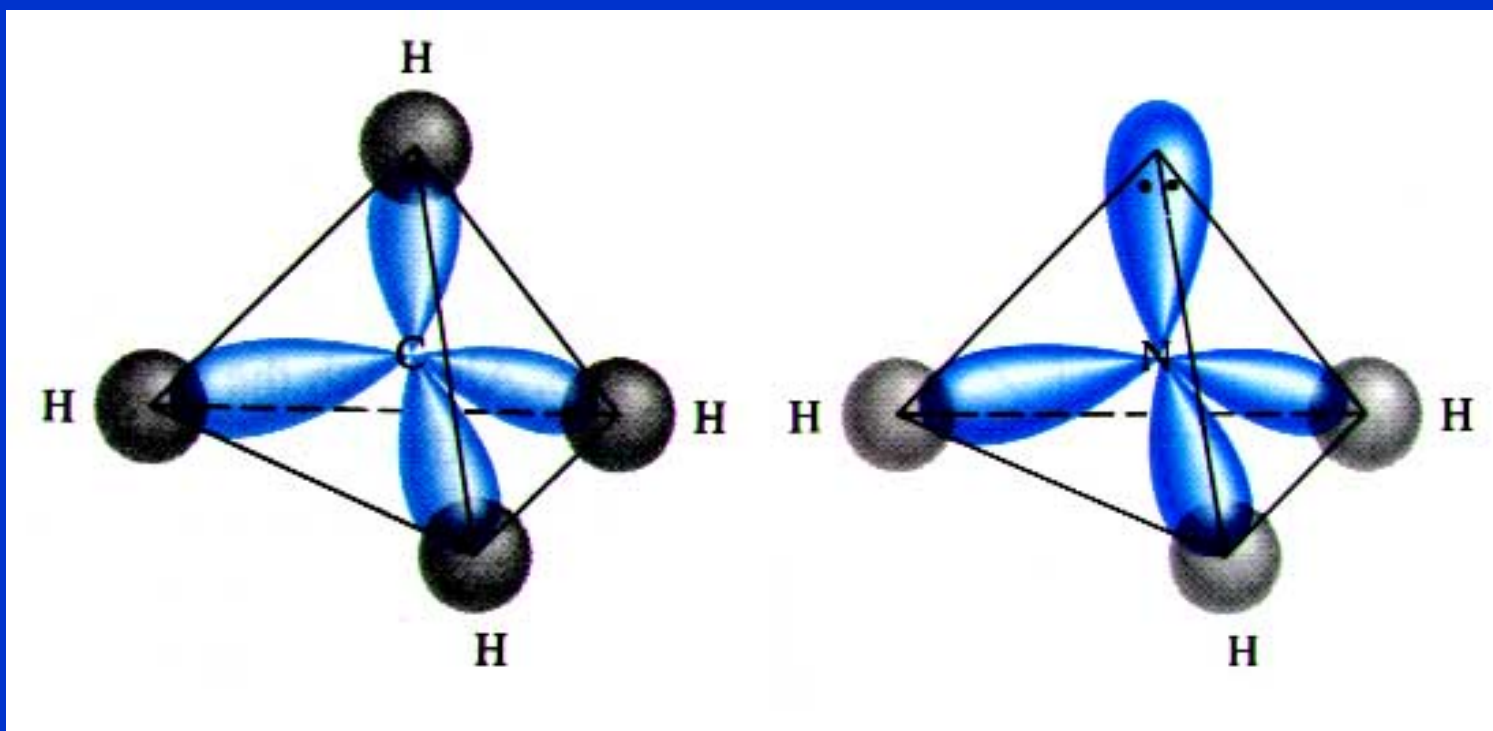
- Vazebné elektronové páry
- Vlné (nevazebné) elektronové páry

Centrální atom - ligand



VSEPR

Pro určení základního tvaru koordinační sféry atomu je důležitý počet obsazených **směrů** = počet volných elektronových párů a počet vazeb (bez ohledu na násobnost !!)



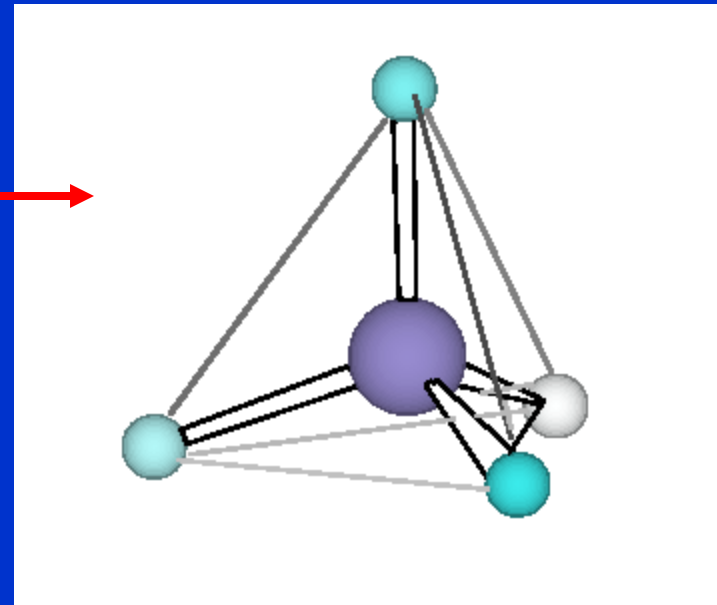
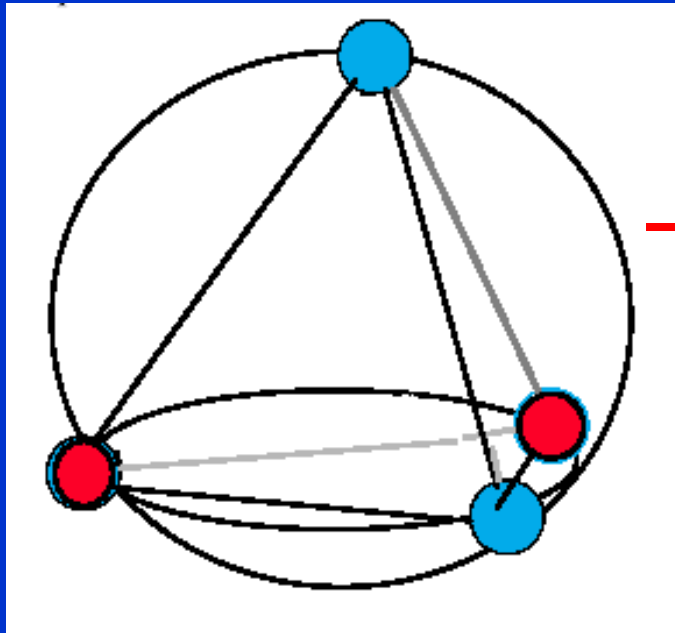
VSEPR

Každý elektronový pár zaujímá určitý prostor kolem centrálního atomu a „zabraňuje“ přístupu ostatním elektronům (odpuzuje je) = Pauliho princip výlučnosti.

Elektronové páry se uspořádají v prostoru kolem centrálního atomu **co nejdále od sebe**, aby se co nejméně odpuzovaly.

Volné elektronové páry „zaujímají“ **větší** část prostoru kolem centrálního atomu a jsou mu blíže než **vazebné** elektronové páry.

Tetraedrická molekula methanu CH_4



Umístit 4 body na povrchu koule tak, aby měly mezi sebou maximální vzdálenost → tetraedr

VSEPR

Volné elektronové páry a jednotlivé vazby zaujmou v prostoru kolem centrálního atomu uspořádání s nejnižší energií, tj. s nejmenším odpuzováním mezi elektronovými páry:

centrální atom + 2 ligandy

centrální atom + 3 ligandy

centrální atom + 4 ligandy

centrální atom + 5 ligandů

centrální atom + 6 ligandů

centrální atom + 7 ligandů

lineární

rovnostranný trojúhelník

tetraedr

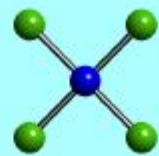
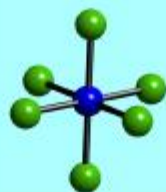
trigonální bipyramida nebo

čtvercová pyramida

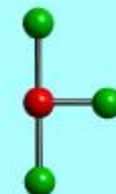
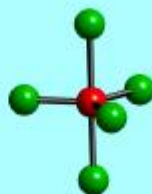
oktaedr

pentagonální bipyramida

VSEPR



6



5

4



3



2



VSEPR

Pro pojmenování výsledného tvaru molekuly uvažujeme jen polohy jader, NE volné elektronové páry

Objem obsazený vazebnými el.páry klesá v řadě :

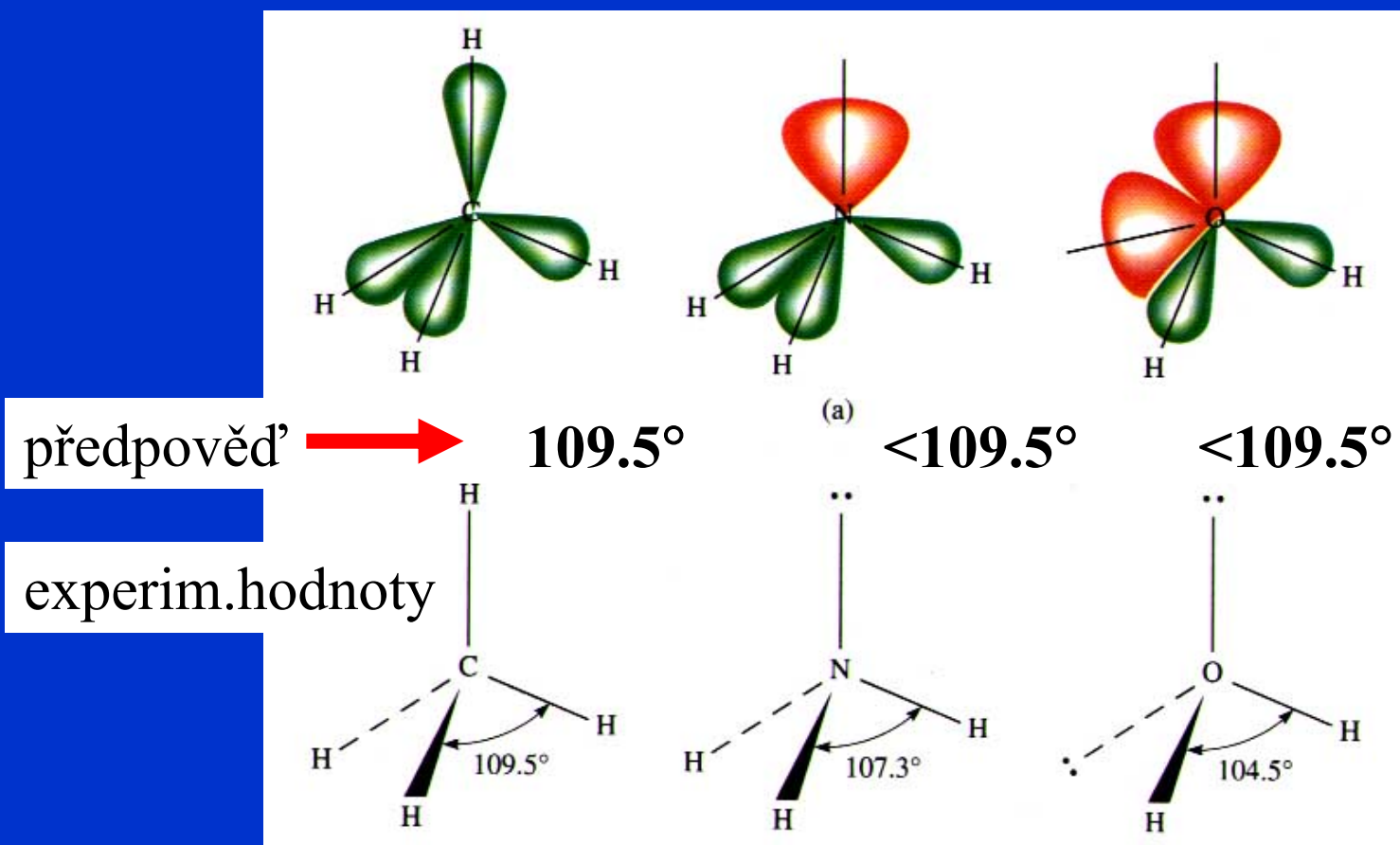
trojná vazba > dvojná vazba > jednoduchá vazba.

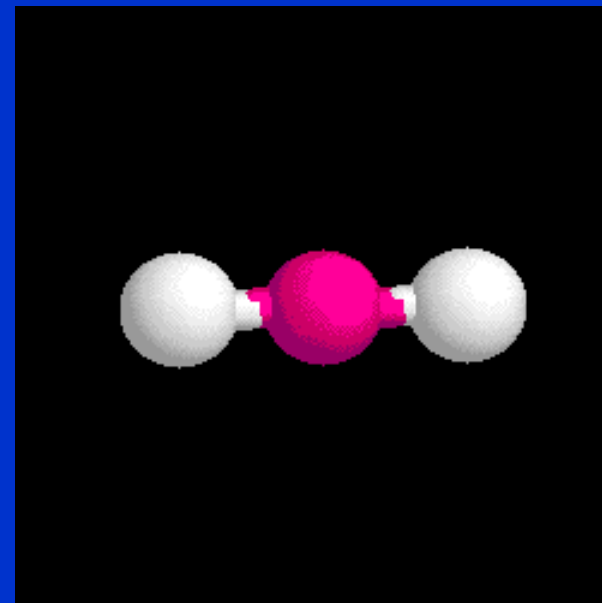
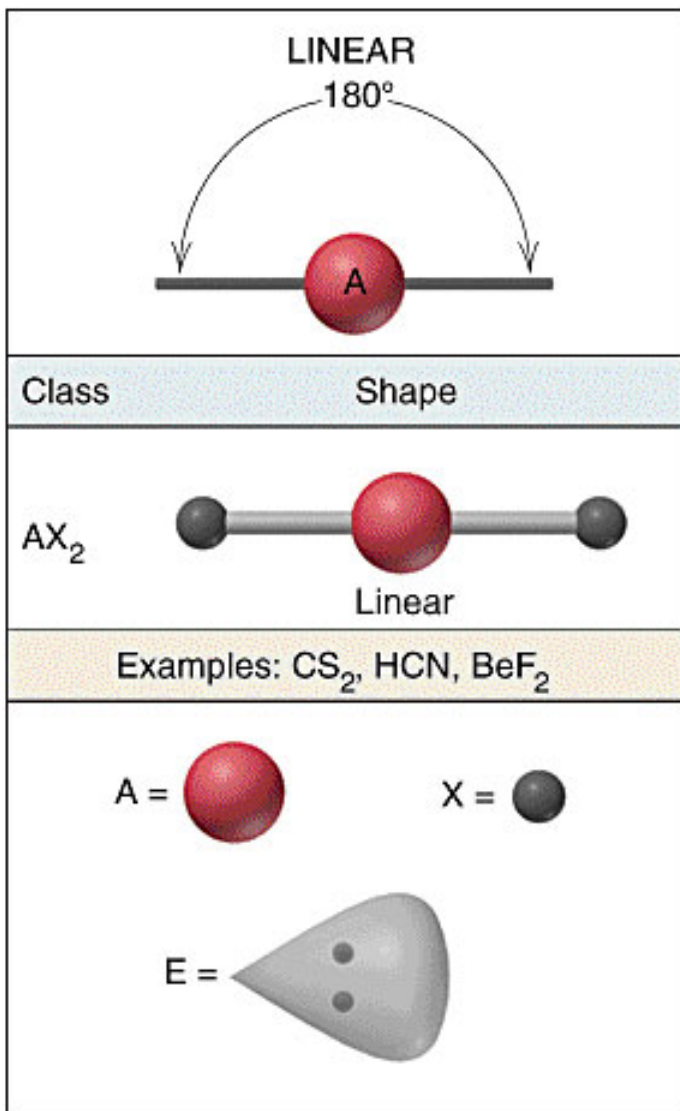
Odpuzování mezi el.páry klesá v řadě:

volný-volný > volný-vazebný > vazebný-vazebný

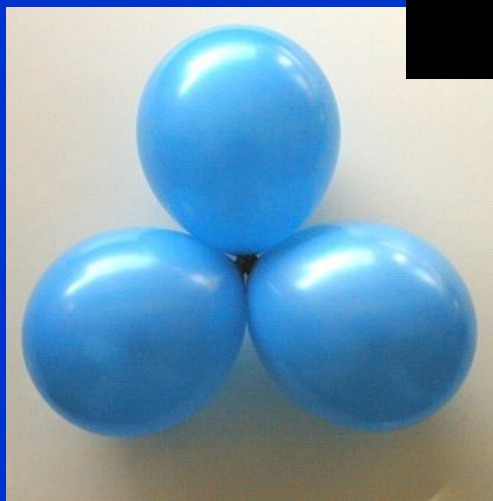
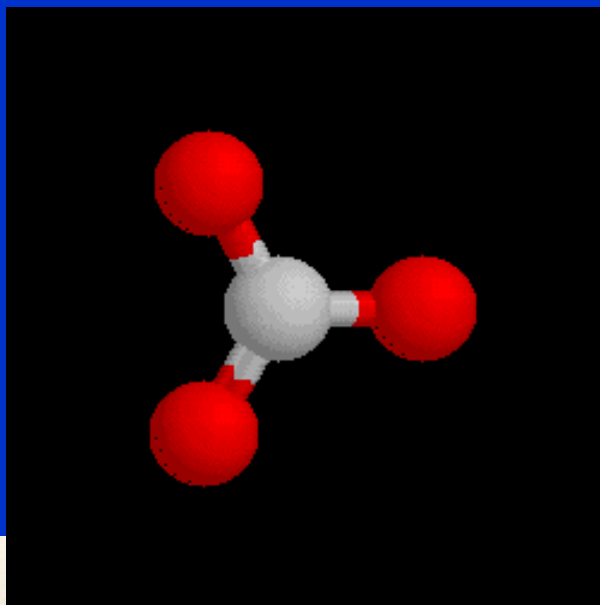
Změny vazebných úhlů

VSEPR předpovídá změnu vazebného úhlu od ideální hodnoty
Ne však numerickou hodnotu vazebného úhlu





AX₂
Vazebný úhel = 180°

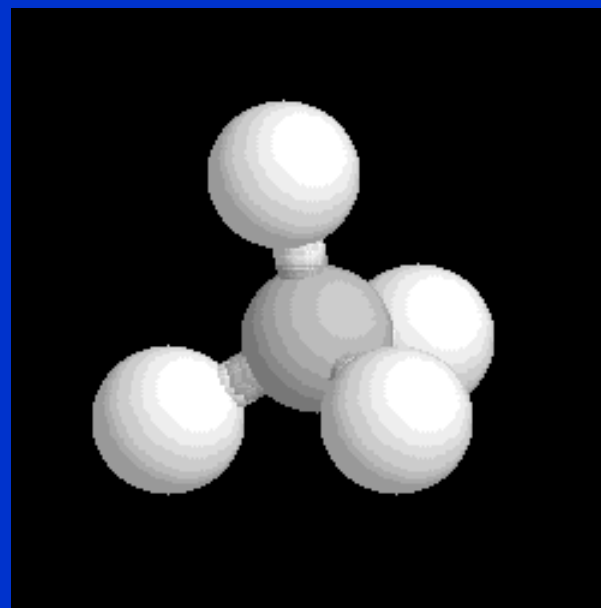
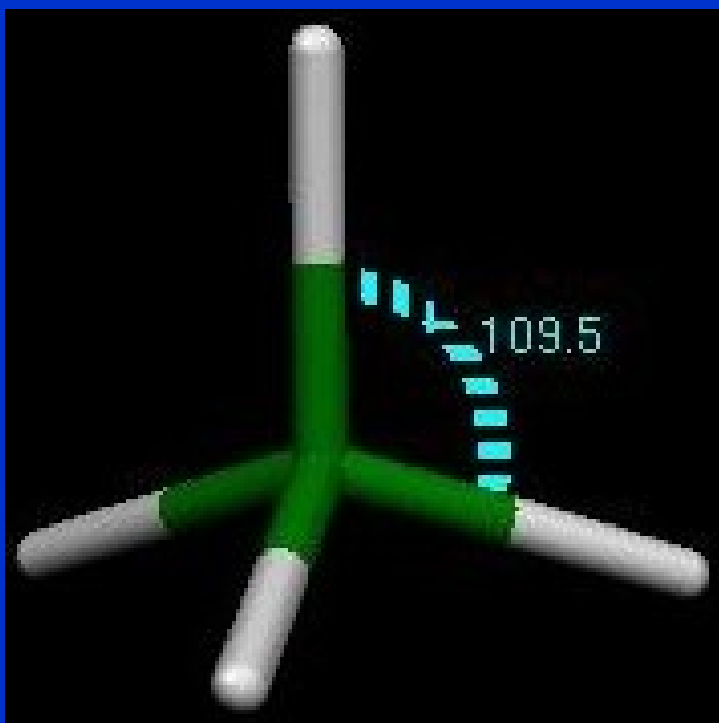


AX_3 : Vazebný úhel = 120°

AEX_2 : Vazebný úhel $< 120^\circ$

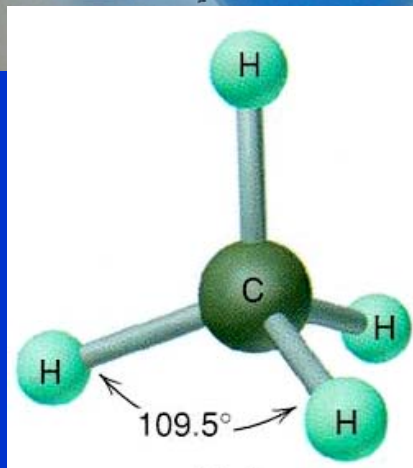
TRIGONAL PLANAR	
Class	Shape
AX_3	<p>Trigonal planar</p>
Examples: SO_3 , BF_3 , NO_3^- , CO_3^{2-}	
AX_2E	<p>Bent (V shaped)</p>
Examples: SO_2 , O_3 , $PbCl_2$, $SnBr_2$	

Tetraedrický vazebný úhel

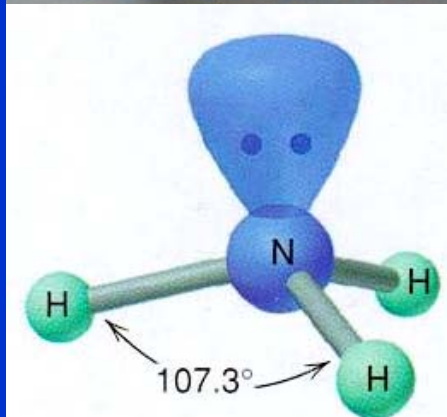


Tetraedrický vazebný úhel = 109.5°

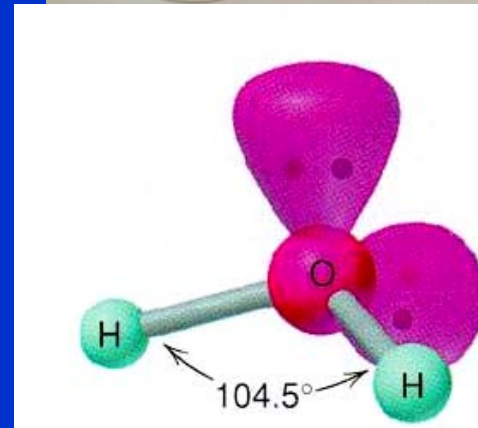
Deformace vazebných úhlů



Tetraedr



Trojboká pyramida



Lomená

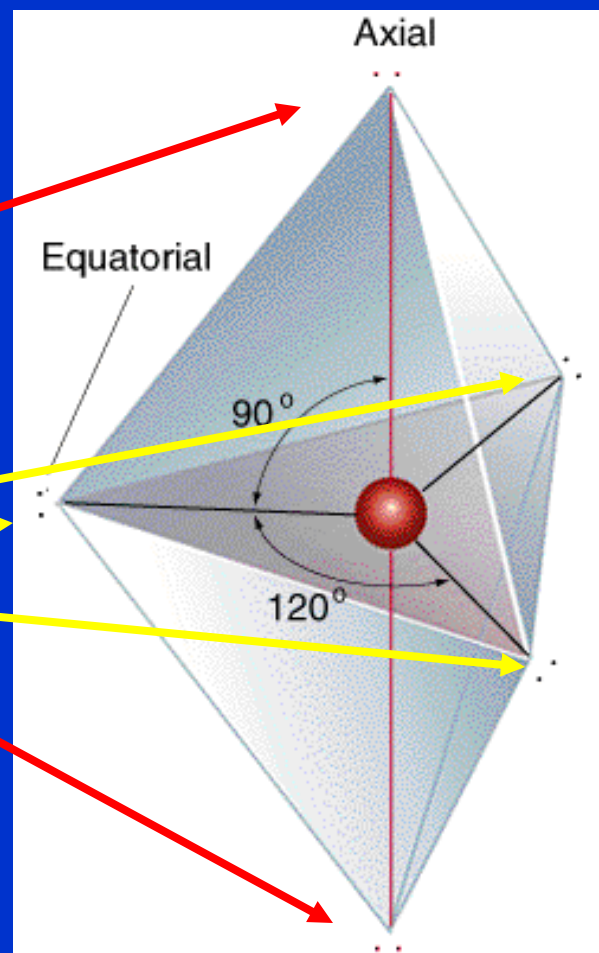
Trigonální bipyramida

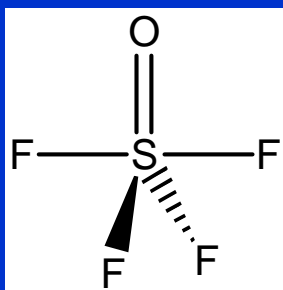
TBP má dva různé typy vrcholů =
dva chemicky odlišné typy
substituentů, pozic

Dvě axiální

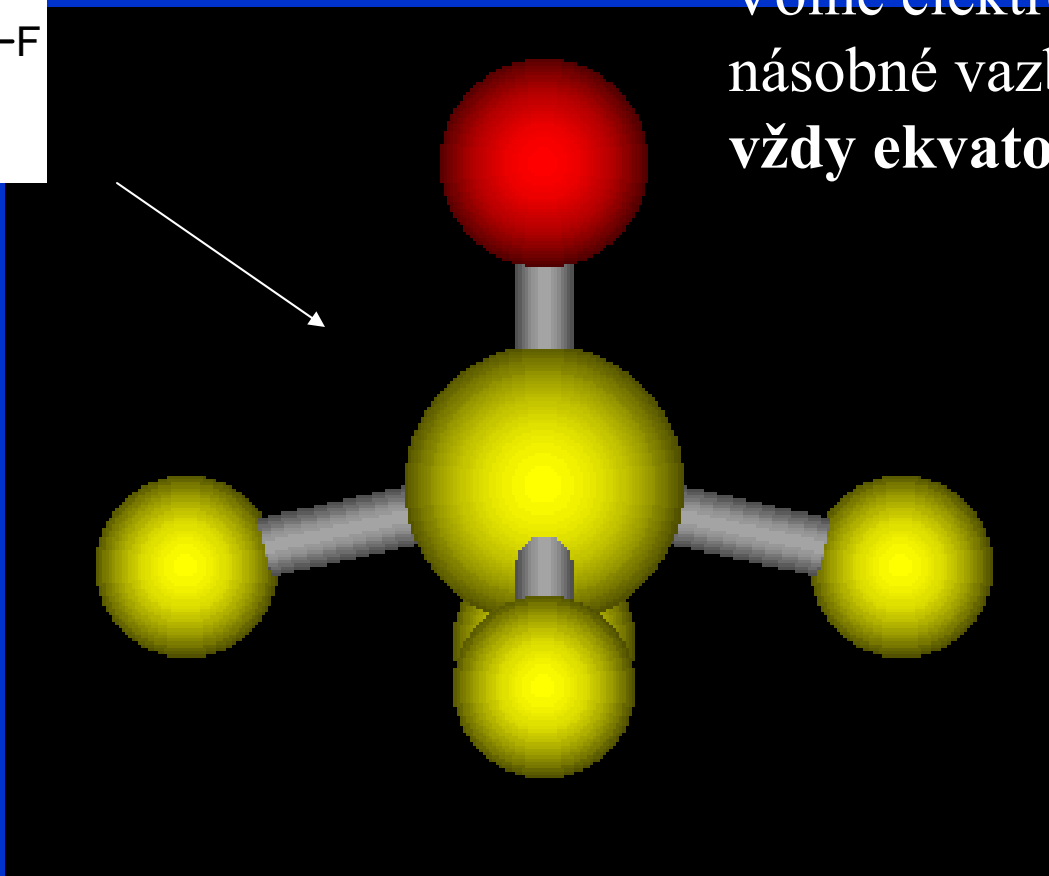
Tři ekvatoriální

Volné elektronové páry a
násobné vazby obsazují vždy
ekvatoriální polohy

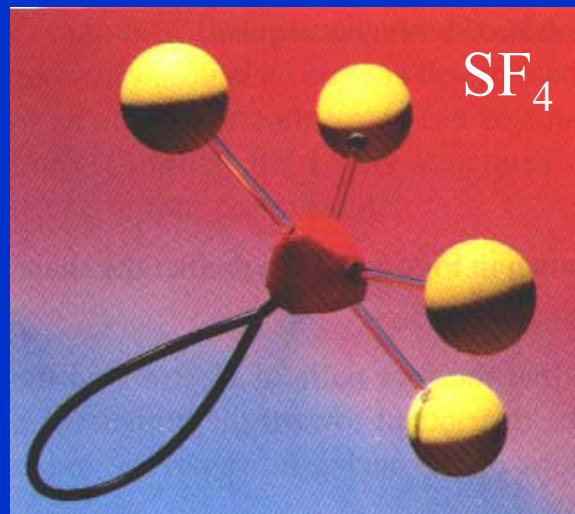
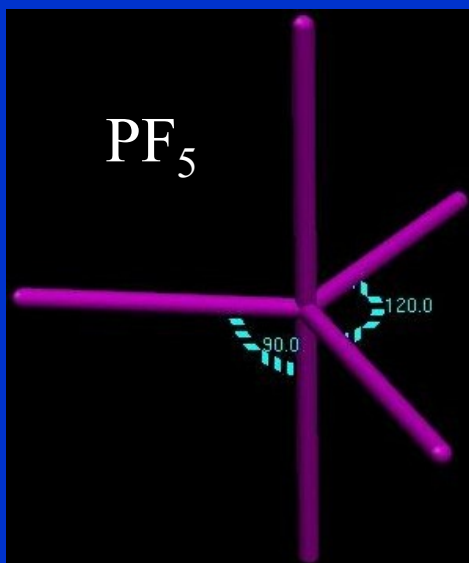




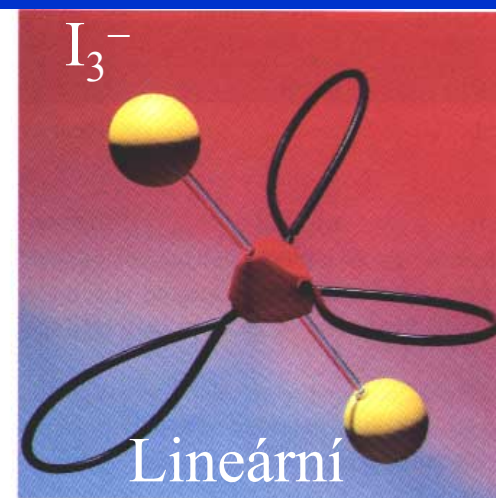
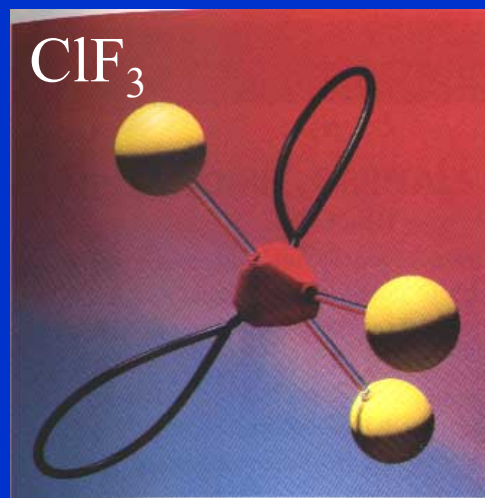
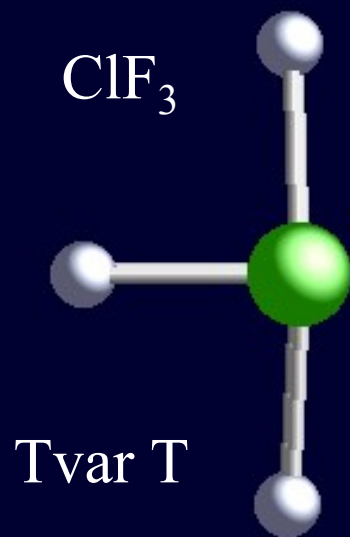
Volné elektronové páry a násobné vazby obsazují vždy ekvatoriální polohy



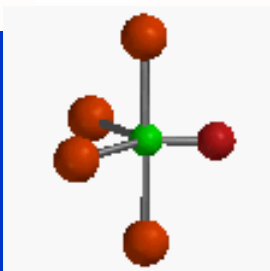
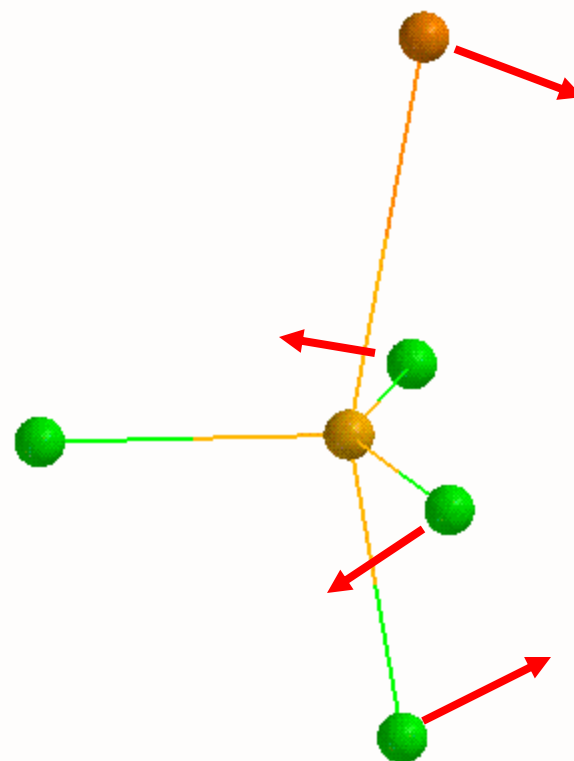
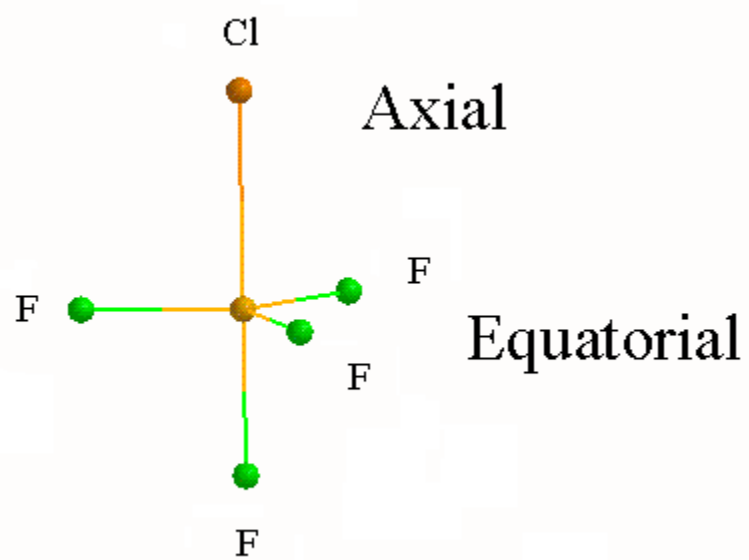
Trigonální bipyramida



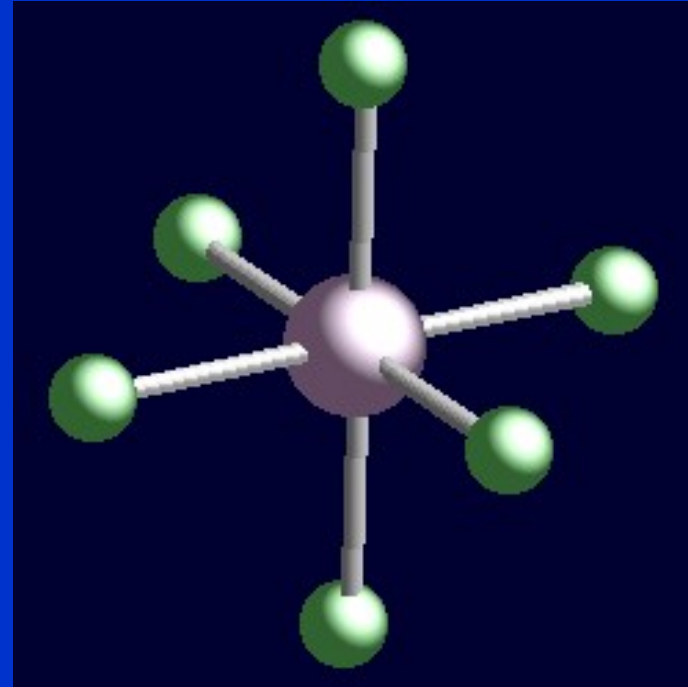
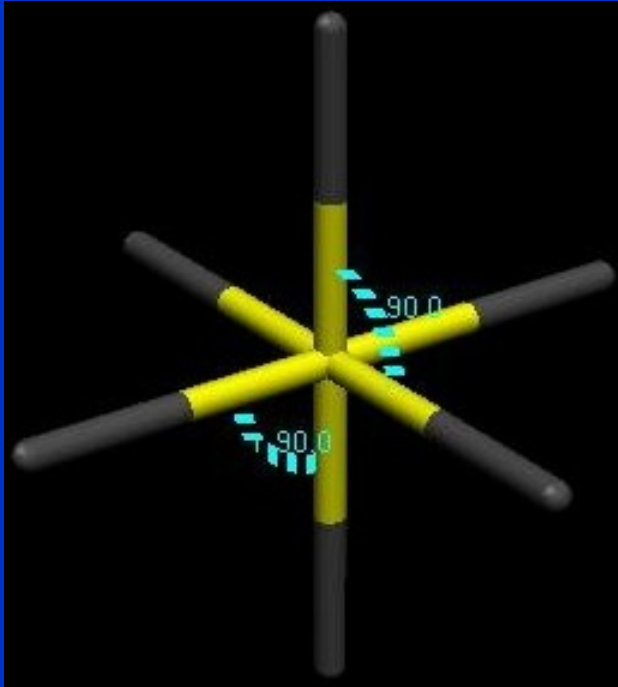
Výsledný název tvaru molekuly určuje poloha jader, neuvažujeme volné elektronové páry



Trigonální bipyramida (TBP) a čtvercová pyramida (SP)

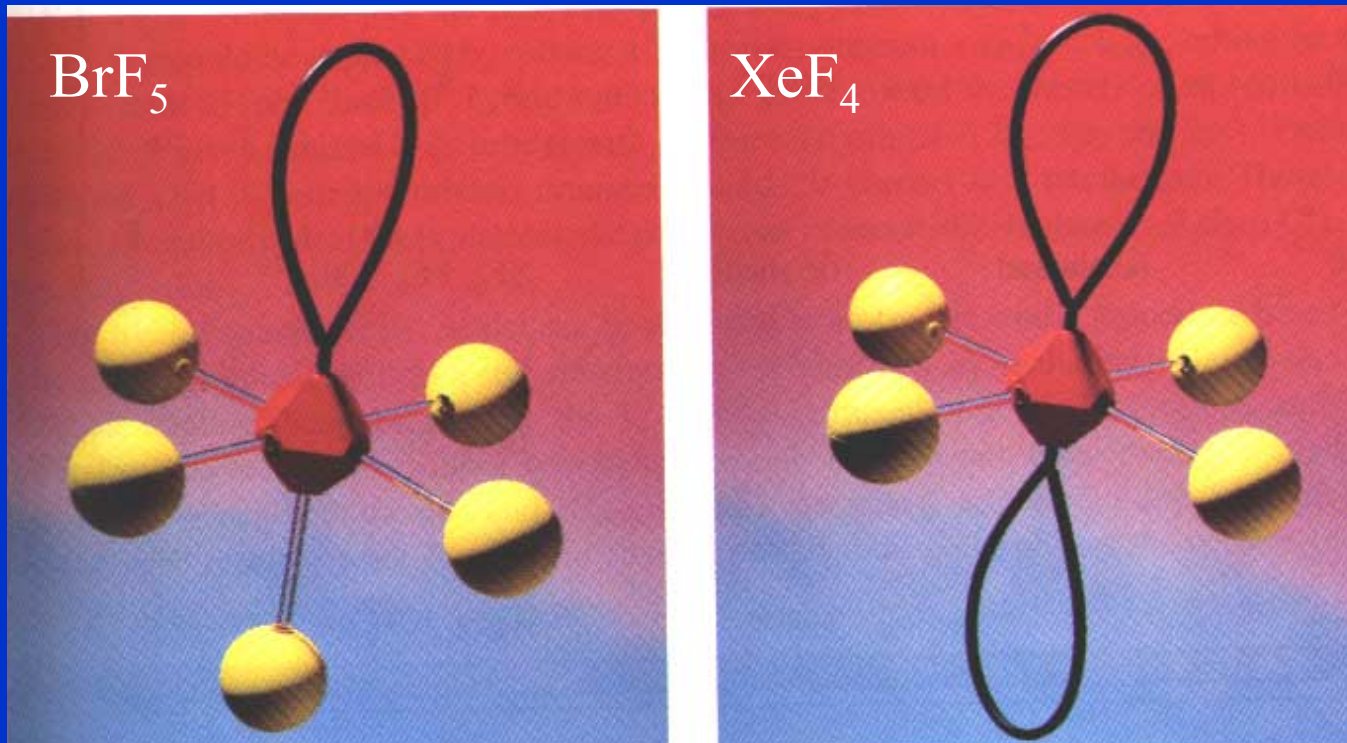


Oktaedr



Oktaedrický vazebný úhel = 90°

Oktaedr



Čtvercová pyramida

Čtverec

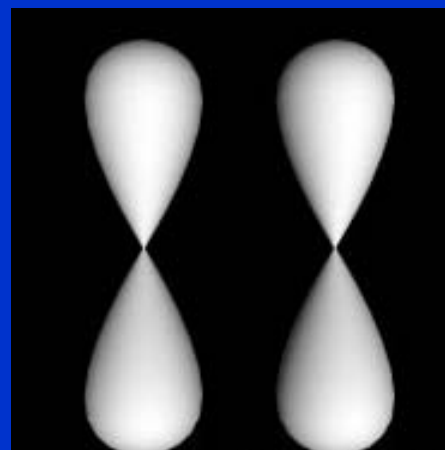
Překryv orbitalů

Vznik vazby překryvem orbitalů na dvou různých atomech A, B
Obsazeno dvojicí elektronů

$$\Psi = \Psi_A \times \Psi_B$$

Podmínky překryvu:

- Vhodná symetrie, znaménko vlnové funkce
- Vhodná energie, srovnatelná, ne velmi rozdílná



Typy překryvu orbitalů

Sigma vazba, σ

Elektronová hustota lokalizována na spojnici jader

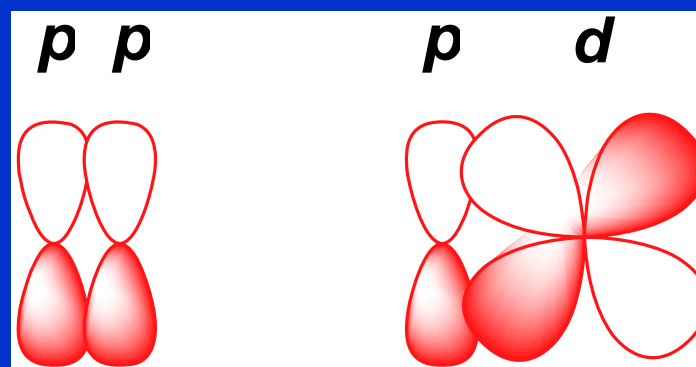
Spojnicí jader obvykle značíme jako osu z



Pi vazba, π

Elektronová hustota lokalizována mimo spojnici jader

Jedna uzlová rovina

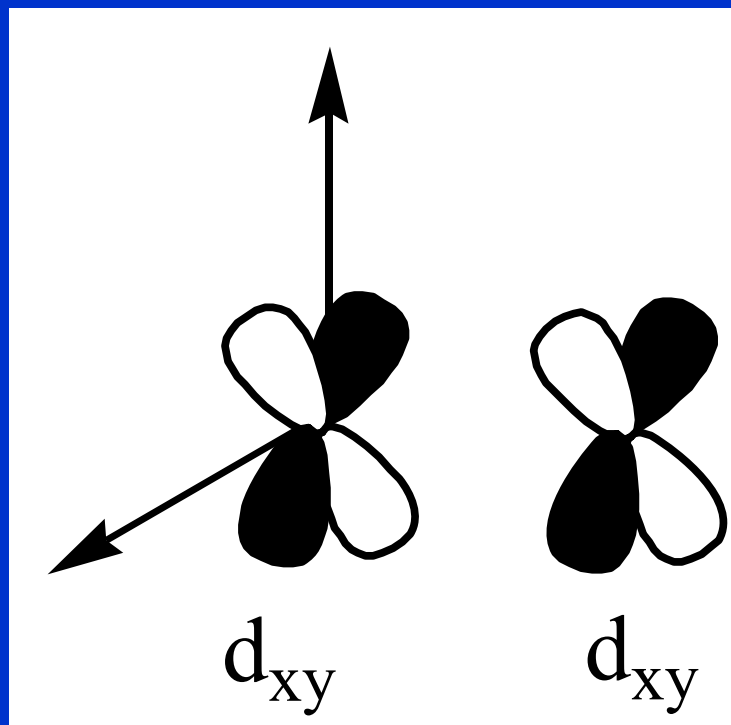


Typy překryvu orbitalů

Delta vazba, δ

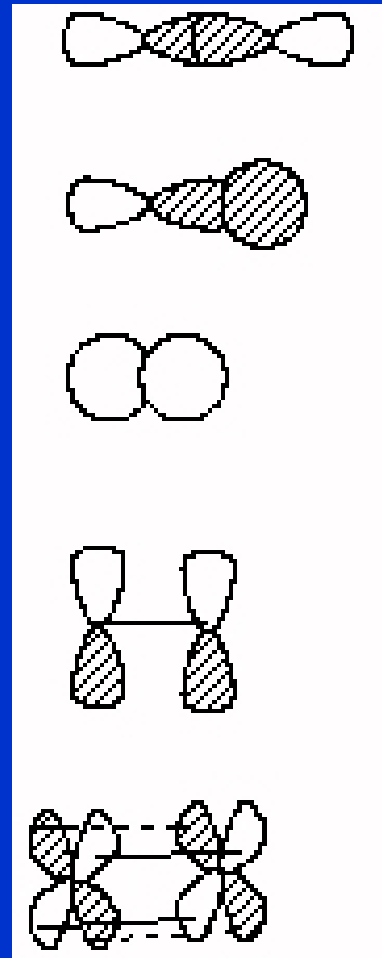
Elektronová hustota lokalizována mimo spojnici jader

Dvě uzlové roviny

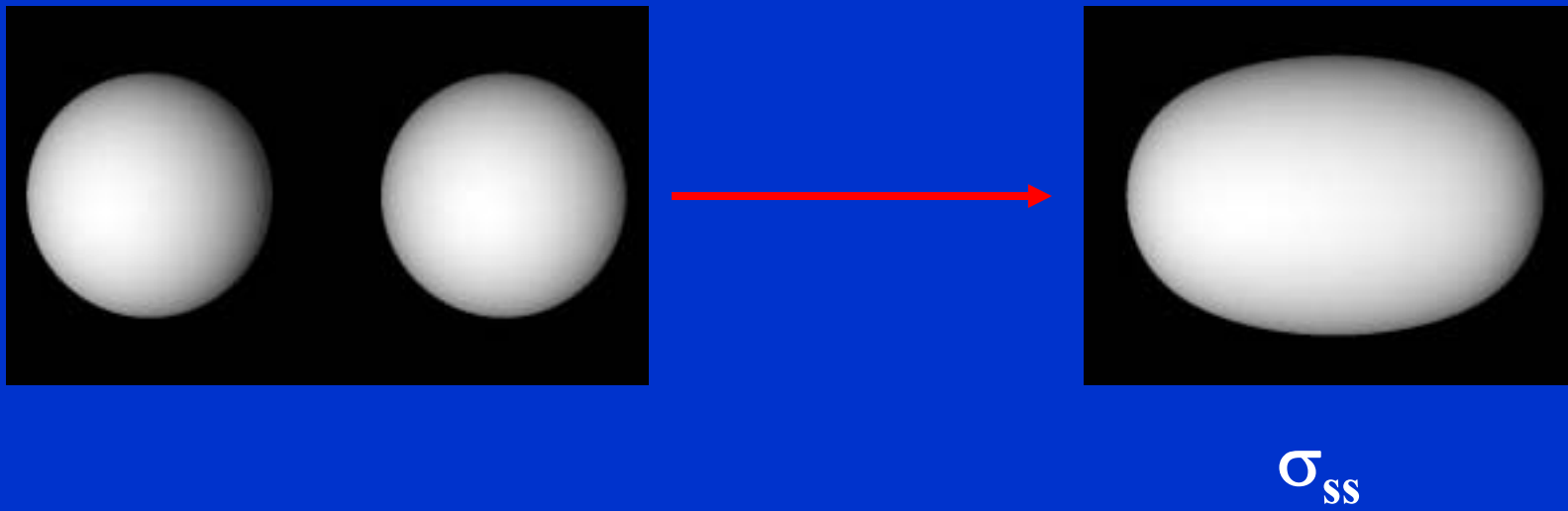


Typy překryvu orbitalů

Překryv klesá
slabší vazba

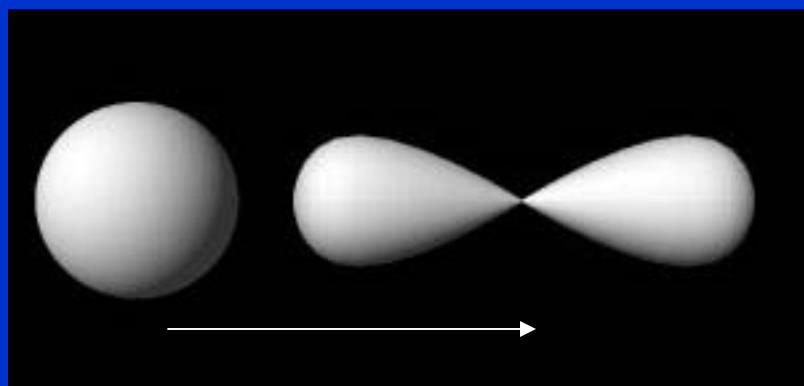


Sigma vazba, σ_{ss}

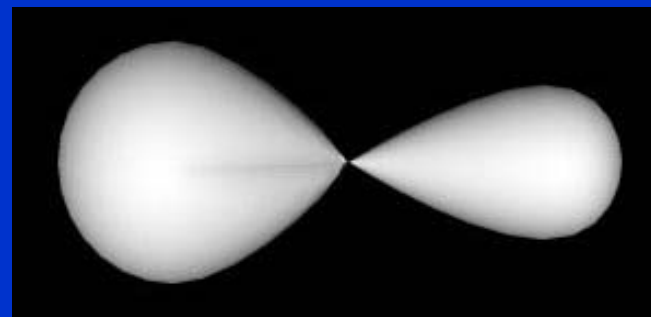


Elektronová hustota lokalizována na spojnici jader

Sigma vazba, σ_{sp}

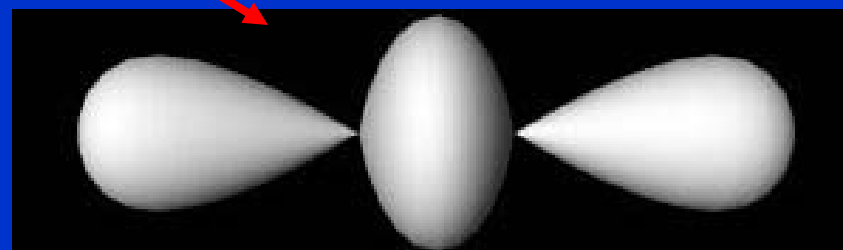
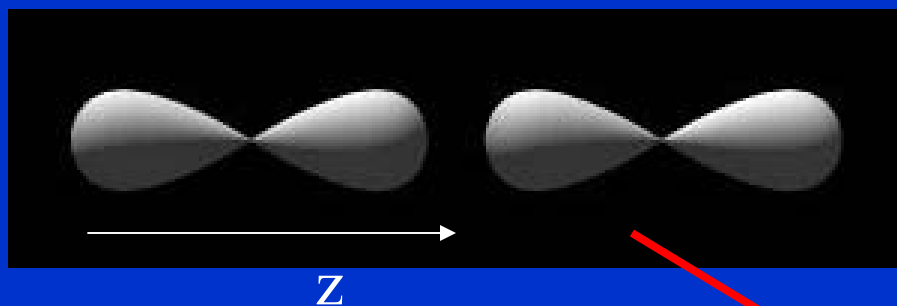


z



σ_{sp}

Sigma vazba, σ_{pp}

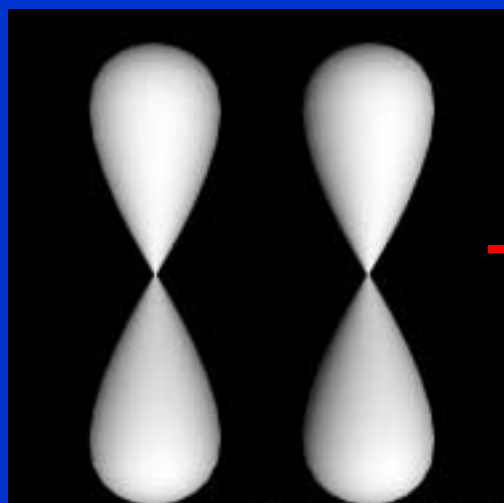


σ_{pp}

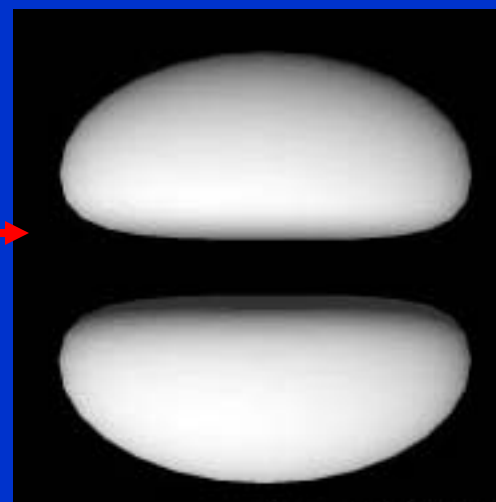
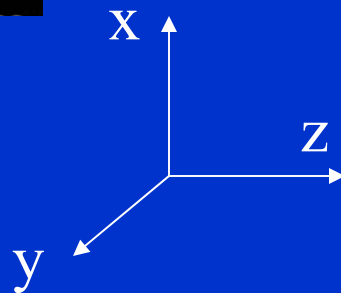
Pi vazba, π

Elektronová hustota lokalizována mimo spojnici jader

Jedna uzlová rovina



Stejně pro p_x a p_y



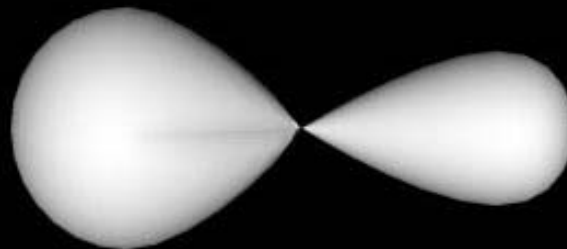
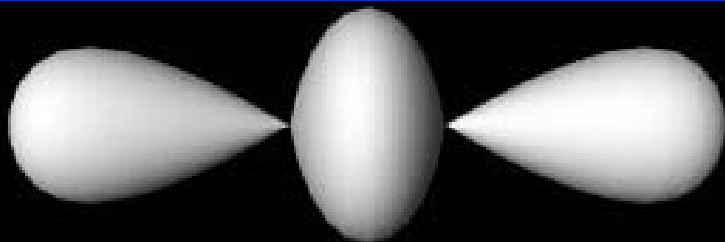
$2 \times \pi_{pp}$

Účinnost překryvu orbitalů

Kratší vzdálenost = lepší překryv

Při stejné vzdálenosti jader: $\sigma > \pi > \delta$

Pro σ : $p_z-p_z > p_z-s > s-s$



Vazebné parametry

Anion	Řád vazby	Vazebná délka, Å
ClO^-	1.0	1.67
ClO_2^-	1.50	1.58
ClO_3^-	1.67	1.49
ClO_4^-	1.75	1.43
ClO_2^+	2.0	1.39

Řád vazby roste

Vazebná délka klesá

Vazebné parametry

vazba	délka [\AA]	energie [kJ mol^{-1}]
C–C	1.54	348
C=C	1.34	612
C≡C	1.20	837
C–O	1.43	360
C=O	1.23	743
C≡O	1.13	1074
N–N	1.47	163
N=N	1.24	409
N≡N	1.10	944

Vazba	E, kJ mol ⁻¹	Polarita vazby
H-H	431	Nepolární
F-F	155	Nepolární
H-F	565	Polární
C-I	240	 Polarita vazby roste
C-Br	276	
C-Cl	339	
C-F	485	
		t. tání, °C
Ge-Ge	188	937
Si-Si	226	1412
C-C	347	3827

Vazebné parametry

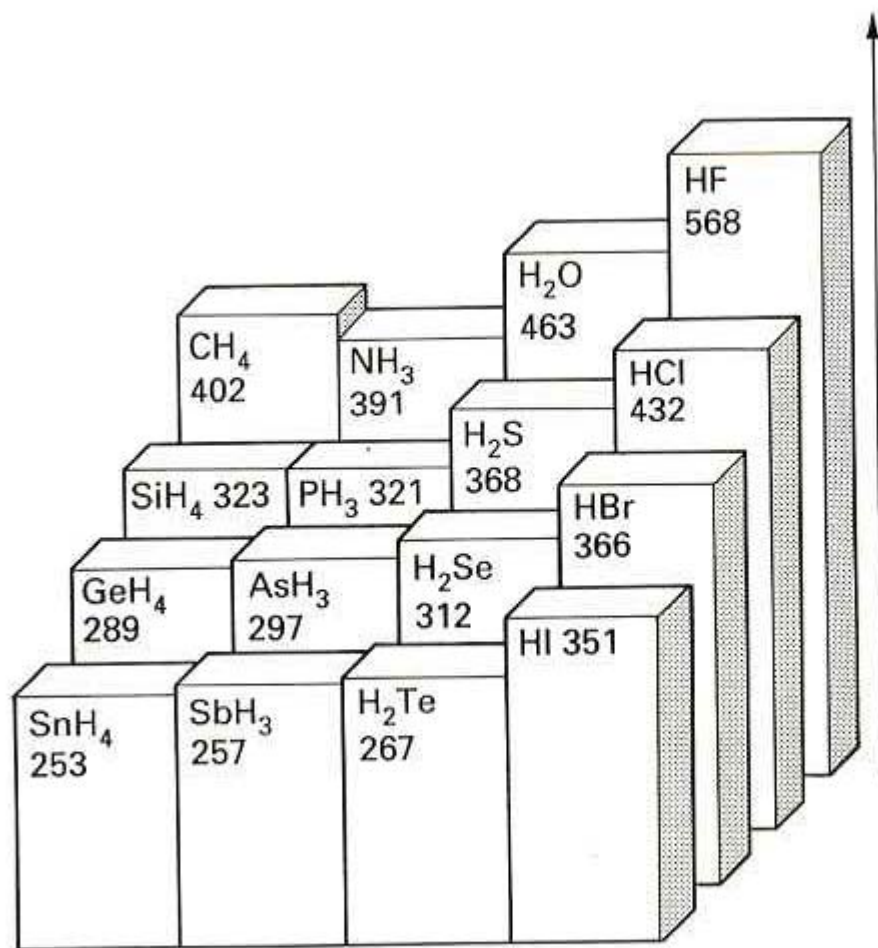
Vazba	E, kJ mol ⁻¹	délka, Å
C-I	240	2.16
C-Br	276	1.91
C-Cl	339	1.79
C-F	485	1.40

Pauling $E_D(AB) = \{E_D(AA) \times E_D(BB)\}^{1/2} + \Delta$

$$\Delta = 96.48 (\chi_A - \chi_B)^2$$

Schomaker-Stevenson

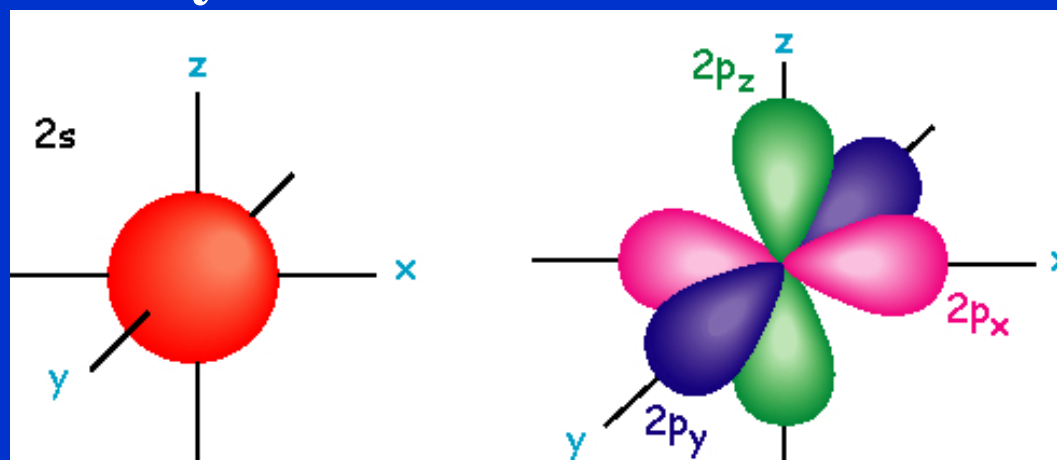
$$r_{AB} = r_A + r_B - 0.09 |\chi_A - \chi_B|$$



Vazebná energie
kJ mol⁻¹



Hybridizace



Vazebné úhly 90° jsou vzácné (u prvků hlavních skupin), obvyklé úhly jsou 109 , 120 , 180°

Hybridizace = energetické smíšení a směrové vyrovnání atomových orbitalů na **stejném** atomu

Počet hybridních orbitalů = počet smísených atomových orbitalů

Hybridizace sp

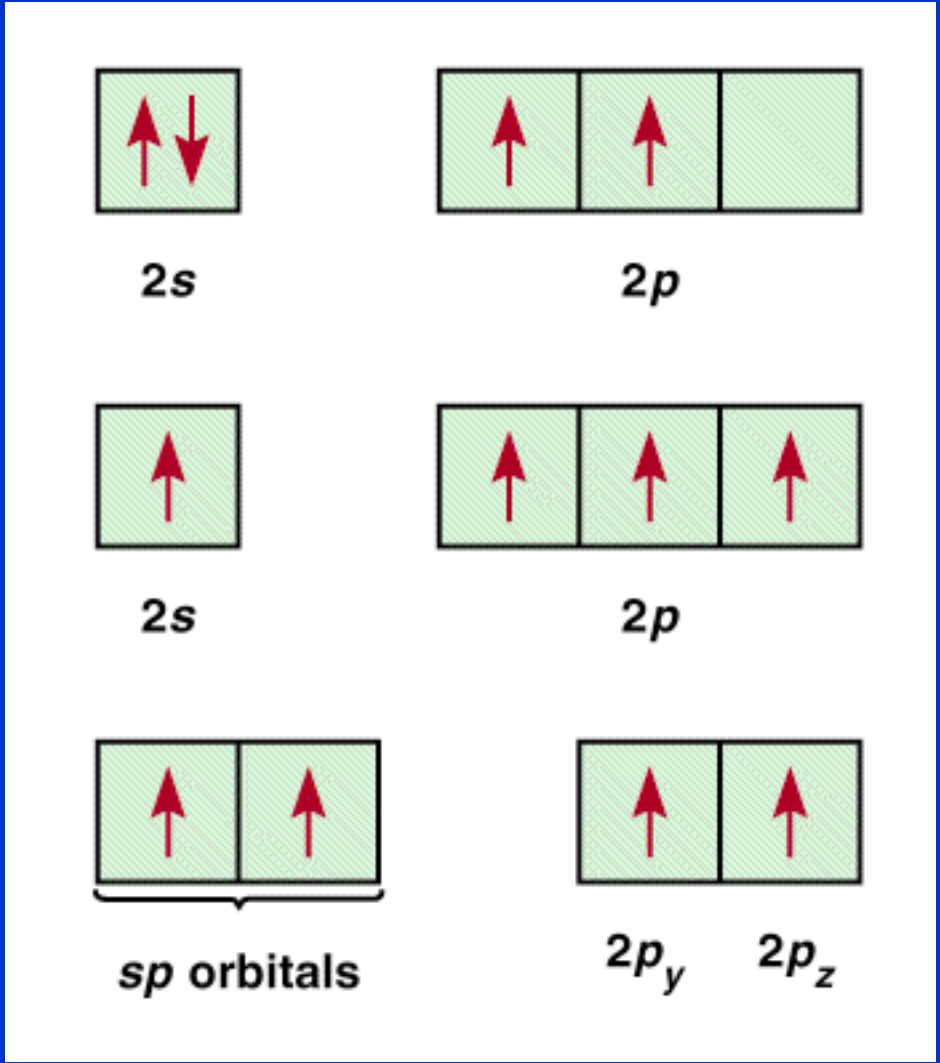
Základní stav



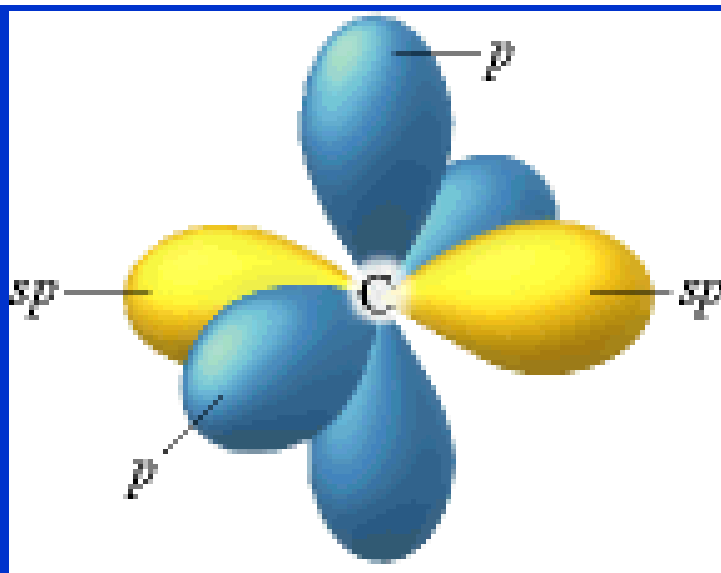
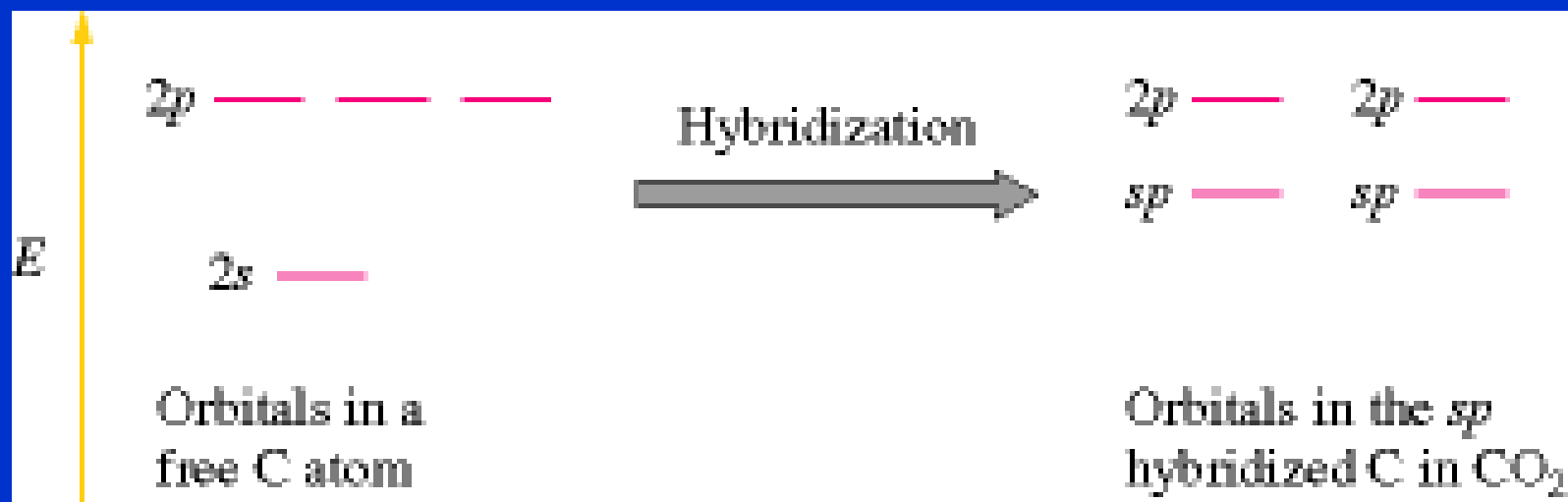
Excitovaný stav



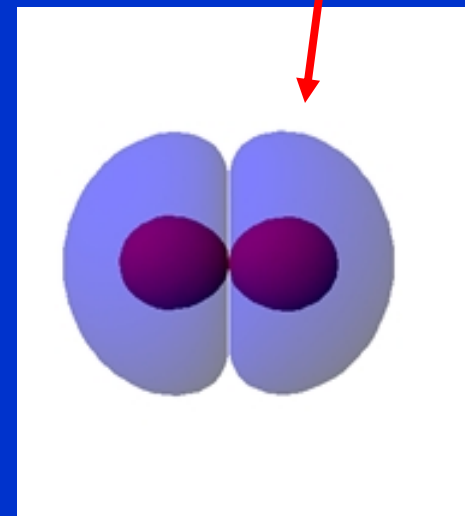
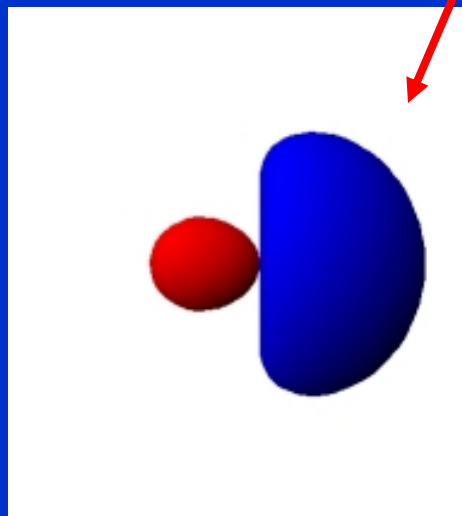
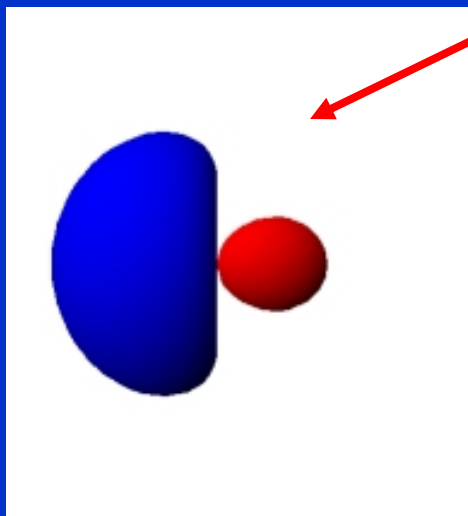
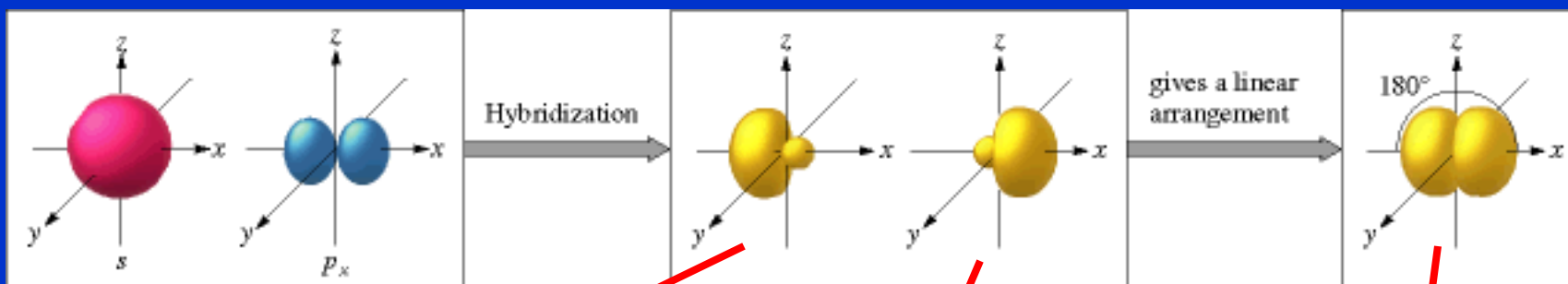
Hybridizovaný stav



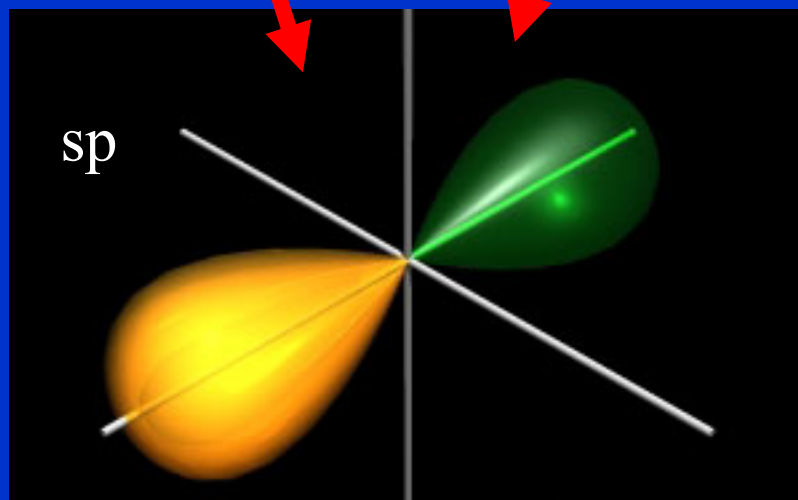
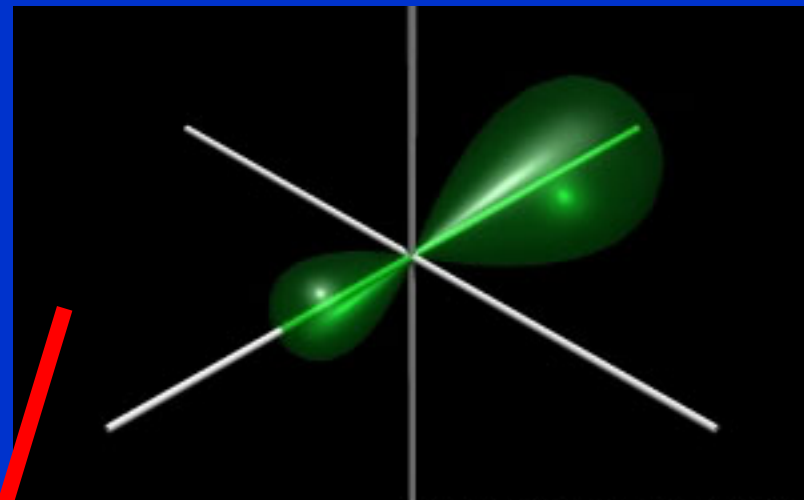
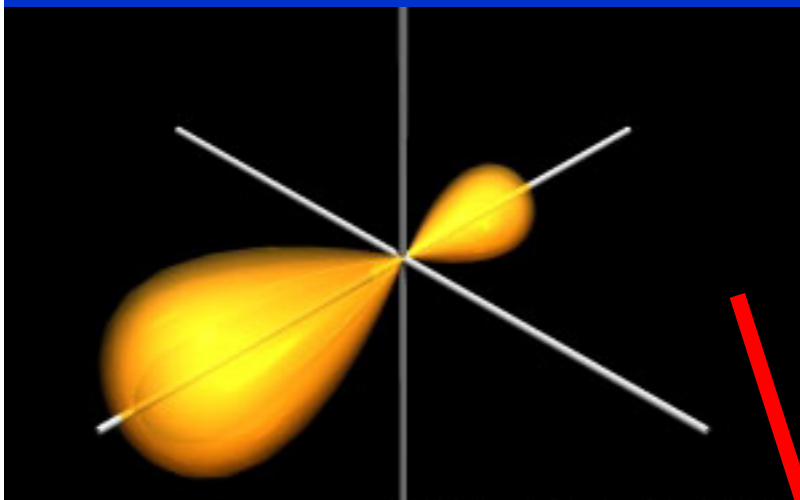
Hybridize sp



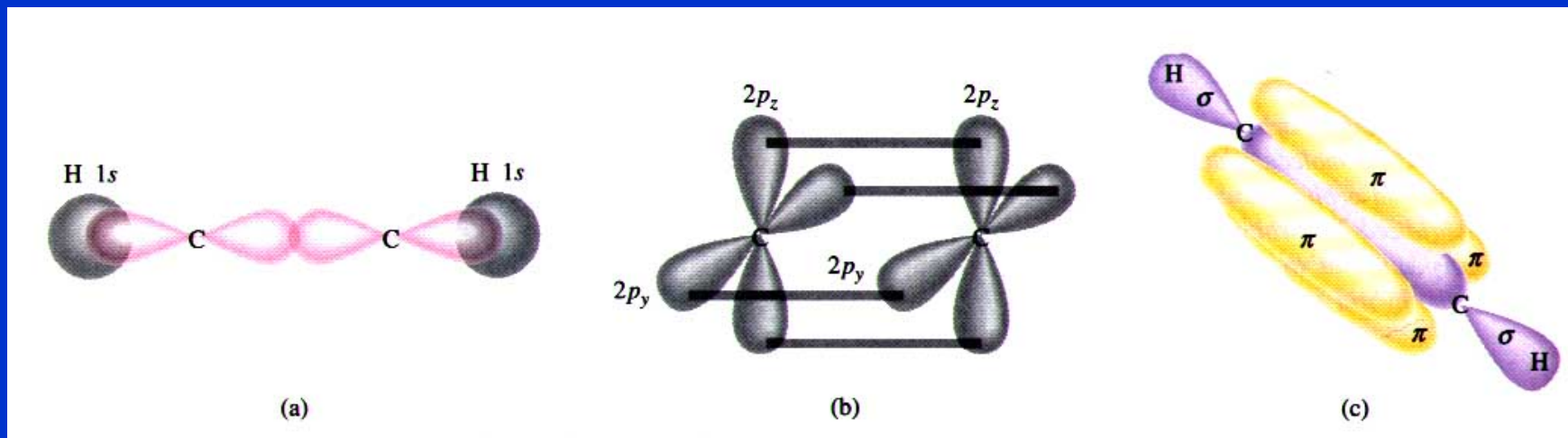
Hybridizace sp



Hybridizace sp

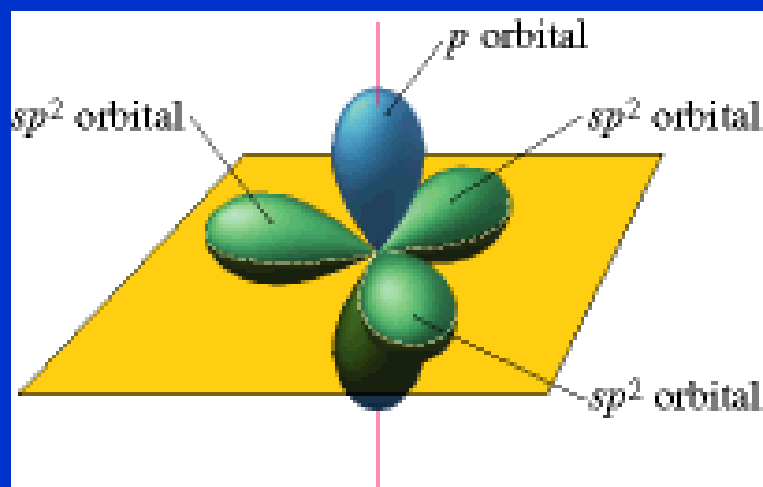
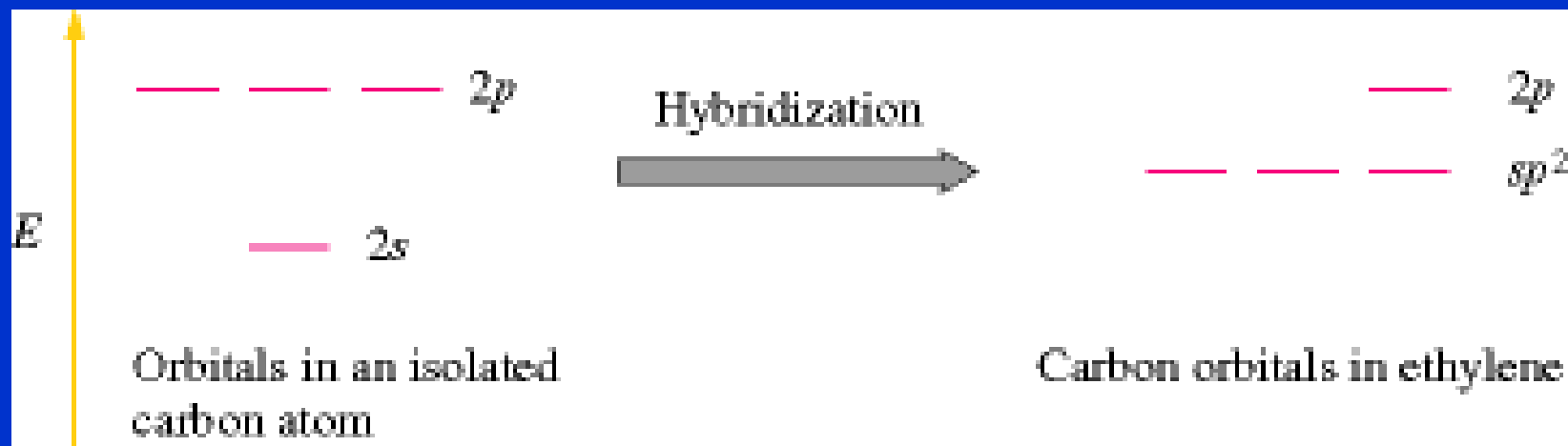


Acetylen

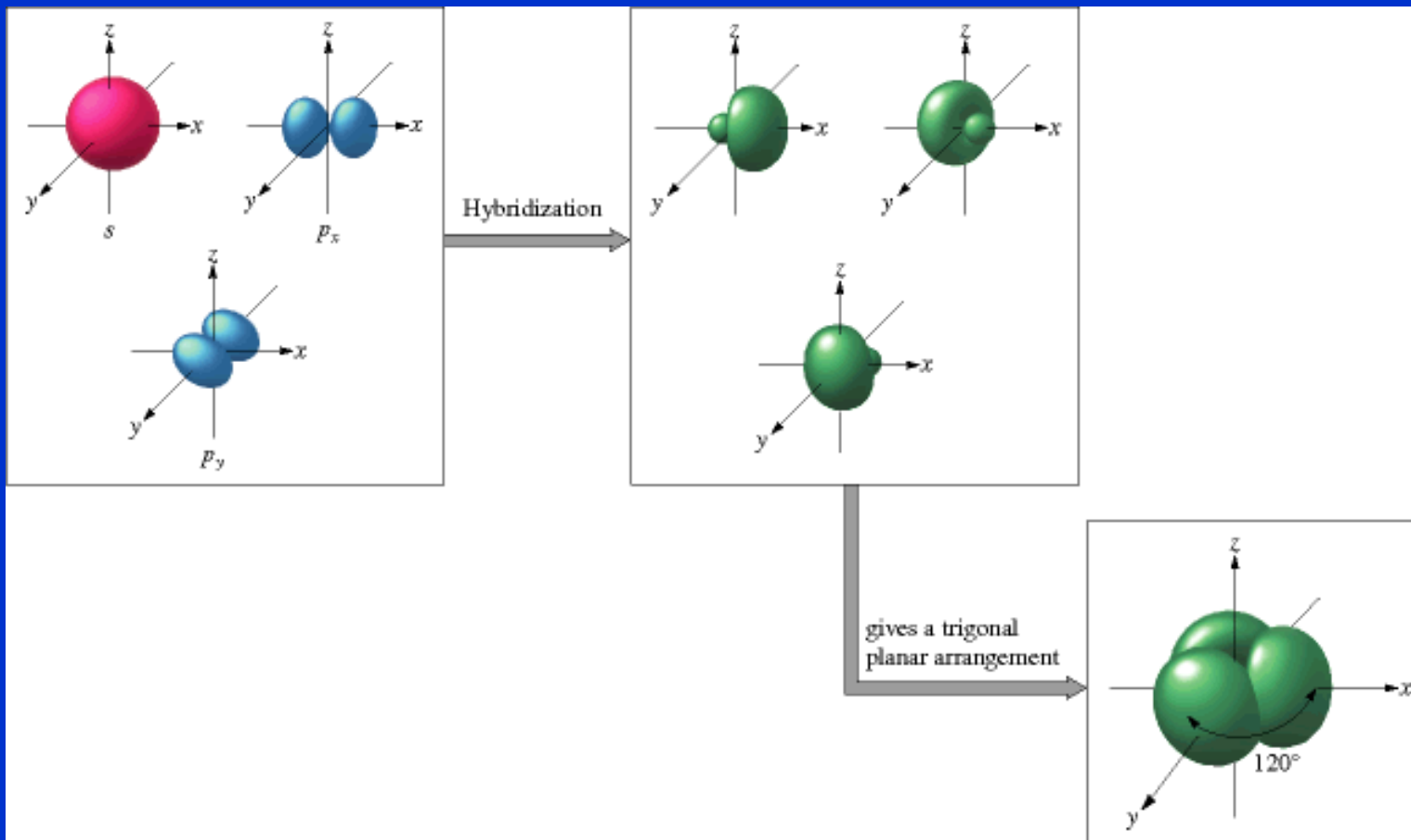


- 2 σ vazby překryvem C(sp)–H(s)
- 1 σ vazba překryvem C(sp)–C(sp)
- 2 navzájem kolmé π -vazby (x, y) překryvem C(p)–C(p)

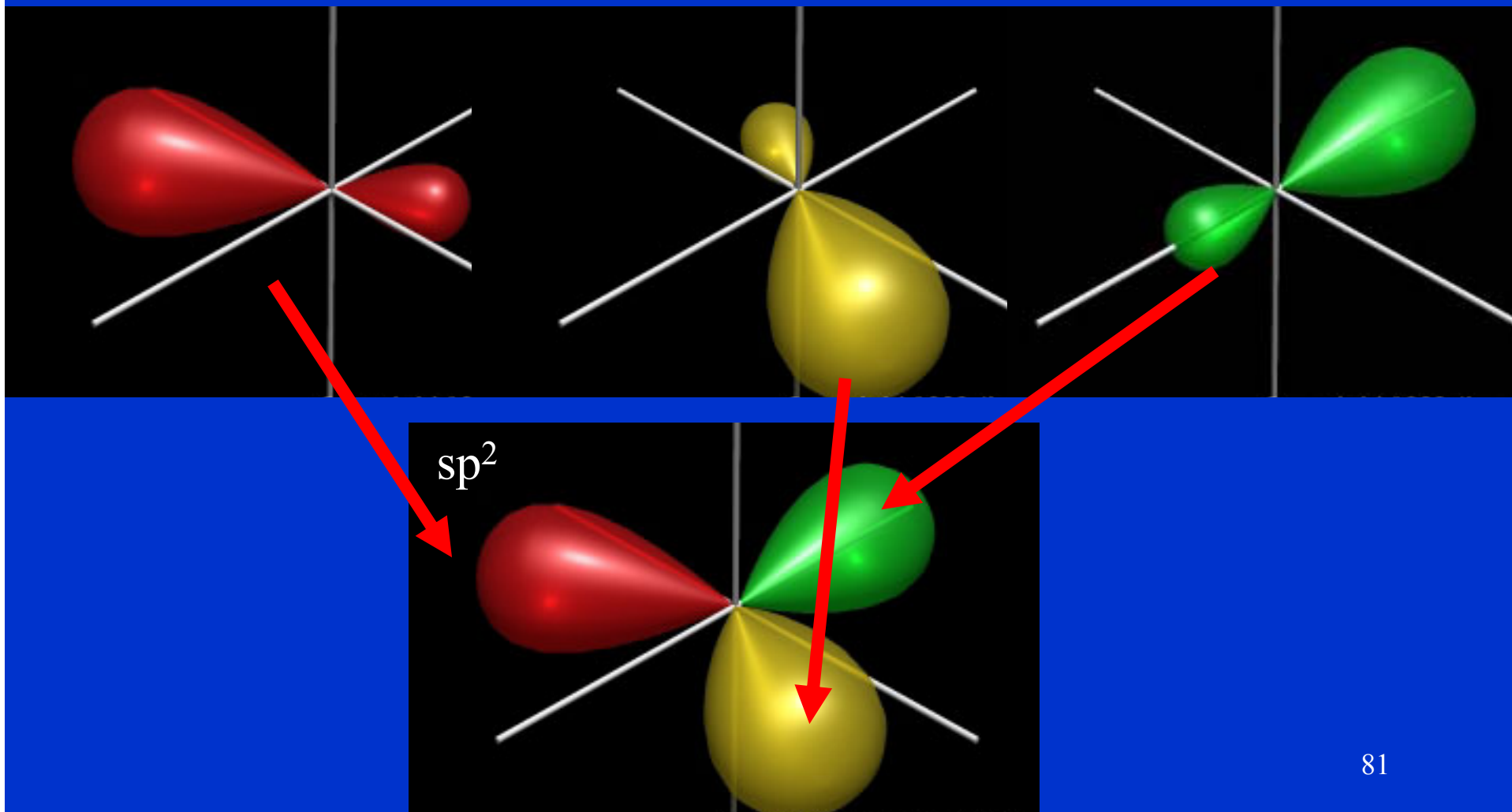
Hybridizace sp^2



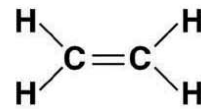
Hybridizace sp^2



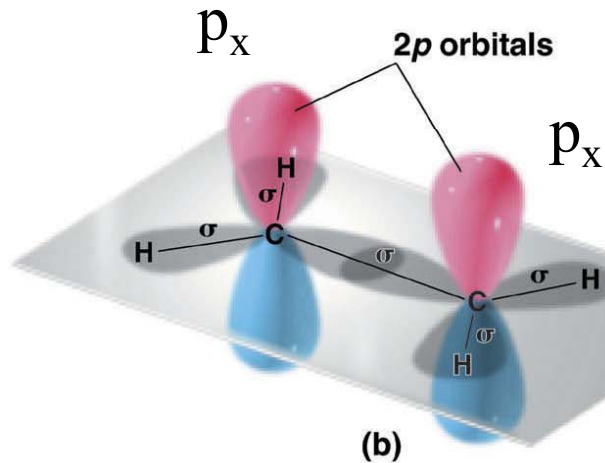
Hybridizace sp^2



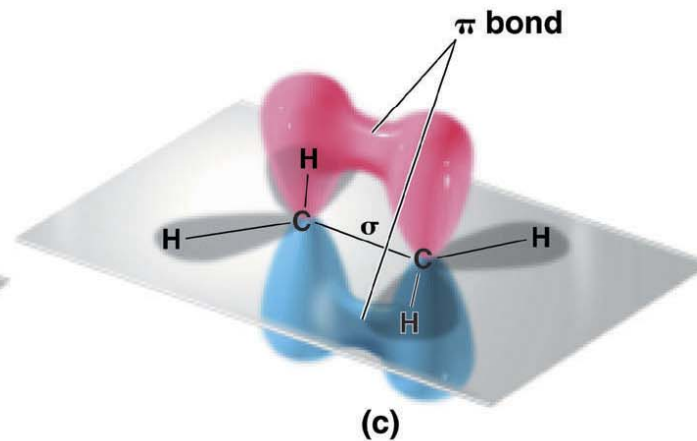
Ethylen



(a)



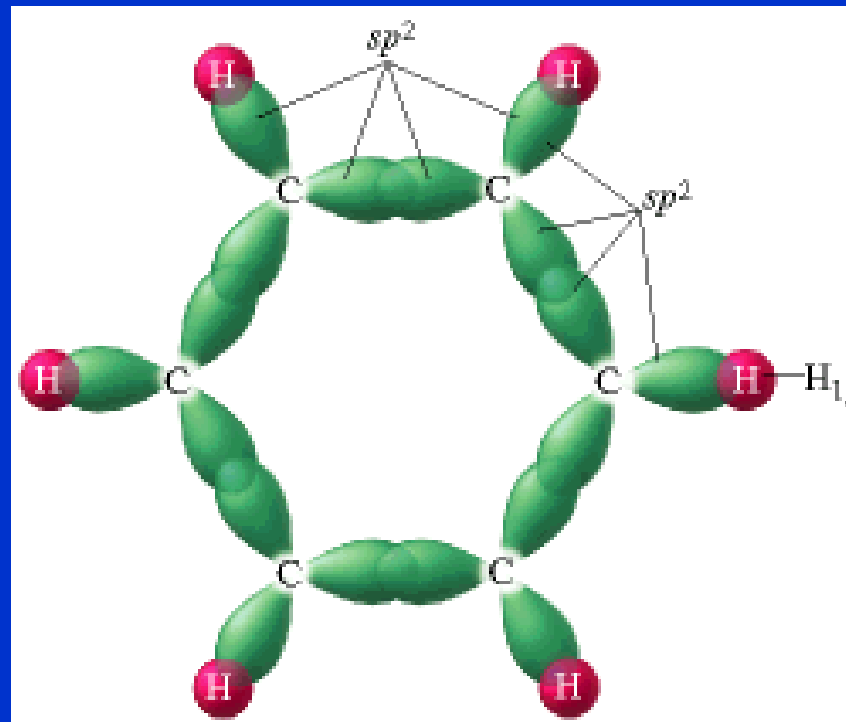
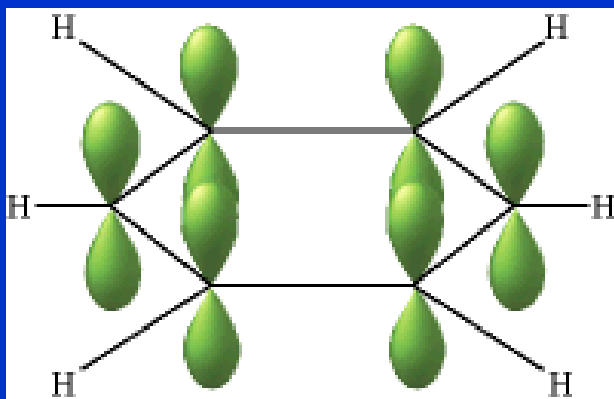
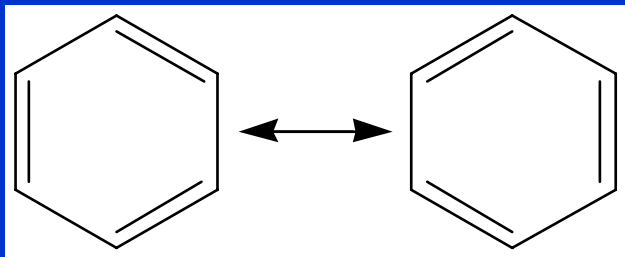
(b)



(c)

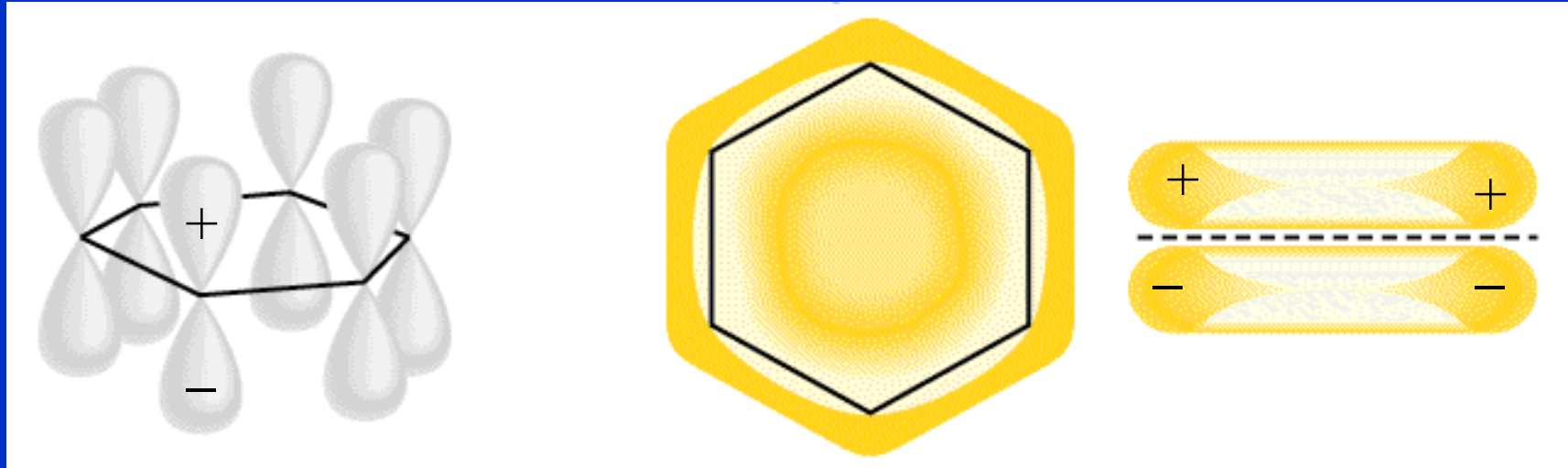
- 4 σ vazby překryvem $C(sp^2)-H(s)$
- 1 σ vazba překryvem $C(sp^2)-C(sp^2)$
- 1 π -vazba překryvem $C(p_x)-C(p_x)$

Benzen

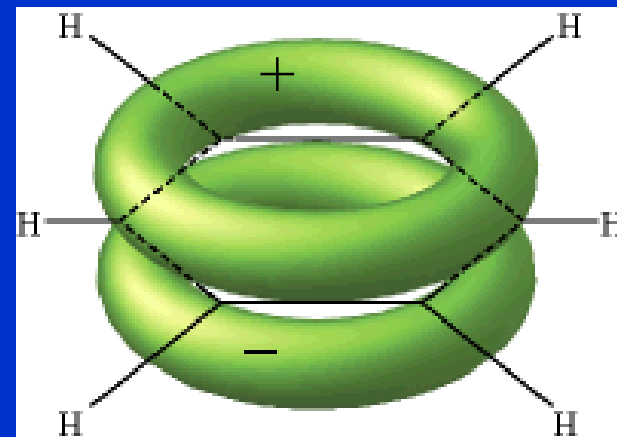


- Každý C použije 3 sp^2 orbitaly pro 3 σ -vazby
2 C – C vazby a 1 C – H vazba
- 1 $2p_x$ orbital na každém C zůstane nepoužitý (pro σ -vazby)

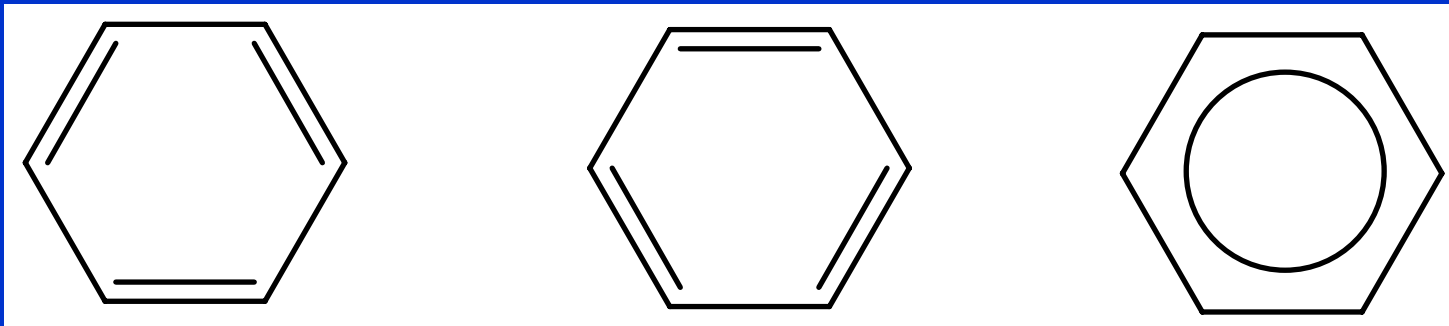
Benzen



6 C $2p_x$ orbitalů použito pro 3 π -vazby



Benzen



(a) Localized π bonds

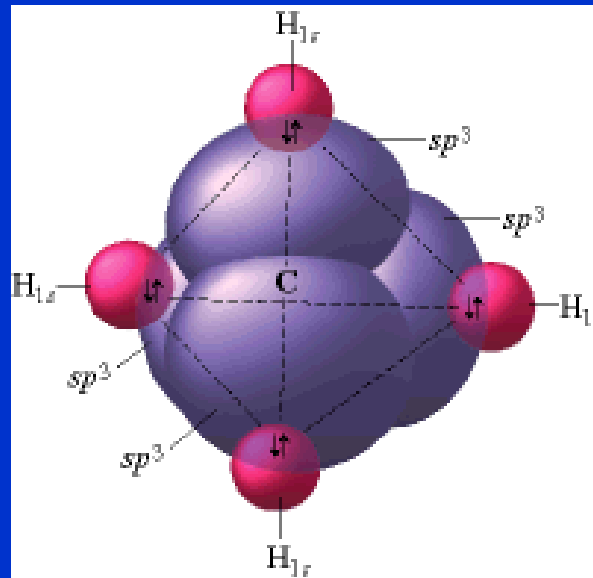
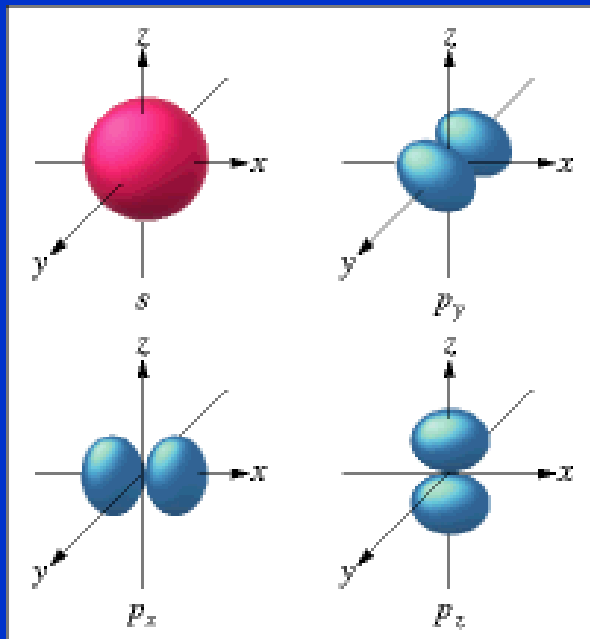
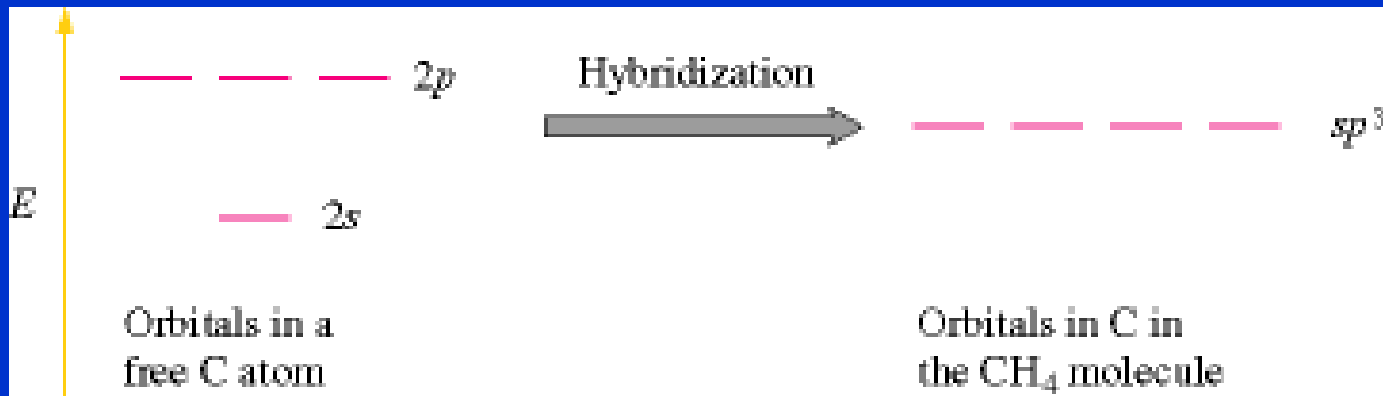


(b) Localized π bonds

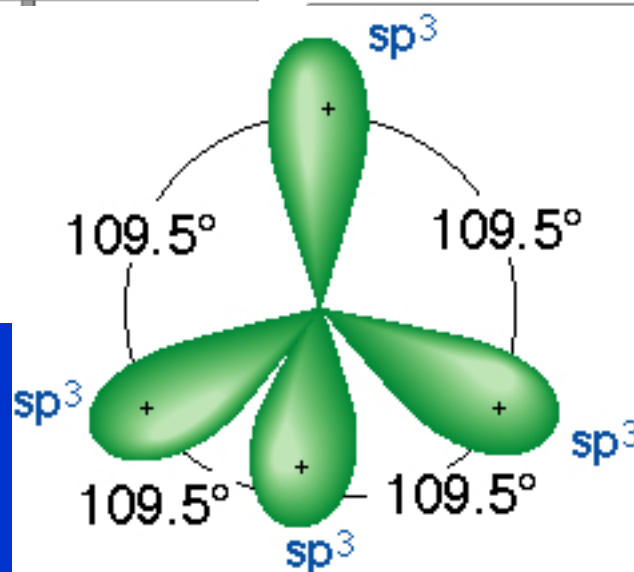
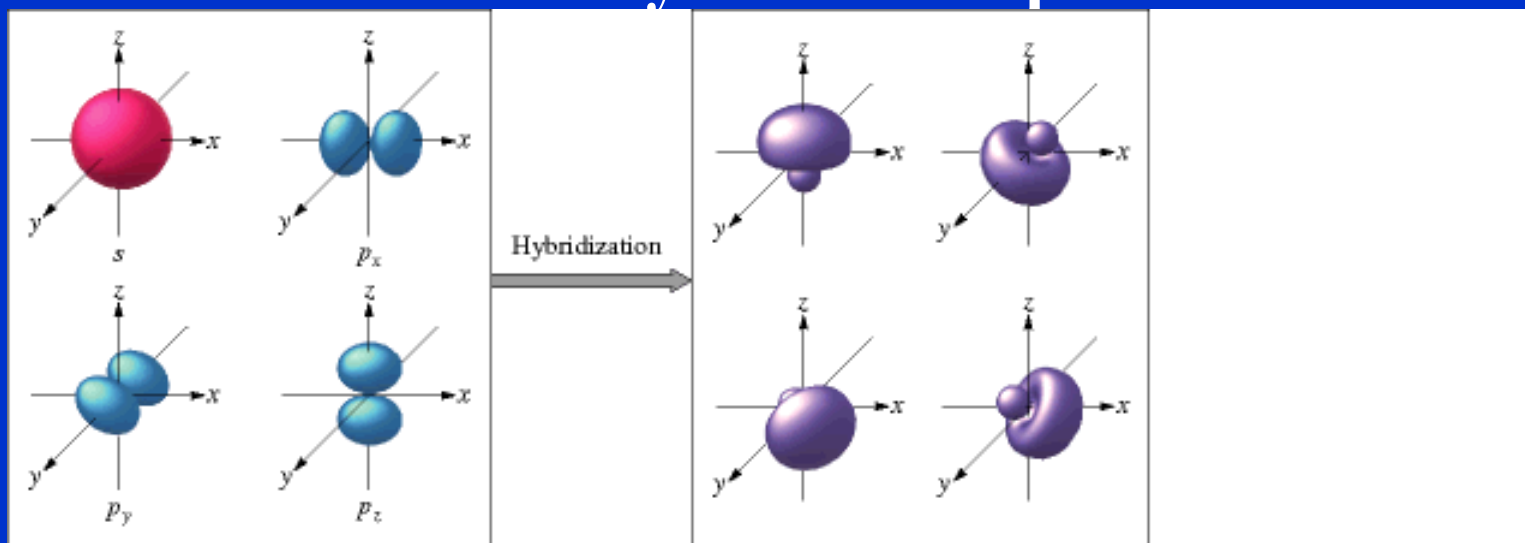


(c) Delocalized π bonds

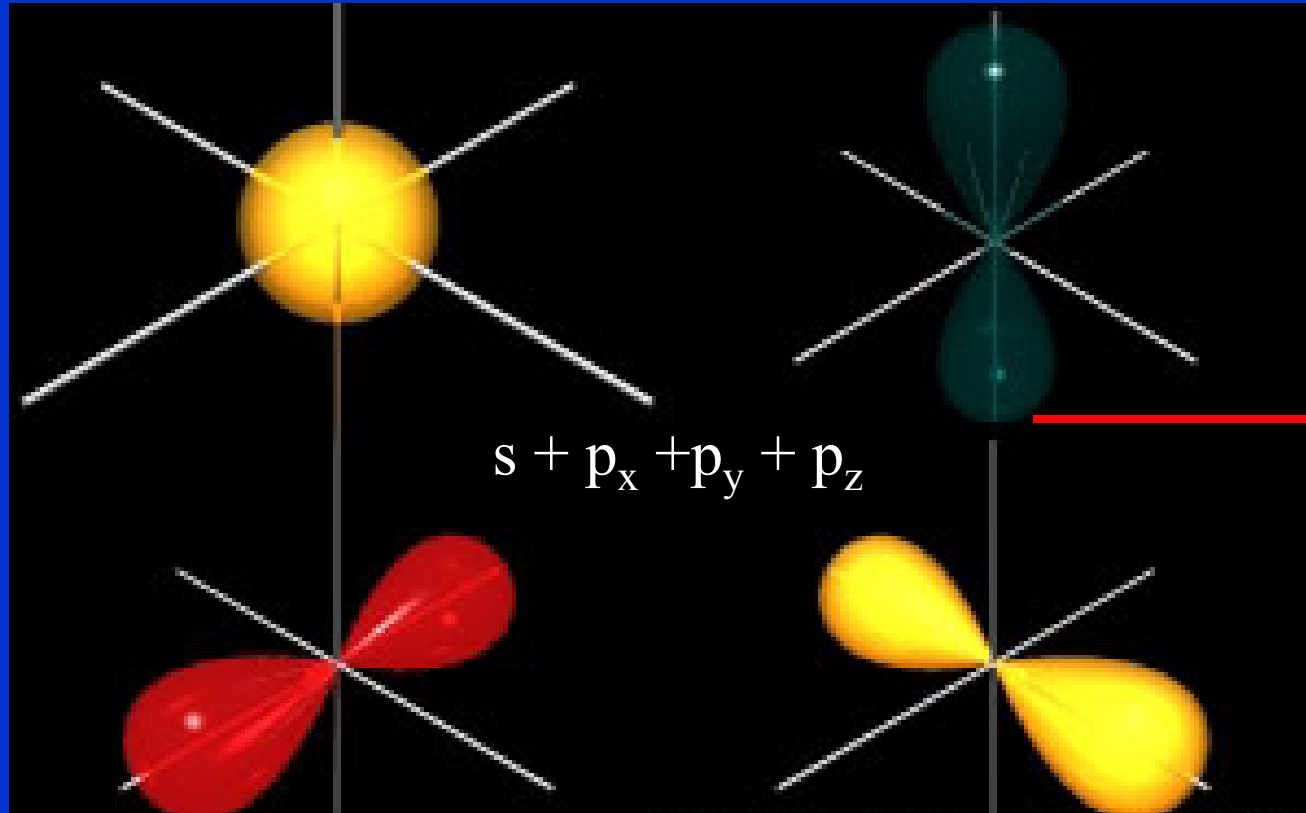
Hybridizace sp^3

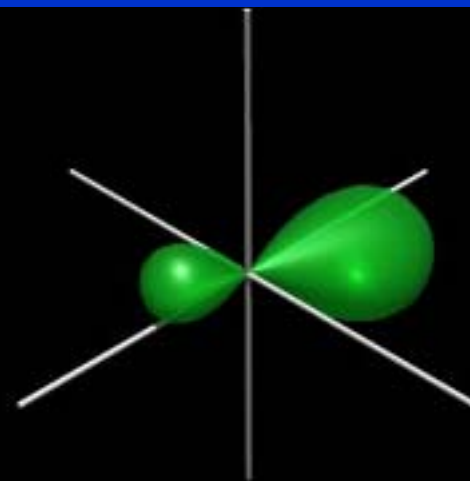
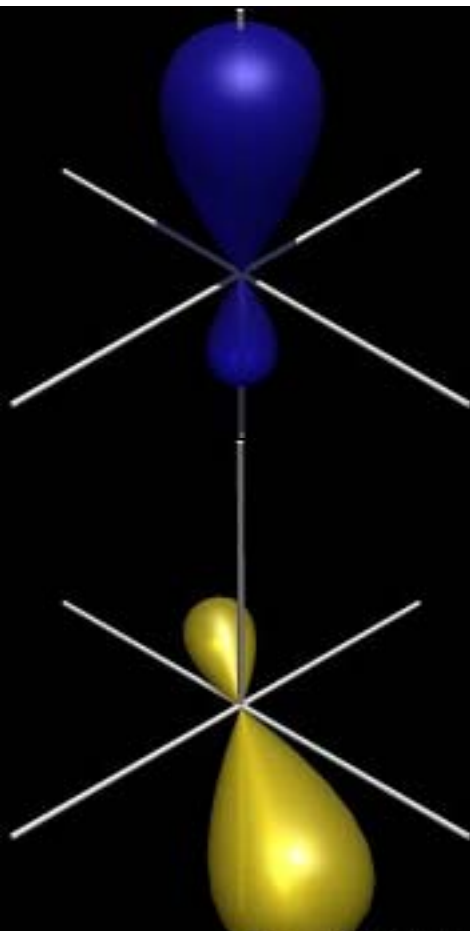
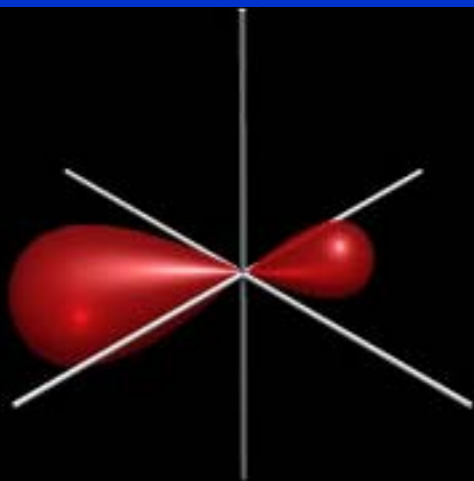


Hybridizace sp^3

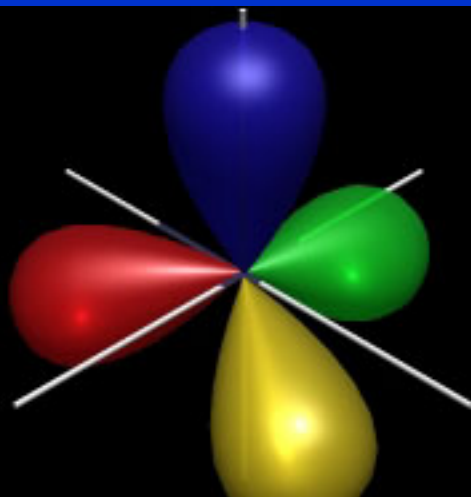


Hybridizace sp^3



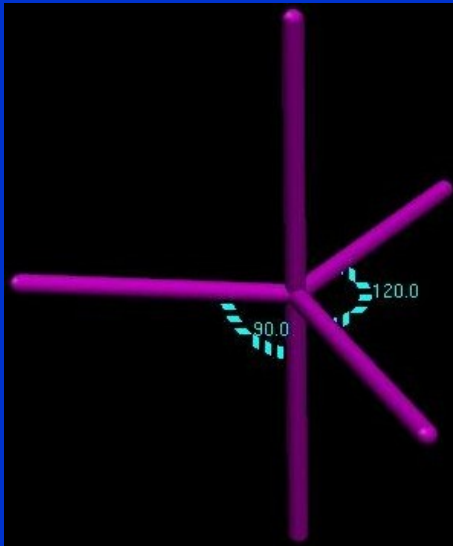


sp^3

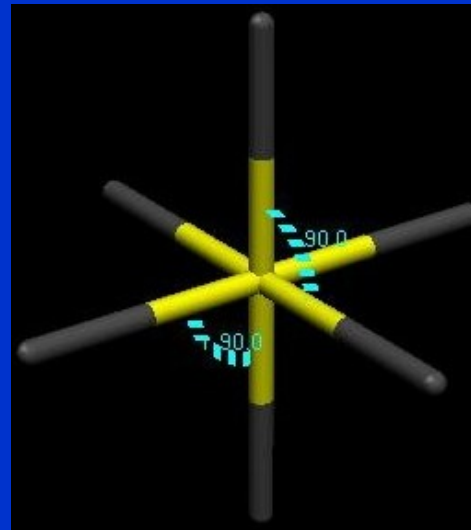


Hybridizace

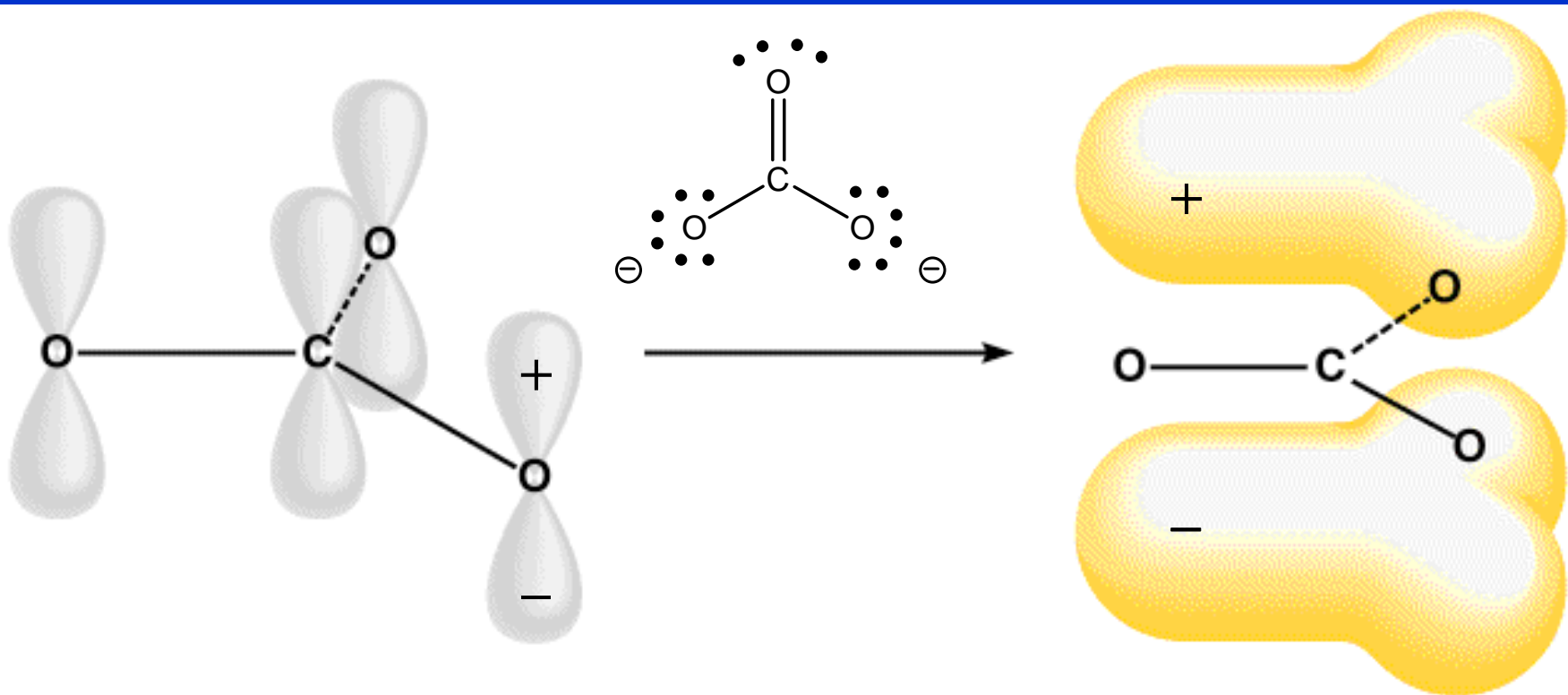
sp^3d



sp^3d^2



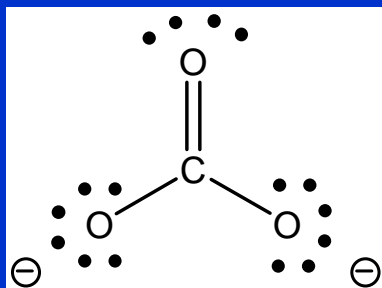
Vazba v CO_3^{2-} a NO_3^-



3 σ vazby překryvem $\text{C}(\text{sp}^2)\text{--O}(\text{sp}^2)$

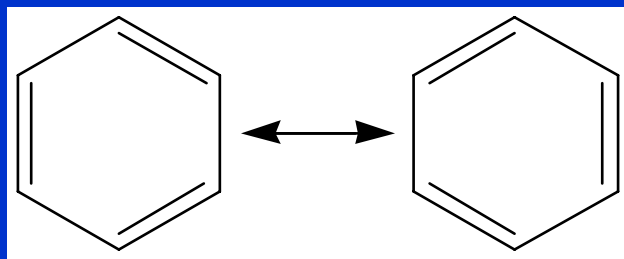
1 π -vazba překryvem $\text{C}(\text{p}_x)\text{--O}(\text{p}_x)$

Řád vazby



4 (3+1) vazebné elektronové páry / 3 vazby

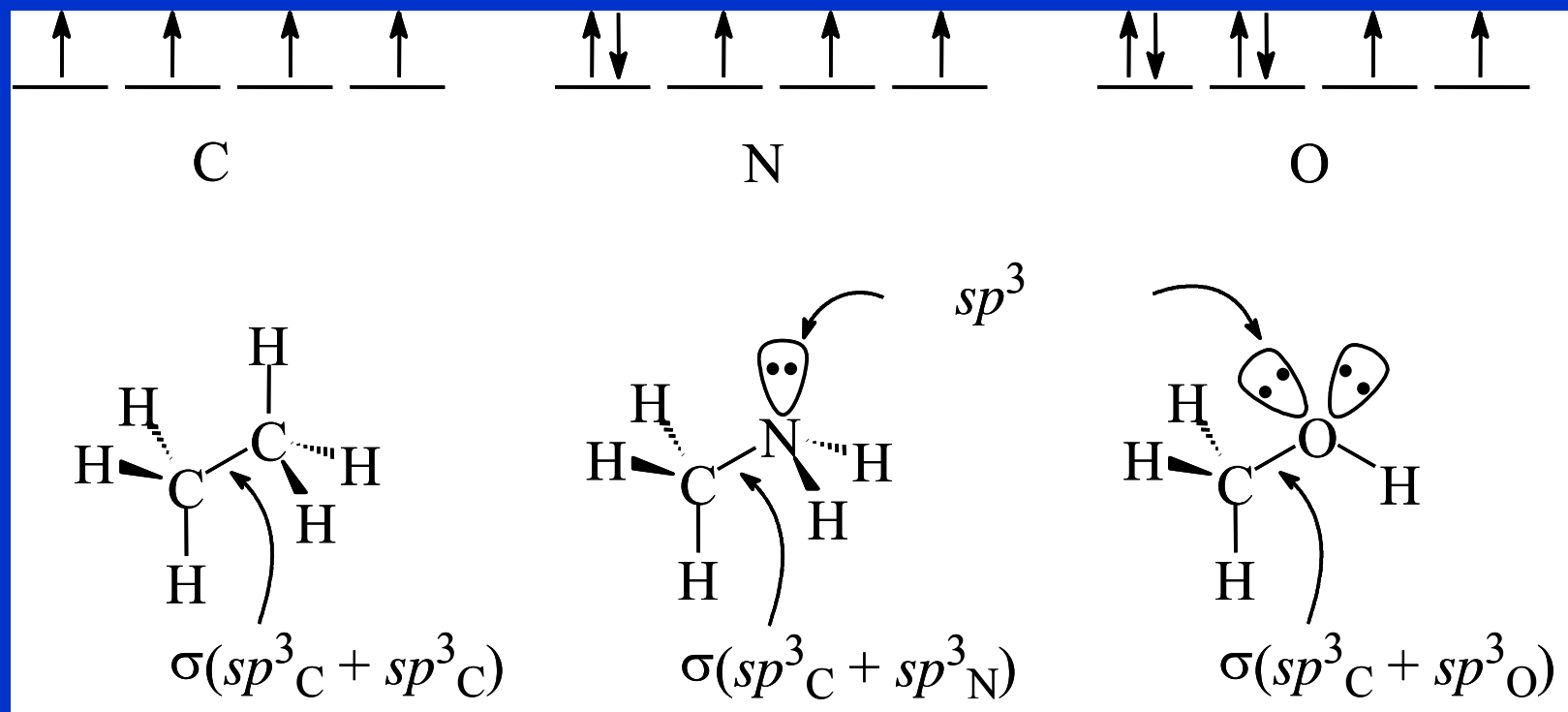
Řád vazby = 1.3333



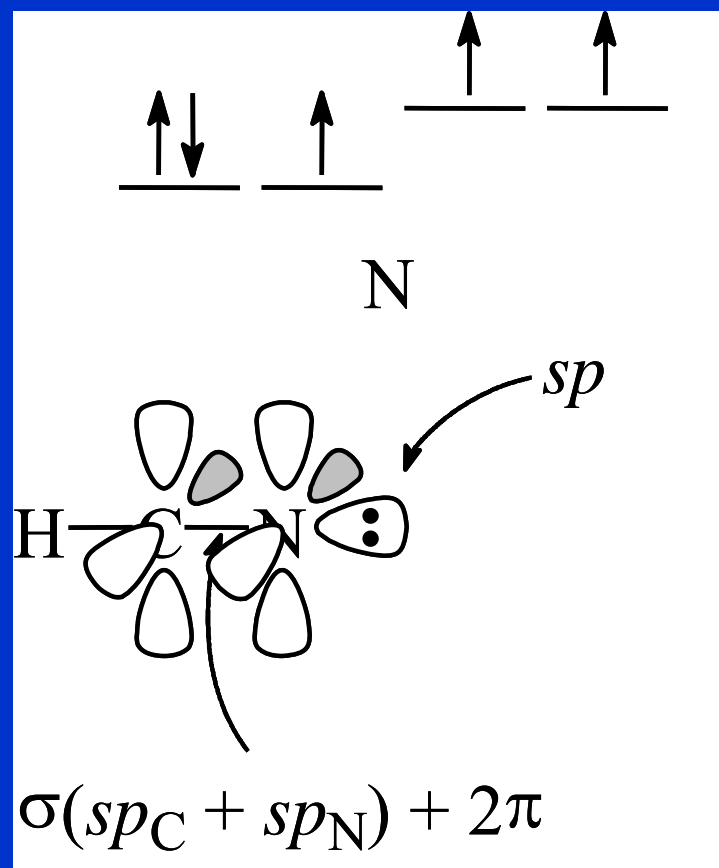
8 (2+3) vazebných elektronových párů / 6 vazeb

Řád vazby = 1.5

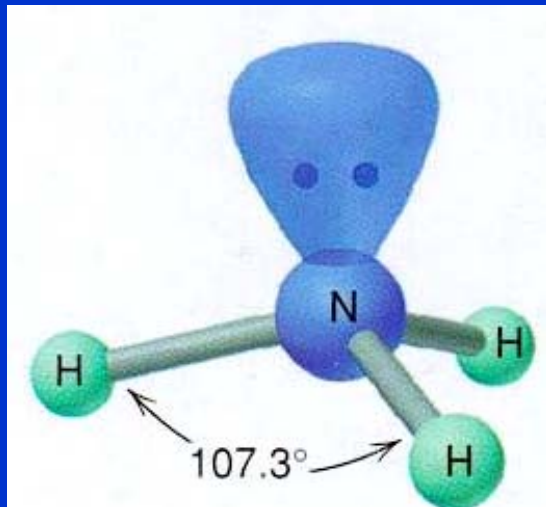
Vazba v C_2H_6 , CH_3NH_2 a CH_3OH



Vazba v HC≡N



Elektronegativita a vazebné úhly



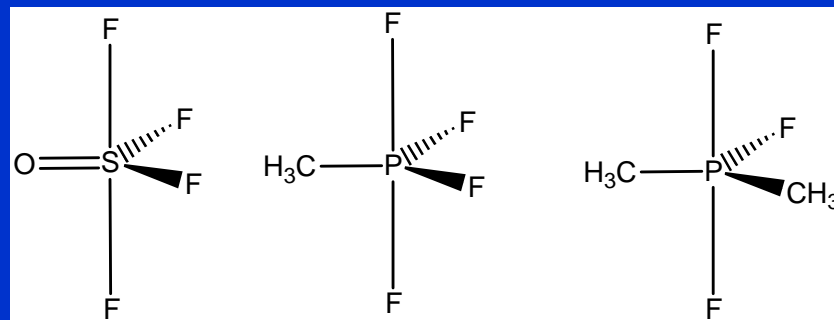
Vazebný úhel Hybridizace

NH ₃	107.3°	sp ³
PH ₃	93.8°	↓
AsH ₃	91.8°	
SbH ₃	91.3°	
		s + 3p
NF ₃	102.5°	
OH ₂	104.5°	
OF ₂	103.2°	

Rostoucí $\Delta\chi$ snižuje vazebné úhly

Bentovo pravidlo

Elektronegativnější substituenty preferují hybridní orbitaly s menším s-podílem a naopak elektropozitivní substituenty (lepší donory) preferují hybridní orbitaly s větším s-podílem.

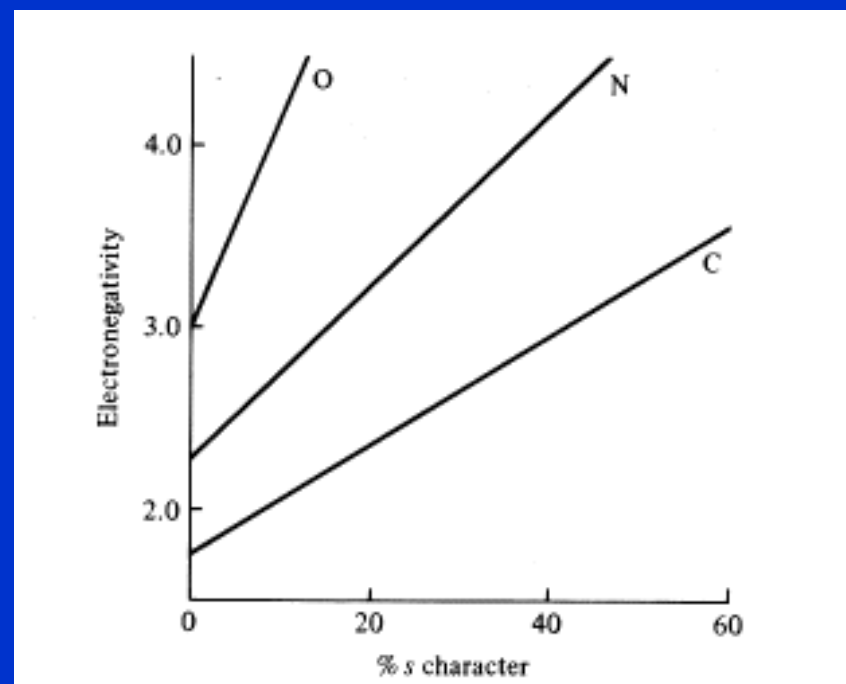


Lepší donory obsazují ekvatoriální rovinu v TBP a bazální rovinu v SP.

Volný elektronový pár je nejlepší donor = substituent s nulovou elektronegativitou

Hybridizace a elektronegativita

Hybridizace	% s	% p
sp	50	50
sp ²	33	66
sp ³	25	75



↑
s-charakter

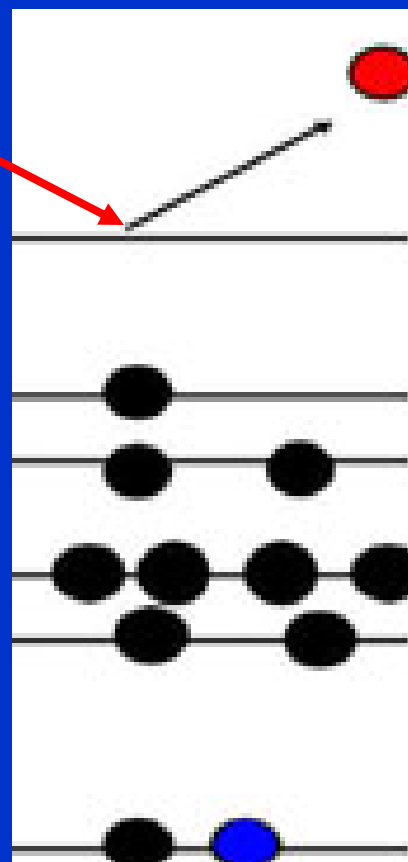
↑
p-charakter

Elektron v s-orbitalu je vázán pevněji než v p-orbitalu
Orbital s vyšším s-charakterem má vyšší elektronegativitu

PES = Fotoelektronová spektroskopie

$$h\nu = IE + E_{\text{kin}}$$

$h\nu$



E_{kin}

měříme

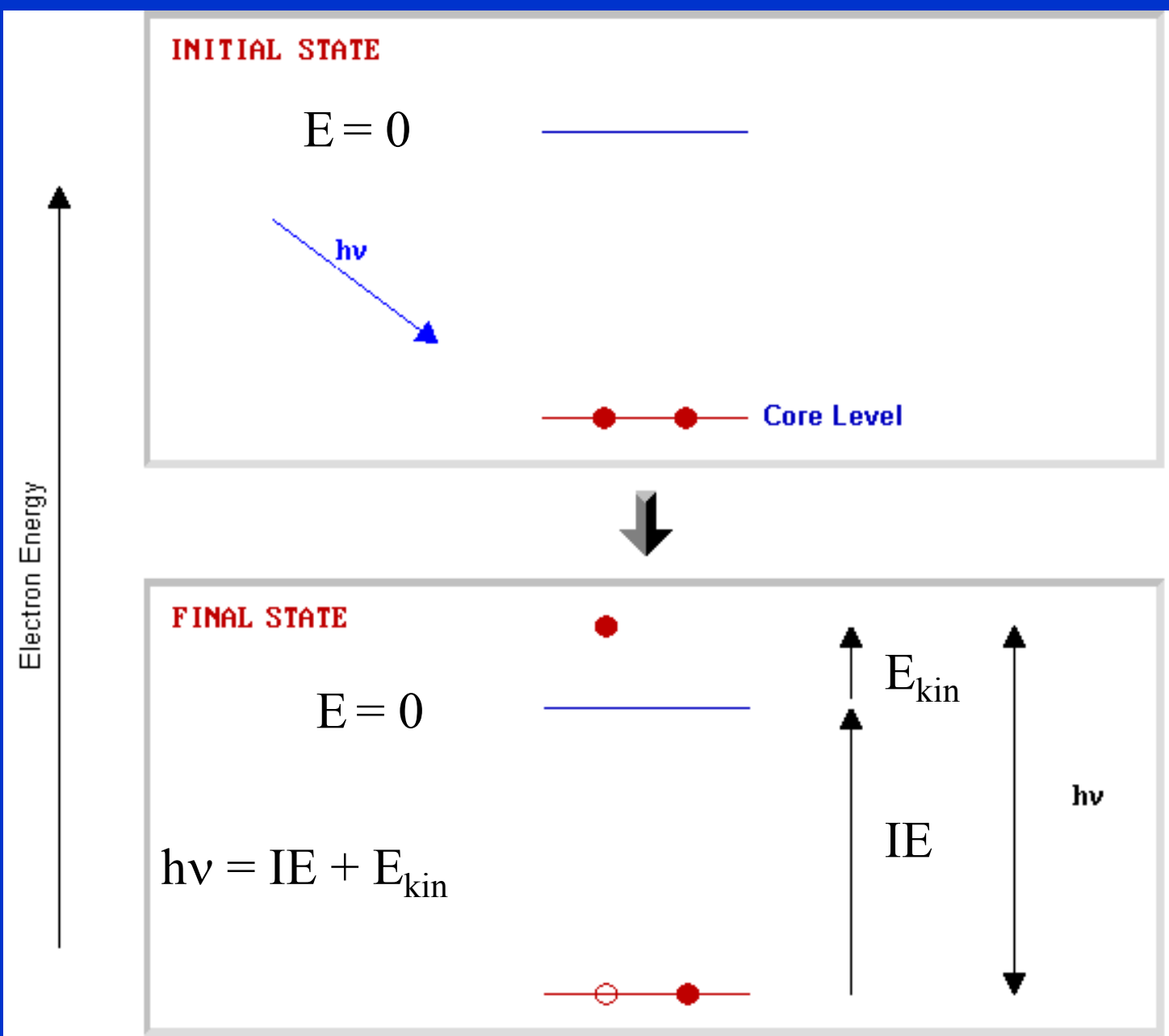
X-ray Fotoelektronová Spektroskopie (XPS)

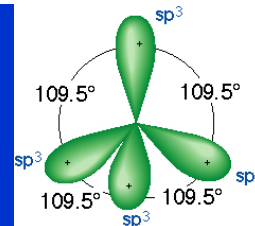
- měkké rtg. záření (200-2000 eV)

vyráží vnitřní e

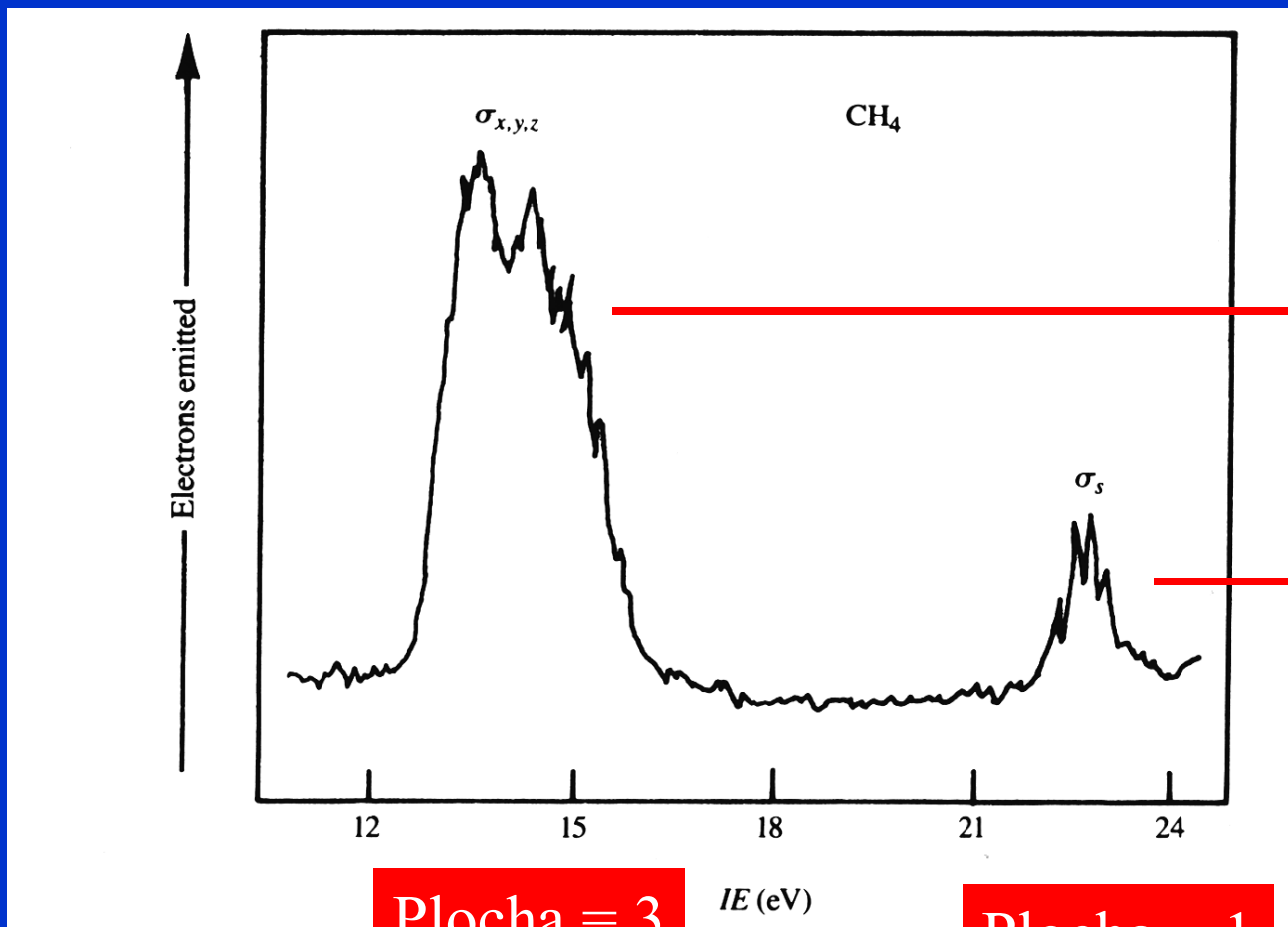
UV Fotoelektronová Spektroskopie (UPS)

- vakuové UV záření (10-45 eV) vyráží valenční e.





PES methanu nesouhlasí s modelem 4 sp^3



Plocha = 3

Plocha = 1

